

阿武隈地域の重力異常について

村田泰章* 牧野雅彦** 広島俊男**
駒澤正夫** 中塚 正**

MURATA Yasuaki, MAKINO Masahiko, HIROSHIMA Toshio, KOMAZAWA Masao and NAKATSUKA Tadashi (1992) Bouguer gravity anomalies in the Abukuma mountains, Northeast Japan. *Bull. Geol. Surv. Japan*, vol. 43 (5), p. 291-334, 6fig., 3tab., 2pl.

Abstract: A gravimetric survey was carried out at 1,586 stations in the Abukuma mountains, Northeast Japan, using a LaCoste & Romberg gravimeter (G-304) in 1987-1989. We compiled those data together with 1,260 existing gravity observations, and made a Bouguer gravity anomaly map with an assumed Bouguer density 2.66 g/cm³.

This Bouguer gravity anomaly map revealed various geologic characteristics in the Abukuma mountains as follows:

1. The Futaba fault is marked by a strong gravity gradient. The Bouguer gravity anomalies sharply decrease to the east side of the Futaba fault, especially toward the south.
2. The area between the Futaba fault and the Hatagawa fracture zone is characterized by high gravity anomalies more than 20 mgal compared with the surroundings.
3. The Gosaisho-Takanuki metamorphic rocks area corresponds to high gravity anomalies.
4. High Bouguer gravity anomalies are associated with gabbroic rocks at Mts. Utsushigatake, Hayama and Kuroishiyama.

要 旨

阿武隈地域の重力異常を明らかにするために、同地域において1987年から1989年にかけて1,586点の重力測定を実施した。用いた重力計はLaCoste & Romberg G型重力計(G-304)である。上記の新規測定点に加えて1,260点の既存点をコンパイルすることにより、阿武隈地域の高精度なブーゲー異常図を作成した。また、ブーゲー異常図の傾向面解析を行い、残差重力図を作成した。さらに、残差重力と、地質および地形との関係を、直感的に把握できるように残差重力図、地質図のステレオ表現を試みた。

本研究により、明らかになった阿武隈地域の重力異常の主な特徴は次の通りである。(1)双葉断層を境として、ブーゲー異常は東側で急激に小さくなる。(2)双葉断層と畑川破碎帯に挟まれた地域は、周囲に比べ20 mgalを超える高重力域である。(3)御斎所・竹貫変成岩地域に対応する高重力異常が見られる。(4)斑れい岩が分布する移ヶ

岳、羽山、黒石山は、周囲よりも高い重力異常を示す。

1. はじめに

地下資源の基礎調査のために、昭和24年度に我国に携帯可能なNorth American社製の重力計が導入されて以来、重力探査は地下資源の探査や国土保全、防災等を目的とした地下構造調査に幅広く用いられている。現時点において、全国で30万点以上の膨大な重力データが蓄積され、その包括面積は20万km²以上に達する。東北地方から関東地方に至る地域は各種の地下資源の有望地域であり、積極的に重力探査が実施され、全国の他の地域と比較して重力データの蓄積の度合が高い。

そこで地質調査所は、昭和62年度から5か年計画で、「青森」、「秋田」、「北上」、「山形」、「新潟」、「阿武隈」、「上信越」の7つの地域について、20万分の1の縮尺で1 mgalコンターの重力図シリーズの編集・出版を計画

Keywords: Abukuma mountains, Tohoku, Bouguer anomaly, gravity survey, trend analysis, residual gravity, stereo view, Futaba fault, Hatagawa fracture zone, Gosaisho-Takanuki metamorphic rocks

* 地質情報センター

** 地殻物理部

した。この中で現在までに、「青森」、「秋田」、「山形」の3地域の出版を実現した(広島ほか1989, 1990, 1991)。

重力図の出版には、これまでに蓄積された重力データを利用する。阿武隈地域においては、国土地理院(Geographical Survey Institute, 1957, 1964; Geodetic Department, 1985)が全国をカバーする測定の一部として重力測定を実施した。これらのデータから、阿武隈地域の大局的なブーゲー異常の傾向は、一般的に正の値で東に向かって増大することや、盛岡-白河線(Tsuboi *et al.*, 1953)と呼ぶ重力異常の急変帯の存在、棚倉構造線に対応する重力異常等が明らかにされた(たとえば Hagiwara, 1967; 河野・古瀬, 1989)。また、松田ほか(1961)、須田・細野(1965)は、常磐炭田の周辺地域について重力測定を実施し、重力異常と基盤面形状の対応等について示した。

しかし、既存のデータのみによって、阿武隈地域全体の1 mgal コンターの重力図を作成するには測点数が不足していたので、新たに重力測定を実施した。本報告では、その重力探査の概要、およびブーゲー重力異常の主な特徴について報告する。

2. 重力測定

重力測定は、1987年から1989年にかけて実施した。使用した重力計は、LaCoste & Romberg G型重力計(G-304)である。測定範囲(Fig. 1)は茨城県大子町から宮城県の丸森町に至る約6,000 km²で、総測定点数は1,586点である。測定点は、主として2万5千分の1地形図に記載されている水準点、三角点、独立標高点の既知標高点から測点密度が均一になるように選択した。周囲にこれらの既知標高点がない地域においては、道路の交差点など場所が明確で標高の変化が緩やかな地点において重力測定を行い、その標高は2万5千分の1地形図の等高線から読みとった。Table 1に各標高決定法ごとの測定点数を示す。測定点の経度、緯度は重力測定時にその位置を記入した2万5千分の1地形図からデジタルイザを利用して求めた。その読み取りの最小単位は0.01分である。重力計の読み取りは、2回以上の測定を行い重力計の読み違いを避けた。

重力調査においては、起点および終点を重力値の既知な基点に設定して、重力を測定する閉塞方式を採用した。重力基点の絶対重力値は、国土地理院において設定された日本重力基準網1975(JGSN 75)による絶対重力値の明らかな複数の水準点との間で、複数回の往復比較測定によって決定した。重力測定値に器高補正、潮汐補

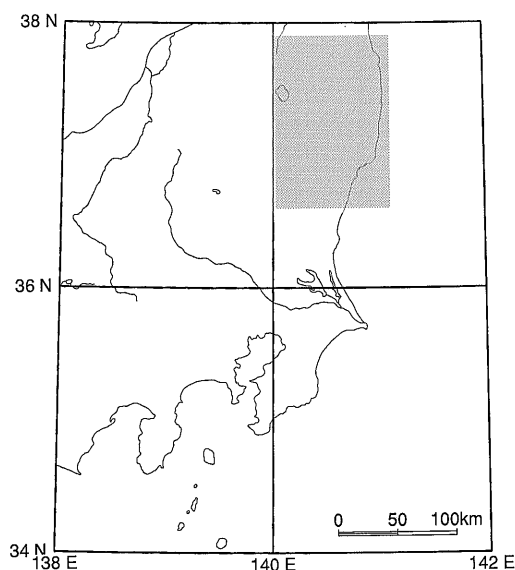


Fig. 1 Location map. The gray zone shows the survey area, corresponding to Fig. 2.

Table 1 Gravity stations information about the survey in the Abukuma mountains. The 1/25,000 scale topographic maps were used for determination of the observation locations and elevations.

Area		6036 km ²
Number of observations		Total 1,586
Determination of elevation	Bench Mark	32
	Triangle Point	84
	Spot Height	558
	Contour	907
	Leveling	5
Max. difference of elevation		1060 m

正、ドリフト補正を施して求めた基点に対する相対重力値に、基点における絶対重力値を加え、各測点の絶対重力値を求めた。

測点の分布図を Fig. 2 に示す。今回の測点は○印で示した。次に述べるブーゲー異常図の編集には、新規測点のほかに、松田ほか(1961)、須田・細野(1965)による1,260点のデータ(Fig. 2 +印)を編集して用いた。このデータとの接続のために、複数の代表的な点において重複する重力測定を実施した。

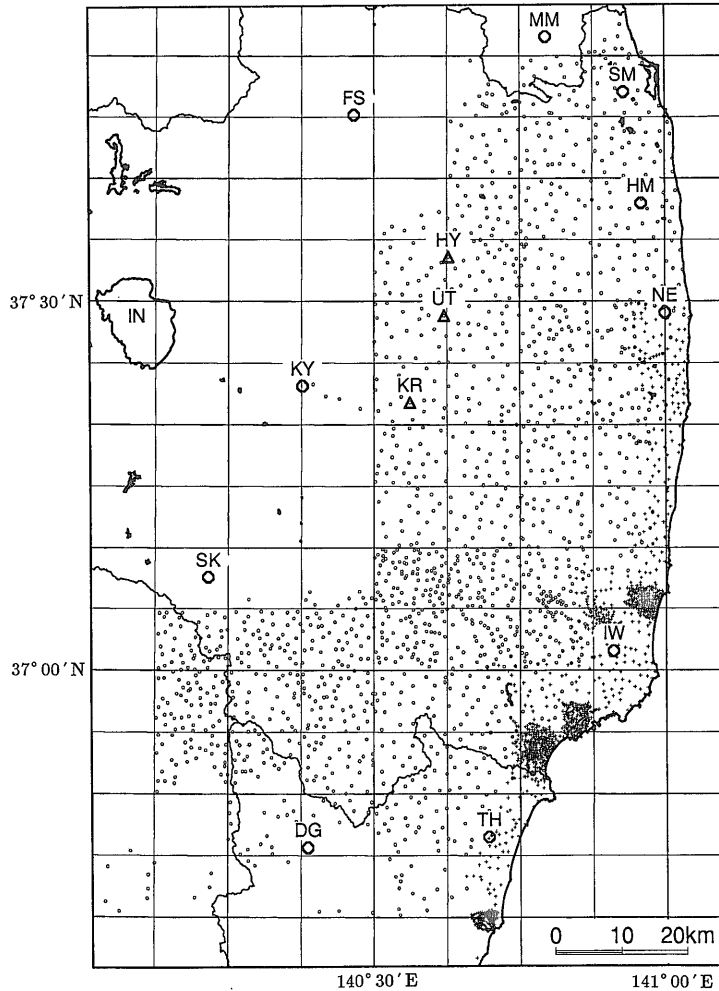


Fig. 2 Observation points. Circles indicate the gravity stations of our survey, while plus marks indicate the gravity data from Matsuda *et al.* (1961) and Suda and Hosono (1965). DG: Daigo town, FS: Fukushima city, HM: Haramachi city, IW: Iwaki city, MM: Marumori town, KY: Koriyama city, NE: Namie town, SK: Shirakawa city, SM: Souma city, TH: Takahagi city, IN: Inawashiro lake, HY: Mt. Hayama, KR: Mt. Kuroishiyama, UT: Mt. Utsushigatake.

3. ブーゲー異常図の作成

絶対重力値からブーゲー異常値を計算する手順は、地質調査所重力補正手順 SPECG 1988(地質調査所重力探査グループ1989a, 1989b)に基づいて行った。SPECG 1988による補正の基本式を以下に示す。まず、ここで用いる記号は次の通りである。

A: 大気補正值

B: 単位密度当りのブーゲー補正值

F: フリーエア補正值

G: 万有引力定数

g_B : ブーゲー異常値

g_{obs} : 観測重力値

H_o : 観測点標高

L: 単位密度当りの大地補正值

ρ : 地殻表層の仮定密度

ρ_w : 海水の密度

R_m : 測点緯度における地球の平均曲率半径

S: 地形補正範囲の半径(=60 km)

T_l : 単位密度当りの地圏地形補正值(水域の水で占

められている部分は、物質がないものとして計算)

T_h : 単位密度当りの水圏地形補正值(水域を占める水による補正值)

ϕ_o : 観測点緯度

γ_o : 正規重力値(GRS 1980)

ブーゲー異常値は、次式で計算される。

$$g_B = g_{obs} - \gamma_o + F + A + (L + B + T_h)\rho + T_h\rho_w \quad (1)$$

各補正值(単位 mgal)は、次式で計算する。

$$\gamma_o = 978032.68 + 5163.07 \sin^2 \phi_o + 22.76 \sin^4 \phi_o \quad (2)$$

$$F = (0.30878 - 0.00043 \sin^2 \phi_o) H_o - 0.07 \times 10^{-6} H_o^2 \quad (3)$$

$$B = -2\pi G \left[|H_o| \left(1 - \frac{H_o}{2S} \right) + \left(\frac{H_o}{R_m} \right) \left(\frac{S}{2} - H_o \right) \right] \quad (4)$$

$H_o \geq 0$ の場合

$$A = 0.87 + 0.0000965 H_o \quad (5)$$

$$L = 0.0 \quad (6)$$

$H_o < 0$ の場合(今回の測点の中には存在しない)

$$A = 0.87 \quad (7)$$

$$L = \frac{4\pi}{3} G (R_m + H_o) \left[\left(\frac{R_m}{R_m + H_o} \right)^3 - 1 \right] \quad (8)$$

ここに、 H_o , R_m , S の単位は m である。地形補正值 T_h , T_h は、半径 $S=60$ km の円状領域内の周辺地形の影響を、球面効果も考慮し求めた。

また、ブーゲー補正、地形補正を行うためには地殻表層の密度を仮定する必要がある。重力データからの地殻表層密度の推定は、従来は概ね G-H 相関法によって行われてきた。しかし、この地域では、標高とブーゲー異常値に負の相関があるために G-H 相関法が適用できない。そこで、標高とブーゲー異常値の相関の影響を除外し、高精度にブーゲー密度を推定することができる ABIC 最小化法(村田, 1990)を適用した。その結果、この地域での最適なブーゲー密度として 2.659 g/cm^3 が得られる。この値は、岩石物性値データベース(村田ほか, 1991; 須田ほか, 1991)から検索した同地域の花崗岩類、変成岩類の密度の実測値とよく対応する(Table 2)。以上のことから、ブーゲー密度として 2.66 g/cm^3 を採用した。

ブーゲー異常図を作成するためには、ランダムデータからグリッドデータを作成する必要がある。グリiddingには従来からいくつかの方法が提案されているが、ここでは、ブーゲー異常図に有意ではない山谷を生じさせないように、スプライン曲面を当てはめる方法(Inoue, 1986)を用いた。この方法は、まず、解析範囲

Table 2 Bouguer densities estimated by ABIC minimization method (Murata, 1990) and G-H relation method, and density measurement data of rock samples retrieved from PROCK data base (Suda *et al.*, 1991).

Method	Density (g/cm^3)
From gravity data	
ABIC minimization	2.659 ± 0.013
G-H relation method	2.08
Rock samples	
Granite	2.642 ± 0.050
	5 samples
Granodiorite	2.643 ± 0.024
	15 samples
Metamorphic	2.886 ± 0.119
	9 samples

を適当な節点(Spline knots)で区切る。節点間の各区間は 3 次の多項式曲面で表現されるが、隣合う区間で曲面、および曲面の 1 階微分、2 階微分が連続になるように、多項式の係数が決定される。また、トレードオフパラメータを導入し、曲面の滑らかさとデータの分散を調整する。この Inoue (1986)の方法は、罰則付き最小 2 乗問題

$$\sum_{i=1}^N [g_{Bi} - f(x_i, y_i | \mathbf{s})]^2 + \omega_1 \iint_V \|\nabla^2 f\|^2 dx dy + \omega_2 \iint_V \|\nabla^2 f\|^2 dx dy \rightarrow \min \quad (9)$$

として表現できる。ここで、 g_B : ブーゲー異常値、 N : 観測点数、 f : ブーゲー異常図を表わすスプライン関数(3次 B-スプライン)、 x_i, y_i : 観測点位置、 \mathbf{s} : スプライン曲面のパラメータベクトル、 ω_1, ω_2 : スプライン曲面の 1 階微分、2 階微分を押える度合を示すトレードオフパラメータである。 ω_1, ω_2 を、ABIC を用いて適度に調整(村田・尾形, 1989)することによって、得られたブーゲー異常図を Fig. 3 に示す。

次に、この地域の重力の傾向面を除去した残差重力図を作成した。その手法の概略は次の通りである。重力分布の傾向面を求めるために、ブーゲー異常図の作成に使用したスプライン曲面を当てはめる方法を応用した。ブーゲー異常図の作成時には、データの持つ有意な情報を最大限引き出すように(9)式の ω_1, ω_2 を適度に調整する。この時に、 ω_1, ω_2 を極端に大きくすれば、得られる曲面はより滑らかになり、当てはめるデータ(ブー

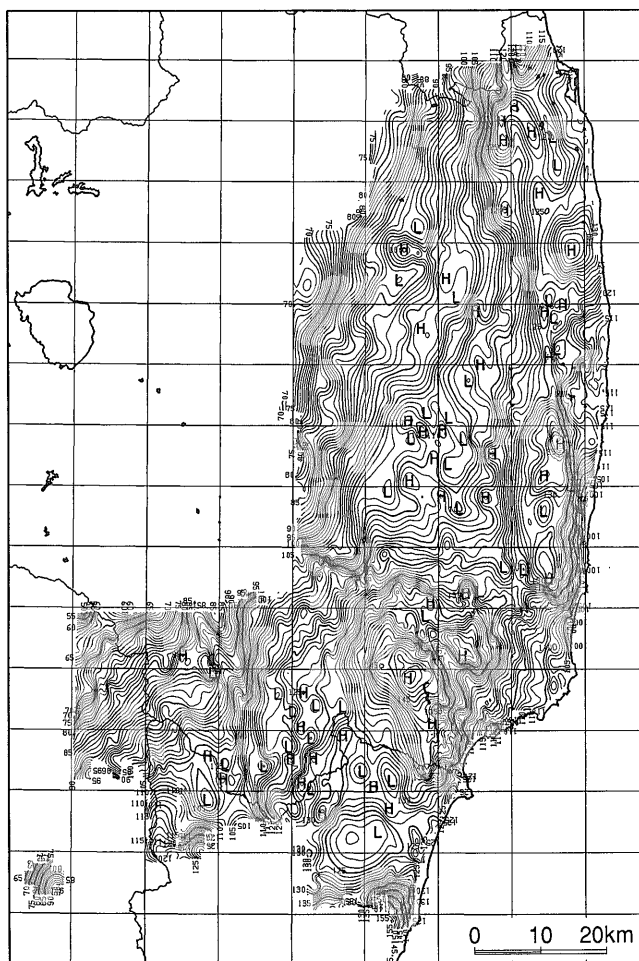


Fig. 3 Bouguer gravity anomaly map in the Abukuma mountains, obtained through fitting a cubic B-spline surface to the random data (Inoue, 1986). The number of spline knots is 256×256 . The standard deviation of surface fitting is 0.17 mgal, and the maximum fitting error is 2.28 mgal. Assumed surficial density for corrections (Bouguer density) is 2.66 g/cm^3 . Contour interval is 1 mgal.

一異常)の大局的な傾向を示したものとなる。 ω_1, ω_2 をどの程度大きくすれば良いかは客観的に決めることができない。しかし、従来多く用いられている多項式による傾向面の表現においても、多項式の次数の選択という問題があった。傾向面図の ω_1, ω_2 は、複数の値で傾向面図を作成し、その中から目視によって最適なものを選んだ。Fig. 4は ω_1, ω_2 を、それぞれブーゲー異常図に用いた値の 10^6 倍にして得られた傾向面図である。ブーゲー異常(Fig. 3)からこの傾向面を差し引き、残差重力図

さらに、地形および地質と重力異常の関係を直感的に

把握するために、村田・松田(1989)の方法を用いてステレオ図を作成した。まず、Plate 1は、国土地理院が開発した国土数値情報を用いて作成した地形の陰影図の上に、残差重力図のカラーコンターを重ねたものである。仮想した太陽の方位(北西)と地形面の傾斜から計算される面の輝度により地形の起伏を表現している。Plate 2は、残差重力図を陰影図で表現し、その上に1/100万地質図数値ファイル(山田ほか, 1990)をカラー表現で重ねたものである。Plate 1, Plate 2ともにステレオペアになっており、ステレオ視によって立体的に重力異常の特徴をとらえることができる。

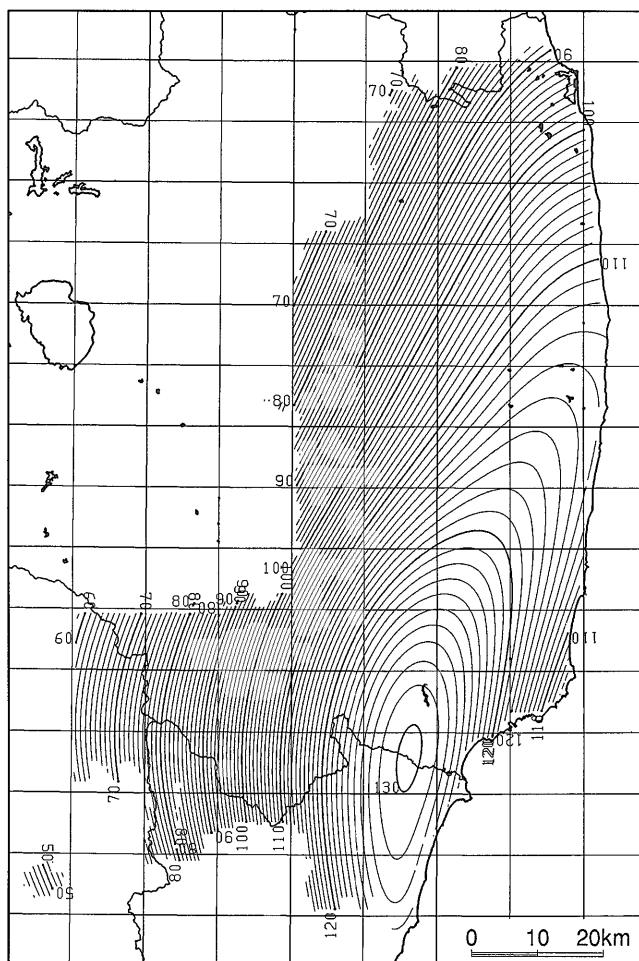


Fig. 4 Regional gravity trend in the Abukuma mountains calculated by fitting a hardly tensed spline surface to the Bouguer gravity data shown in Fig. 3. Contour interval is 1 mgal.

4. 考 察

阿武隈山地は、ほとんどが標高1,000 m 以下の山々からなる高原状の地形を成している。Fig. 6は1/100万地質図(山田ほか, 1982)から、中島ほか(1991)による地質地紋システムを用いて編集・出力した調査地域の地質図である。阿武隈山地では東側は畑川破砕帯をはさんで双葉断層まで花崗岩類が広く覆っており、羽山、移ヶ岳、黒石山等には斑れい岩が点在している。阿武隈山地の南側には、御斎所・竹貫変成岩類が分布している。今回の調査域には、棚倉構造線の西側の八溝山地の一部を含み、主に中生代の堆積岩が分布している。

今回の重力探査の結果と地質構造の対比から、阿武隈

地域の重力異常の主な特徴をまとめる。

(1) 傾向面解析から、大局的なブーゲー異常は、西側の福島市から白河市に至る地域で低く、浪江町と高萩市をむすぶ線上の地域で高くなるが、いわき市の海岸部で再び低くなり、南北性の傾向が顕著であることが分かった。

(2) 双葉断層に対応する重力異常は非常に明瞭で、北側の丸森町に始まり南にいく程、重力異常の東落ちの落差は大きくなる。

(3) 畑川破砕帯と双葉断層に挟まれた地域は、南側の約25 kmの部分で、最大20 mgalの高重力異常となっている。その高重力異常は南側の断層で断ち切られる。

(4) 棚倉構造線に対応する高重力異常が明瞭に認めら

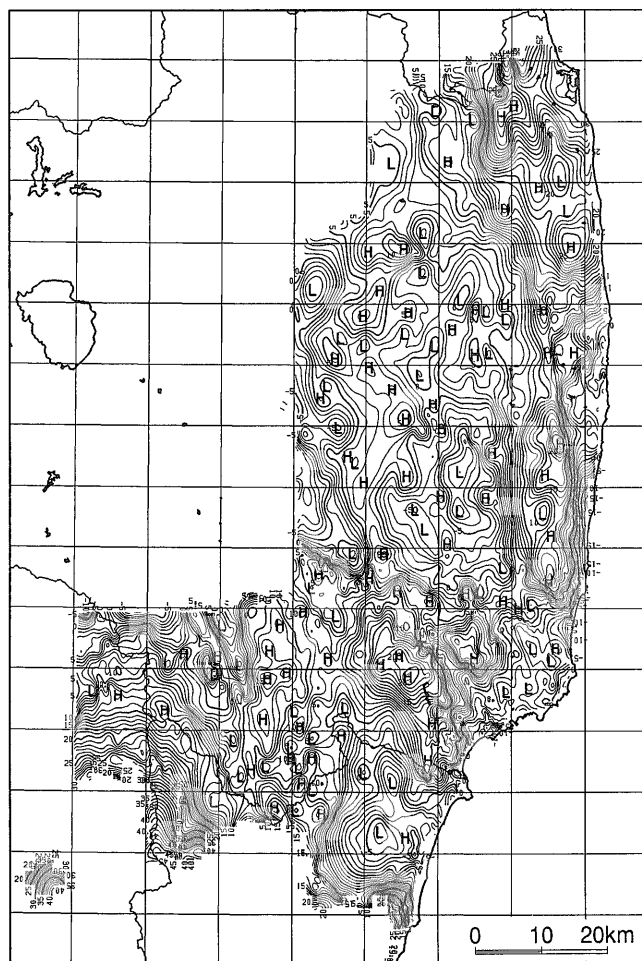


Fig. 5 Residual gravity anomaly map in the Abukuma mountains, obtained from subtracting the regional (Fig. 4) from the Bouguer data (Fig. 3). Contour interval is 1 mgal.

れる。

(5) 原町市付近に独立した高重力異常が存在し、花崗岩の基盤の盛り上がり、または、地下に高密度の斑れい岩の分布が推定される。

(6) 御斎所・竹貫変成岩に対応して、高重力域が存在し、その重力異常は最大で20 mgal以上に達する。

(7) 高萩市西部の花崗岩地域に、約10 kmの広がりをもつ低重力異常が認められる。

(8) 阿武隈花崗岩の中に点在する羽山、移ヶ岳、黒石山等の斑れい岩の分布に対応して高重力異常が見られる。

5. ま と め

これまで、重力測定点の非常に少なかった阿武隈地域において重力測定を実施した。計1,586点の重力測定により、これまでに得られていなかった詳細なブーゲー異常図を作成した。また、ブーゲー異常から大局的な傾向面を差引き、残差重力図を作成した。得られたブーゲー異常図は同地域の地質構造とよく対応している。この重力データを用いた阿武隈地域の重力構造の解析は次の機会に行う予定である。なお、上記1,586点の重力測定データの一覧を付録に掲げる。

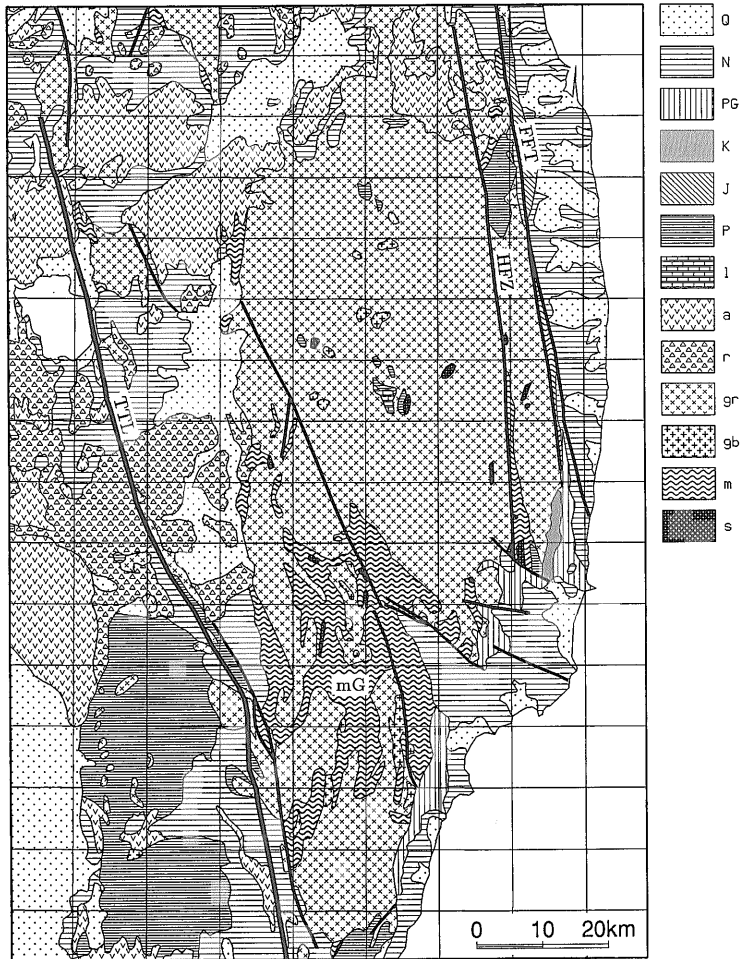


Fig. 6 Geologic map covering the Abukuma mountains modified from Yamada *et al.* (1982). Q: Sand, mud and gravel (Quaternary), N: Sandstone, mudstone, conglomerate and tuff (Neogene), PG: Sandstone, mudstone and conglomerate (Paleogene), K: Sandstone, mudstone and conglomerate (Late Cretaceous), J: Sandstone, mudstone and conglomerate (Jurassic), P: Sandstone, mudstone, chert and basalt (Paleozoic), l: Limestone, a: Andesite, r: Dacite and rhyolite, gr: Granitic rocks, gb: Gabbro and diorite, m: Metamorphic rocks, s: Ultramafic rocks, TTL: Tanakura tectonic line, HFZ: Hatagawa fracture zone, FFT: Futaba fault, mG: Gosaisho-Takanuki metamorphic rocks.

謝辞 本報告をまとめるにあたり、海洋地質部の石原文実博士には、原稿を査読して頂き貴重な御助言を頂いた。また、地質情報センターの野呂春文博士、米国地質調査所のDr. C. A. Finnには多くの御教示を賜った。ここに記して感謝の意を表す。

文 献

地質調査所重力探査グループ(中塚 正・広島俊男・

駒澤正夫・牧野雅彦・須田芳朗・村田泰章)(1989a) 地質調査所重力補正標準手順 SPECG 1988について。地調月報, vol. 40, p. 601-611.

———(1989b) 地質調査所重力補正標準手順 SPECG 1988の処理プログラム。地質調査所研究資料集, no. 137, 49p.

Geodetic Department (1985) A new Bouguer

- anomaly map of Japan. *Bull. Geog. Surv. Inst.*, vol. 29, part 2, p. 102-103.
- Geographical Survey Institute (1957) Gravity survey in Japan (2) Tohoku district. *Bull. Geog. Surv. Inst.*, vol. 5, part. 3, p. 1-94.
- (1964) Gravity survey in Japan (3) Kanto-Chubu district. *Bull. Geog. Surv. Inst.*, vol. 6, p. 155-340.
- Hagiwara, Y. (1967) Analyses of gravity values in Japan. *Bull. Earthq. Res. Inst.*, vol. 45, p. 1091-1228.
- 広島俊男・駒澤正夫・中塚 正(1989) 青森地域重力図(ブーゲー異常図)(1:20万). 重力図, no. 1, 地質調査所.
- ・————・須田芳朗・村田泰章・中塚正(1990) 秋田地域重力図(ブーゲー異常図)(1:20万). 重力図, no. 2, 地質調査所.
- ・————・大熊茂雄・中塚 正・三品正明・斎藤和夫・岡本國徳(1991) 山形地域重力図(ブーゲー異常図)(1:20万). 重力図, no. 3, 地質調査所.
- Inoue, H. (1986) A least-squares smooth fitting for irregularly spaced data: Finite-element approach using the cubic B-spline basis. *Geophysics*, vol. 51, p. 2051-2066.
- 河野芳輝・古瀬慶博(1989) 10万分の1日本列島重力異常図解説. 東京大学出版会, 東京, 76p.
- 松田武雄・立石哲夫・須田芳朗(1961) 常磐炭田南部地区重力探査報告書. 地調月報, vol. 12, p. 391-396.
- 村田泰章(1990) ABIC 最小化法によるブーゲー密度の推定. 地震, vol. 43, p. 327-339.
- ・松田時彦(1989) 実体視して見る日本列島の地形と地質. 科学, vol. 59, p. 436-477.
- ・尾形良彦(1989) 滑らかでしかもデータに忠実なブーゲー異常図の作成と地下構造の輪郭の抽出. 地震学会講演予稿集, no. 2, p. 74.
- ・須田芳朗・菊地恒夫(1991) 日本の岩石物性値—密度, 磁性, P波速度, 有効空隙率, 熱伝導率—. 地調報告, no. 276, 302 p.
- 中島和敏・村田泰章・脇田浩二・野呂春文(1991) 計算機による地質地紋の作成と利用. 第2回日本情報地質学会講演予稿集, p. 21-22.
- 須田芳朗・細野武雄(1965) 常磐炭田双葉・石城地区重力探査. 地調月報, vol. 16, p. 104-113.
- ・村田泰章・菊地恒夫・花岡尚之(1991) 岩石物性値データベース(PROCK). 地質調査所研究資料集, no. 155, 231p.
- Tsuboi, C., Jitsukawa, A. and Tajima, H. (1953) Gravity measurements along the lines of precise levels over whole Japan by means of a Worden gravimeter, IV. Tohoku district. *Proc. Japan Acad.*, vol. 29, p. 503-508.
- 山田直利・寺岡易司・秦 光男ほか編(1982) 10万分の1地質図 日本地質アトラス. p. 3-19, 22-25, 地質調査所.
- ・斎藤英二・村田泰章編(1990) コンピュータ編集による日本地質図. 1:2,000,000地質編集図, no. 22, 地質調査所.

(受付: 1991年9月3日; 受理: 1991年9月25日)

Appendix

Table A-1 Gravity data in the Abukuma mountains, Northeast Japan (1)

no.	ϕ_o	θ_o	g	γ_o	H_o	T_o	T_i	B	$F+A$	g_B	
						(1.0)	(1.0)	(1.0)		(2.66)	
1	3726.07	14039.20	979949.64	979943.47	445.00	SH	0.21	0.07	-18.68	138.15	95.37
2	3727.23	14039.89	979940.28	979945.16	510.00	SH	0.27	0.03	-21.39	158.20	97.20
3	3727.32	14042.47	979942.71	979945.28	513.00	SH	0.52	0.11	-21.52	159.13	100.99
4	3727.39	14045.35	979959.56	979945.39	441.00	SH	0.41	0.06	-18.51	136.92	103.11
5	3726.74	14046.50	979967.44	979944.45	419.00	C	0.33	0.05	-17.59	130.13	107.33
6	3725.83	14047.70	979977.19	979943.13	382.00	SH	0.36	0.05	-16.04	118.72	111.19
7	3725.22	14049.36	979975.88	979942.23	400.00	C	0.49	0.05	-16.79	124.27	114.67
8	3724.48	14050.07	979965.23	979941.16	444.00	SH	0.47	0.42	-18.63	137.84	114.70
9	3724.42	14051.27	979951.96	979941.08	517.00	SH	0.41	0.07	-21.68	160.36	114.84
11	3724.73	14054.81	980020.82	979941.52	191.00	SH	1.35	0.52	-8.03	59.80	122.70
12	3724.56	14056.35	980042.16	979941.28	110.00	C	0.70	0.12	-4.63	34.81	125.53
13	3725.76	14059.74	980056.56	979943.03	22.64	LV	0.21	0.01	-0.95	7.86	119.40
14	3727.04	14100.58	980056.07	979944.88	13.04	LV	0.15	0.00	-0.55	4.89	115.02
15	3728.65	14100.28	980058.51	979947.23	17.21	LV	0.14	0.01	-0.72	6.18	115.93
16	3727.01	14102.47	980053.46	979944.84	15.80	SH	0.11	0.03	-0.67	5.75	112.96
17	3724.87	14100.00	980045.24	979941.73	44.98	LV	0.19	0.01	-1.89	14.75	113.74
18	3723.65	14100.35	980043.46	979939.95	42.24	LV	0.19	0.00	-1.78	13.90	113.17
19	3726.14	14037.87	979948.82	979943.58	440.00	SH	0.17	0.03	-18.47	136.61	93.24
20	3725.07	14037.62	979943.95	979942.02	470.00	C	0.16	0.10	-19.72	145.86	96.01
21	3724.05	14038.49	979943.57	979940.53	477.00	SH	0.26	0.07	-20.01	148.02	98.69
22	3723.14	14037.67	979945.84	979939.21	450.00	C	0.20	0.02	-18.88	139.69	96.69
23	3722.25	14038.53	979947.61	979937.91	449.00	SH	0.30	0.00	-18.84	139.38	99.75
24	3721.01	14038.44	979943.18	979936.11	463.00	SH	0.31	0.00	-19.43	143.70	99.94
25	3720.10	14039.39	979946.46	979934.80	459.00	SH	0.51	0.05	-19.26	142.47	104.39
26	3719.40	14040.11	979949.46	979933.78	451.00	SH	0.50	0.03	-18.93	140.00	106.75
27	3718.21	14039.52	979950.72	979932.04	436.00	SH	0.33	0.04	-18.30	135.37	106.37
28	3717.07	14039.31	979948.96	979930.39	440.00	C	0.27	0.08	-18.47	136.61	106.98
29	3715.39	14037.36	979945.59	979927.96	445.00	C	0.20	0.09	-18.68	138.15	106.87
30	3714.10	14037.86	979943.99	979926.08	450.00	C	0.14	0.04	-18.88	139.69	107.83
31	3712.89	14037.86	979938.46	979924.33	480.00	C	0.14	0.05	-20.14	148.95	110.02

Legend

- no. : gravity station number
- ϕ_o : latitude
- θ_o : longitude
- g : gravity
- γ_o : normal gravity
- H_o : height above sea level
- T_o : lithospheric terrain correction (outer zone: $r > 500$ m) ($1 g/cm^3$)
- T_i : lithospheric terrain correction (inner zone: $r < 500$ m) ($1 g/cm^3$)
- B : Bouguer correction ($1 g/cm^3$)
- F : free air correction
- A : atmospheric correction
- g_B : Bouguer anomaly ($\rho = 2.66 g/cm^3$)

Height determination

- LV : leveling
- BM : bench mark
- TP : triangle point
- SH : spot height
- C : contour

Bouguer anomalies are given by
 $g_B = g_{obs} - \gamma_o + F + A + (B + T_o + T_i) \cdot \rho$,
 where ρ is the Bouguer density.

Table A-1 continued (2)

no.	ϕ_0	θ_0	g	γ_0	H_0	T_0	T_i	B	$F+A$	g_B	
						(1.0)	(1.0)	(1.0)		(2.66)	
32	3711.54	14038.48	979935.85	979922.36	502.00	SH	0.16	0.06	-21.06	155.73	113.78
33	3710.16	14039.36	979923.99	979920.36	570.00	C	0.21	0.10	-23.90	176.71	117.58
34	3710.63	14037.66	979925.58	979921.04	540.80	SH	0.19	0.03	-22.68	167.70	112.50
35	3711.64	14037.15	979923.45	979922.52	540.00	C	0.15	0.13	-22.64	167.45	108.91
36	3713.00	14036.08	979929.49	979924.48	504.00	SH	0.12	0.07	-21.14	156.35	105.64
37	3713.57	14036.69	979939.43	979925.31	468.00	SH	0.17	0.09	-19.64	145.25	107.81
38	3714.33	14035.88	979928.38	979926.42	511.00	SH	0.16	0.06	-21.43	158.51	104.06
39	3714.23	14034.38	979926.13	979926.27	487.00	SH	0.15	0.05	-20.43	151.11	97.16
40	3714.81	14034.46	979925.44	979927.11	496.00	SH	0.16	0.04	-20.81	153.88	97.42
41	3715.26	14033.55	979920.41	979927.76	490.00	C	0.29	0.04	-20.56	152.03	90.86
42	3716.07	14033.06	979912.01	979928.93	530.00	C	0.46	0.16	-22.23	164.37	89.98
43	3717.91	14030.76	979937.03	979931.61	358.00	SH	0.44	0.14	-15.04	111.31	78.29
44	3717.37	14031.86	979932.81	979930.82	400.00	C	0.46	0.37	-16.79	124.27	83.82
45	3716.92	14033.57	979911.84	979930.18	555.00	C	0.22	0.14	-23.27	172.08	92.80
46	3715.80	14035.12	979931.78	979928.55	480.00	SH	0.19	0.08	-20.14	148.95	99.31
47	3715.75	14034.30	979909.18	979928.47	568.30	TP	0.26	0.27	-23.82	176.18	94.92
48	3716.80	14035.00	979931.69	979930.00	480.00	C	0.16	0.09	-20.14	148.95	97.72
49	3724.73	14040.27	979942.29	979941.52	487.00	SH	0.28	0.10	-20.43	151.10	98.54
50	3723.69	14041.83	979927.67	979940.01	568.00	SH	0.54	0.06	-23.81	176.09	102.01
51	3723.93	14043.24	979858.22	979940.36	904.00	SH	1.79	0.10	-37.79	279.72	102.07
52	3722.87	14042.74	979890.22	979938.82	760.00	C	0.69	0.17	-31.81	235.31	104.38
53	3722.93	14044.52	979927.52	979938.90	584.00	SH	0.55	0.06	-24.48	181.03	106.14
54	3722.60	14045.28	979932.64	979938.42	564.00	SH	0.39	0.06	-23.65	174.86	107.36
55	3721.59	14044.36	979916.00	979936.96	640.00	C	0.74	0.11	-26.81	198.30	108.25
56	3721.52	14046.14	979942.78	979936.86	504.00	SH	0.49	0.08	-21.14	156.35	107.53
58	3720.90	14047.12	979950.32	979935.95	463.00	SH	0.48	0.50	-19.43	143.70	109.01
59	3720.33	14048.51	979961.83	979935.13	414.00	SH	0.45	0.04	-17.38	128.59	110.37
60	3719.38	14050.01	979965.77	979933.74	397.00	SH	0.45	0.02	-16.67	123.34	112.27
61	3718.86	14050.58	979967.07	979932.99	396.00	SH	0.44	0.03	-16.63	123.03	114.13
62	3718.87	14051.79	979951.95	979933.01	500.00	C	0.53	0.21	-20.97	155.12	120.23
63	3717.75	14050.40	979966.40	979931.38	390.00	C	0.60	0.07	-16.37	121.18	114.40
64	3716.98	14050.59	979967.35	979930.25	390.00	C	0.56	0.15	-16.37	121.18	116.60
65	3715.64	14050.36	979938.61	979928.31	510.00	C	0.44	0.27	-21.39	158.20	113.48
66	3726.20	14041.69	979936.11	979943.66	537.00	SH	0.27	0.03	-22.52	166.53	99.89
67	3725.49	14042.23	979927.91	979942.63	570.00	C	0.33	0.15	-23.90	176.71	99.69
68	3724.84	14043.76	979915.48	979941.69	640.00	SH	0.58	0.08	-26.81	198.30	102.51
69	3724.27	14045.24	979927.58	979940.85	604.00	SH	0.49	0.14	-25.31	187.19	108.23
70	3723.27	14046.44	979934.19	979939.40	578.00	SH	0.30	0.04	-24.23	179.17	110.43
71	3720.81	14043.12	979822.25	979935.83	1066.40	TP	2.87	1.21	-44.52	329.80	108.68
72	3721.45	14043.19	979857.25	979936.76	920.00	C	1.50	0.21	-38.45	284.65	107.39
73	3721.09	14043.83	979880.31	979936.23	800.00	C	0.96	0.52	-33.47	247.65	106.64
74	3722.30	14047.17	979944.33	979937.99	520.00	C	0.32	0.09	-21.81	161.28	110.72
75	3721.45	14048.02	979955.81	979936.75	454.00	SH	0.38	0.04	-19.05	140.93	110.43
76	3722.72	14048.24	979938.84	979938.60	559.00	SH	0.27	0.03	-23.44	173.31	112.00
77	3723.81	14048.31	979953.08	979940.18	489.00	SH	0.33	0.08	-20.51	151.72	111.12
78	3725.03	14047.63	979971.09	979941.95	410.00	C	0.45	0.15	-17.21	127.35	112.30
79	3724.57	14046.90	979961.13	979941.29	451.00	SH	0.49	0.24	-18.93	140.00	111.43
80	3725.65	14046.63	979966.97	979942.87	414.00	SH	0.51	0.19	-17.38	128.59	108.31
81	3726.37	14045.97	979961.36	979943.91	445.00	C	0.36	0.07	-18.68	138.15	107.05
82	3725.96	14045.15	979937.03	979943.32	550.00	C	0.38	0.09	-23.06	170.54	104.16

Table A-1 continued (3)

no.	ϕ_o	θ_o	g	γ_o	H_o	T_o	T_i	B	$F+A$	g_B	
						(1.0)	(1.0)	(1.0)		(2.66)	
83	3726.49	14043.19	979947.29	979944.08	488.00	SH	0.48	0.07	-20.47	151.41	101.62
84	3728.18	14043.27	979942.37	979946.55	526.00	SH	0.47	0.05	-22.06	163.13	101.65
85	3729.00	14043.20	979911.66	979947.73	680.00	C	0.46	0.09	-28.48	210.63	100.25
86	3728.20	14039.73	979875.01	979946.57	810.70	TP	1.92	0.96	-33.92	250.94	96.84
87	3728.10	14040.78	979927.47	979946.43	580.00	C	0.53	0.17	-24.31	179.79	98.01
88	3729.12	14041.85	979934.08	979947.90	570.00	C	0.33	0.03	-23.90	176.71	100.27
89	3729.58	14039.81	979942.16	979948.58	507.00	SH	0.32	0.08	-21.27	157.27	95.34
90	3728.19	14038.69	979918.50	979946.55	620.00	SH	0.43	0.08	-25.98	192.13	96.32
91	3727.31	14038.70	979940.83	979945.27	500.00	C	0.32	0.12	-20.97	155.12	96.04
92	3727.17	14037.43	979943.81	979945.08	460.00	C	0.29	0.04	-19.30	142.78	91.03
93	3727.84	14041.53	979833.65	979946.05	967.10	TP	4.67	2.83	-40.41	299.18	99.25
94	3729.56	14043.69	979924.50	979948.55	622.00	C	0.39	0.19	-26.06	192.75	100.90
95	3729.27	14046.18	979947.64	979948.13	511.00	SH	0.50	0.22	-21.43	158.51	102.91
96	3729.39	14047.59	979973.88	979948.31	387.00	SH	0.53	0.12	-16.25	120.26	104.35
97	3728.60	14047.14	979956.10	979947.15	480.00	C	0.35	0.26	-20.14	148.95	105.94
98	3729.56	14049.24	979969.37	979948.55	438.00	SH	0.39	0.21	-18.38	135.99	109.49
99	3728.34	14049.13	979990.72	979946.77	327.00	SH	0.58	0.35	-13.74	101.75	111.62
100	3727.90	14050.08	980004.73	979946.13	248.00	C	1.23	0.44	-10.43	77.38	112.70
101	3728.70	14049.86	979977.83	979947.30	385.00	C	0.62	0.46	-16.17	119.64	110.02
102	3727.42	14052.11	980024.87	979945.43	150.00	C	1.39	0.39	-6.31	47.15	114.51
103	3728.24	14051.96	980016.49	979946.63	198.00	SH	1.14	0.17	-8.33	61.95	113.14
104	3729.08	14051.91	980007.23	979947.85	250.00	C	0.87	0.31	-10.51	78.00	112.55
105	3729.78	14051.71	979982.38	979948.87	400.00	C	0.45	0.28	-16.79	124.27	115.05
106	3727.93	14046.38	979944.89	979946.18	540.00	SH	0.31	0.02	-22.64	167.45	106.79
107	3727.34	14047.06	979964.66	979945.32	437.00	C	0.33	0.09	-18.34	135.68	107.33
108	3726.98	14048.02	979982.56	979944.79	360.00	C	0.41	0.09	-15.12	111.93	110.80
109	3727.67	14048.14	979970.25	979945.79	420.00	C	0.32	0.20	-17.63	130.44	109.36
110	3726.07	14049.34	979970.44	979943.47	430.00	C	0.28	0.04	-18.05	133.52	113.33
111	3728.68	14048.46	979985.17	979947.27	350.00	C	0.55	0.18	-14.70	108.84	109.57
112	3729.60	14048.87	979969.20	979948.60	453.00	C	0.31	0.02	-19.01	140.62	111.51
113	3729.23	14049.71	979941.62	979948.07	550.00	SH	0.62	0.18	-23.06	170.54	104.87
114	3726.38	14050.15	979971.24	979943.92	421.00	SH	0.44	0.21	-17.67	130.75	112.77
115	3726.04	14050.43	979962.62	979943.43	465.00	C	0.45	0.28	-19.51	144.32	113.55
116	3723.50	14048.96	979944.99	979939.73	542.00	SH	0.28	0.02	-22.73	168.07	113.66
117	3723.17	14050.24	979936.32	979939.25	588.00	SH	0.39	0.02	-24.65	182.26	114.85
118	3723.86	14050.63	979954.84	979940.25	495.00	SH	0.42	0.12	-20.76	153.57	114.34
119	3722.99	14040.16	979929.80	979938.99	560.00	C	0.38	0.44	-23.48	173.62	104.15
120	3722.13	14039.74	979926.26	979937.74	561.00	SH	0.54	0.32	-23.52	173.93	102.19
121	3721.72	14040.86	979909.65	979937.14	660.00	SH	0.76	0.26	-27.65	204.47	106.13
122	3721.16	14039.76	979941.02	979936.33	484.00	SH	1.06	0.15	-20.30	150.18	104.07
123	3720.17	14041.85	979909.64	979934.89	667.00	SH	1.06	0.21	-27.94	206.63	110.42
124	3719.36	14042.28	979924.41	979933.72	570.00	C	1.01	0.18	-23.90	176.71	106.98
125	3718.84	14043.41	979865.81	979932.97	870.00	SH	1.18	0.18	-36.38	269.23	108.90
126	3720.27	14043.11	979873.70	979935.04	850.00	C	1.03	0.08	-35.55	263.07	110.11
127	3720.01	14044.65	979907.61	979934.67	670.00	C	0.64	0.15	-28.06	207.55	107.94
128	3719.85	14045.37	979924.29	979934.43	600.00	C	0.56	0.18	-25.15	185.96	110.88
129	3719.57	14046.48	979944.55	979934.02	480.00	C	0.58	0.34	-20.14	148.95	108.35
130	3719.87	14047.89	979957.11	979934.46	420.00	C	0.50	0.38	-17.63	130.44	108.55
133	3719.42	14043.40	979873.16	979933.80	850.00	C	1.04	0.19	-35.55	263.07	111.13
134	3718.65	14046.56	979950.13	979932.69	451.00	SH	0.64	0.09	-18.93	140.00	109.02

Table A-1 continued (4)

no.	ϕ_0	θ_0	g	γ_0	H_0	T_0	T_i	B	$F+A$	g_B	
						(1.0)	(1.0)	(1.0)		(2.66)	
135	3717.88	14045.84	979938.23	979931.57	504.00	SH	0.75	0.21	-21.14	156.35	109.33
136	3717.03	14045.82	979926.74	979930.34	550.00	C	0.46	0.21	-23.06	170.54	107.37
137	3716.25	14046.11	979926.18	979929.20	550.00	C	0.42	0.11	-23.06	170.54	107.55
138	3716.26	14047.33	979914.68	979929.22	610.00	C	0.36	0.05	-25.56	189.04	107.57
139	3716.29	14048.25	979918.62	979929.26	600.00	C	0.41	0.32	-25.15	185.96	110.34
140	3716.88	14049.42	979949.36	979930.12	460.00	C	0.48	0.17	-19.30	142.78	112.39
141	3717.59	14049.03	979942.52	979931.14	490.00	C	0.43	0.09	-20.56	152.03	110.10
142	3719.00	14048.40	979943.87	979933.20	500.00	C	0.35	0.05	-20.97	155.12	111.05
143	3718.11	14048.23	979920.86	979931.90	590.00	C	0.37	0.02	-24.73	182.88	107.08
144	3718.32	14047.42	979931.95	979932.20	540.00	C	0.34	0.08	-22.64	167.45	108.06
145	3718.81	14047.70	979944.08	979932.92	470.00	C	0.45	0.31	-19.72	145.86	106.60
146	3719.01	14038.11	979944.89	979933.21	452.00	SH	0.23	0.03	-18.97	140.31	102.24
147	3717.03	14036.36	979942.75	979930.33	440.00	C	0.17	0.09	-18.47	136.61	100.57
148	3717.63	14035.54	979934.40	979931.21	480.00	C	0.16	0.09	-20.14	148.95	99.23
149	3717.94	14033.73	979914.78	979931.65	550.00	C	0.31	0.08	-23.06	170.54	93.36
150	3718.33	14032.32	979925.68	979932.22	462.00	SH	0.35	0.06	-19.39	143.39	86.38
151	3719.28	14031.09	979919.30	979933.60	490.00	C	0.35	0.23	-20.56	152.03	84.59
152	3719.08	14031.94	979916.15	979933.31	510.00	C	0.42	0.08	-21.39	158.20	85.47
153	3719.70	14032.02	979907.01	979934.21	553.00	SH	0.47	0.18	-23.19	171.46	84.31
154	3720.26	14031.90	979922.30	979935.02	470.00	C	0.42	0.09	-19.72	145.86	82.03
155	3720.42	14033.96	979917.61	979935.25	516.40	BM	0.30	0.01	-21.66	160.17	85.75
156	3719.73	14033.63	979912.58	979934.26	539.00	SH	0.40	0.06	-22.60	167.15	86.57
157	3718.44	14034.74	979896.46	979932.38	635.00	SH	0.65	0.33	-26.61	196.75	92.68
158	3720.57	14037.12	979920.28	979935.47	560.00	C	0.25	0.26	-23.48	173.62	97.33
159	3721.34	14037.23	979940.36	979936.60	466.00	SH	0.25	0.01	-19.55	144.63	97.07
160	3722.00	14036.13	979934.84	979937.56	480.00	C	0.23	0.01	-20.14	148.95	93.31
161	3722.68	14035.33	979936.88	979938.55	460.00	C	0.28	0.09	-19.30	142.78	90.74
162	3723.54	14036.23	979946.49	979939.80	435.00	C	0.15	0.00	-18.26	135.06	93.61
163	3724.57	14035.40	979941.64	979941.29	456.00	SH	0.13	0.02	-19.14	141.54	91.39
164	3725.06	14036.68	979944.02	979942.00	451.80	TP	0.13	0.23	-18.96	140.25	92.79
165	3718.03	14040.74	979943.58	979931.79	470.00	C	0.69	0.08	-19.72	145.86	107.23
166	3717.63	14041.92	979905.48	979931.21	670.00	C	0.52	0.10	-28.06	207.55	108.81
167	3717.86	14043.67	979910.64	979931.54	645.00	SH	0.66	0.11	-27.02	199.84	109.09
168	3716.94	14043.36	979904.47	979930.21	675.00	C	0.42	0.04	-28.27	209.09	109.37
169	3716.06	14043.69	979928.40	979928.92	555.00	SH	0.42	0.04	-23.27	172.08	110.87
170	3714.83	14043.50	979940.72	979927.14	490.00	C	0.25	0.04	-20.56	152.03	111.70
171	3715.18	14042.59	979938.84	979927.64	504.00	SH	0.28	0.13	-21.14	156.35	112.40
172	3715.85	14041.83	979928.63	979928.62	560.00	SH	0.36	0.16	-23.48	173.62	112.55
173	3715.76	14040.46	979942.07	979928.49	470.00	C	0.24	0.02	-19.72	145.86	107.70
174	3716.48	14040.60	979940.08	979929.53	487.40	SH	0.41	0.04	-20.45	151.23	108.58
175	3714.40	14040.04	979949.43	979926.52	418.00	SH	0.19	0.08	-17.55	129.82	106.77
176	3713.62	14041.06	979946.31	979925.39	440.00	C	0.20	0.06	-18.47	136.61	109.10
177	3713.24	14040.53	979940.85	979924.82	460.00	C	0.21	0.16	-19.30	142.78	108.43
178	3712.51	14039.28	979929.00	979923.77	530.00	C	0.14	0.09	-22.23	164.37	111.10
179	3712.28	14040.91	979939.03	979923.44	475.00	C	0.17	0.09	-19.93	147.40	110.67
180	3711.66	14040.80	979934.50	979922.54	500.00	C	0.22	0.09	-20.97	155.12	112.11
181	3710.80	14040.11	979924.24	979921.29	560.00	C	0.20	0.03	-23.48	173.62	114.72
182	3712.05	14042.09	979937.53	979923.11	490.00	C	0.20	0.08	-20.56	152.03	112.51
183	3710.71	14043.22	979939.64	979921.15	480.00	SH	0.22	0.04	-20.14	148.95	114.54
184	3710.26	14043.96	979943.54	979920.51	460.00	C	0.22	0.22	-19.30	142.78	115.64

Table A-1 continued (5)

no.	ϕ_o	θ_o	g	γ_o	H_o	T_o	T_i	B	$F+A$	g_B	
						(1.0)	(1.0)	(1.0)		(2.66)	
185	3711.70	14043.46	979937.40	979922.59	490.00	C	0.21	0.01	-20.56	152.03	112.76
186	3713.93	14043.08	979952.67	979925.83	420.00	C	0.36	0.30	-17.63	130.44	112.14
187	3717.38	14044.68	979914.82	979930.85	630.00	C	0.48	0.33	-26.40	195.21	111.11
188	3710.83	14045.08	979932.92	979921.33	520.00	C	0.31	0.07	-21.81	161.28	115.87
189	3712.05	14047.33	979950.88	979923.10	420.00	C	0.63	0.21	-17.63	130.44	113.54
190	3713.23	14048.88	979869.96	979924.81	808.20	TP	1.97	0.99	-33.81	250.18	113.23
191	3713.05	14047.30	979921.89	979924.56	560.00	C	0.42	0.09	-23.48	173.62	109.84
192	3713.16	14046.41	979939.61	979924.72	475.00	C	0.45	0.20	-19.93	147.40	111.01
193	3726.40	14051.95	980007.56	979943.95	235.00	C	1.68	0.61	-9.88	73.37	116.79
194	3727.58	14053.00	980032.21	979945.67	122.00	C	1.72	0.39	-5.13	38.51	117.00
195	3727.02	14053.50	980018.41	979944.85	190.00	SH	1.12	0.99	-7.99	59.49	117.42
196	3727.57	14054.09	980034.21	979945.66	137.00	SH	0.98	0.48	-5.76	43.14	120.24
197	3727.69	14054.47	980045.72	979945.83	81.00	SH	1.32	0.36	-3.41	25.86	121.16
198	3727.72	14055.83	980056.40	979945.88	57.00	SH	0.71	0.05	-2.40	18.46	124.60
199	3728.47	14056.02	980052.41	979946.96	90.00	C	0.47	0.26	-3.79	28.64	125.93
202	3716.48	14032.25	979901.59	979929.54	562.00	SH	0.51	0.11	-23.56	174.24	85.27
203	3716.06	14031.30	979893.13	979928.92	583.00	SH	0.57	0.10	-24.44	180.72	81.70
205	3727.10	14056.86	980047.07	979944.97	90.00	C	0.37	0.07	-3.79	28.64	121.81
206	3725.62	14056.69	980037.99	979942.82	140.00	C	0.39	0.04	-5.89	44.06	124.70
207	3725.82	14055.47	980022.33	979943.11	200.00	C	0.72	0.43	-8.41	62.57	122.45
208	3726.13	14055.84	980035.01	979943.56	152.00	C	0.63	0.23	-6.39	47.76	124.47
209	3716.67	14030.44	979917.10	979929.81	450.00	C	0.48	0.07	-18.88	139.69	78.21
210	3716.04	14030.30	979898.20	979928.90	540.00	SH	0.62	0.09	-22.64	167.45	78.41
211	3715.35	14030.13	979879.42	979927.90	650.00	C	0.66	0.36	-27.23	201.38	83.20
212	3713.74	14030.48	979907.23	979925.56	510.00	C	0.28	0.06	-21.39	158.20	83.87
213	3714.53	14031.24	979876.60	979926.70	662.00	SH	0.62	0.06	-27.73	205.08	83.03
214	3711.99	14030.92	979935.76	979923.01	367.00	SH	0.40	0.28	-15.41	114.09	87.63
215	3710.90	14031.22	979927.13	979921.43	440.00	C	0.12	0.09	-18.47	136.61	93.74
216	3710.22	14032.58	979927.42	979920.45	460.00	C	0.13	0.06	-19.30	142.78	98.90
217	3711.38	14032.88	979921.22	979922.13	480.00	C	0.10	0.04	-20.14	148.95	94.85
218	3711.18	14034.57	979922.30	979921.84	501.00	SH	0.14	0.07	-21.02	155.42	100.54
219	3710.35	14036.02	979914.53	979920.64	550.00	C	0.18	0.18	-23.06	170.54	104.05
220	3712.07	14035.41	979925.19	979923.13	500.00	C	0.14	0.06	-20.97	155.12	101.89
221	3712.85	14034.49	979928.57	979924.26	470.00	SH	0.15	0.07	-19.72	145.86	98.30
222	3713.39	14033.61	979925.86	979925.04	475.00	SH	0.16	0.09	-19.93	147.40	95.89
223	3712.19	14032.77	979923.20	979923.31	460.00	C	0.12	0.02	-19.30	142.78	91.71
224	3715.29	14031.96	979882.00	979927.80	650.00	SH	0.65	0.12	-27.23	201.38	85.20
225	3720.26	14045.86	979912.66	979935.02	650.00	C	0.45	0.01	-27.23	201.38	107.81
226	3720.15	14046.78	979928.46	979934.86	571.00	SH	0.36	0.01	-23.94	177.01	107.90
227	3721.16	14048.61	979959.79	979936.34	432.00	SH	0.41	0.10	-18.13	134.14	110.70
228	3721.36	14049.36	979956.09	979936.62	457.00	SH	0.42	0.08	-19.18	141.85	111.62
229	3721.39	14050.18	979945.33	979936.67	514.00	SH	0.41	0.10	-21.56	159.43	112.08
230	3721.85	14051.26	979914.23	979937.34	700.00	C	0.87	0.03	-29.31	216.80	118.10
231	3721.90	14053.13	979951.20	979937.41	532.00	C	0.48	0.04	-22.31	164.99	120.80
232	3720.89	14052.89	979977.69	979935.95	400.00	C	0.58	0.42	-16.79	124.27	123.97
233	3720.93	14052.01	979958.03	979935.99	484.00	SH	0.48	0.39	-20.30	150.18	120.51
234	3720.44	14051.01	979955.11	979935.29	470.00	C	0.43	0.21	-19.72	145.86	114.92
235	3719.90	14050.78	979963.64	979934.50	423.00	SH	0.46	0.06	-17.75	131.36	114.65
236	3720.11	14051.83	979936.30	979934.81	576.40	TP	0.53	0.29	-24.16	178.68	118.07
237	3719.73	14053.22	979957.70	979934.25	490.00	C	0.48	0.14	-20.56	152.03	122.43

Table A-1 continued (6)

no.	ϕ_0	θ_0	g	γ_0	H_0	T_0	T_i	B	$F+A$	g_B	
						(1.0)	(1.0)	(1.0)		(2.66)	
238	3720.28	14054.31	979985.69	979935.05	372.00	SH	0.49	0.30	-15.62	115.63	126.80
239	3720.37	14053.52	979976.59	979935.18	400.00	C	0.51	0.48	-16.79	124.27	123.62
240	3722.83	14052.26	979940.04	979938.76	584.00	SH	0.50	0.07	-24.48	181.03	118.70
245	3728.87	14044.94	979865.73	979947.55	883.10	TP	2.81	0.53	-36.92	273.27	102.12
247	3727.52	14043.66	979943.32	979945.58	514.40	TP	0.28	0.25	-21.57	159.56	101.30
248	3725.41	14034.30	979881.44	979942.52	718.60	TP	2.53	0.93	-30.09	222.54	90.63
249	3726.34	14036.69	979948.52	979943.86	428.00	SH	0.16	0.04	-17.96	132.91	90.31
250	3717.03	14041.57	979834.96	979930.33	964.70	TP	4.16	0.74	-40.31	298.44	108.91
251	3722.87	14056.99	980038.80	979938.82	120.00	C	0.61	0.08	-5.05	37.89	126.26
252	3722.51	14056.18	980031.25	979938.30	130.00	C	1.14	0.90	-5.47	40.98	124.79
253	3722.28	14055.51	980010.62	979937.97	250.00	C	0.75	0.30	-10.51	78.00	125.45
255	3721.16	14058.30	980042.08	979936.34	50.00	C	0.50	0.05	-2.11	16.30	117.88
256	3720.30	14057.16	980018.41	979935.09	220.00	C	0.77	1.26	-9.25	68.74	132.83
257	3720.47	14057.90	980035.52	979935.32	110.00	C	0.61	0.10	-4.63	34.81	124.56
258	3720.44	14059.48	980034.58	979935.28	76.60	TP	0.29	0.19	-3.22	24.50	116.50
259	3721.31	14056.58	980033.00	979936.55	150.00	C	1.00	0.52	-6.31	47.15	130.83
260	3721.23	14055.43	980017.49	979936.44	200.00	SH	1.43	1.05	-8.41	62.57	127.85
261	3720.86	14054.57	980004.73	979935.89	267.00	SH	0.87	0.40	-11.22	83.24	125.58
262	3721.65	14054.29	979979.13	979937.04	400.00	C	0.44	0.08	-16.79	124.27	123.04
263	3719.84	14054.88	979966.20	979934.42	480.00	C	0.64	0.04	-20.14	148.95	128.95
264	3719.17	14053.81	979978.85	979933.44	400.00	C	0.65	0.47	-16.79	124.27	127.95
265	3718.97	14055.29	980011.32	979933.15	248.00	C	0.96	0.57	-10.43	77.38	131.87
266	3719.16	14056.26	980018.61	979933.43	217.00	SH	0.96	0.51	-9.12	67.82	132.62
267	3718.60	14057.37	980041.82	979932.61	129.00	C	0.90	0.47	-5.43	40.67	139.08
268	3714.22	14045.15	979938.68	979926.26	500.00	C	0.32	0.35	-20.97	155.12	113.53
269	3713.93	14046.43	979943.75	979925.83	450.00	C	0.65	0.29	-18.88	139.69	109.86
270	3713.83	14047.86	979919.00	979925.69	590.00	C	0.47	0.35	-24.73	182.88	112.56
271	3715.28	14045.56	979925.47	979927.79	555.00	C	0.33	0.27	-23.27	172.08	109.44
272	3715.27	14047.51	979915.30	979927.78	610.00	C	0.41	0.08	-25.56	189.04	109.84
273	3717.55	14051.64	979952.78	979931.09	480.00	C	0.45	0.12	-20.14	148.95	118.56
274	3716.56	14051.92	979981.57	979929.65	330.00	C	0.83	0.30	-13.86	102.68	120.73
275	3717.60	14053.24	979927.78	979931.16	630.00	C	1.04	0.24	-26.40	195.21	125.01
276	3716.48	14053.81	979987.87	979929.53	340.00	C	0.61	0.14	-14.28	105.76	128.08
277	3717.26	14055.95	979985.29	979930.67	370.00	C	0.91	0.83	-15.54	115.02	132.91
278	3717.66	14055.22	979909.17	979931.25	705.40	TP	3.28	0.58	-29.54	218.47	128.04
279	3716.08	14057.30	980040.96	979928.95	90.00	C	0.79	0.04	-3.79	28.64	132.76
280	3716.13	14055.72	980029.59	979929.03	145.00	C	1.05	0.53	-6.10	45.60	134.11
281	3715.34	14054.18	979994.62	979927.87	300.00	C	0.64	0.09	-12.61	93.42	128.58
282	3714.77	14056.66	980003.49	979927.05	260.00	C	0.50	0.43	-10.93	81.08	130.89
283	3712.89	14058.61	980034.63	979924.32	42.00	C	0.46	0.04	-1.77	13.83	120.75
284	3710.85	14059.89	980018.79	979921.36	15.70	BM	0.26	0.03	-0.66	5.71	102.14
285	3711.59	14058.34	980028.12	979922.44	70.00	C	0.37	0.08	-2.95	22.47	121.47
286	3711.69	14056.89	980014.41	979922.58	170.00	C	0.74	0.22	-7.15	53.32	128.66
287	3712.28	14055.80	979971.98	979923.44	380.00	C	0.73	0.09	-15.96	118.10	126.35
288	3712.68	14056.68	979966.59	979924.02	405.30	TP	1.47	0.15	-17.02	125.90	127.50
289	3713.64	14055.94	979993.43	979925.41	280.00	C	0.71	0.35	-11.77	87.25	126.75
290	3714.00	14054.95	979981.11	979925.94	360.00	C	0.68	0.21	-15.12	111.93	129.23
291	3714.34	14054.19	979969.89	979926.43	420.00	C	0.72	0.32	-17.63	130.44	129.73
292	3714.94	14055.11	979984.60	979927.29	370.00	C	0.49	0.26	-15.54	115.02	132.94
293	3715.46	14048.83	979911.85	979928.05	640.00	C	0.48	0.05	-26.81	198.30	112.17

Table A-1 continued (7)

no.	ϕ_0	θ_0	g	γ_0	H_0	T_0 (1.0)	T_i (1.0)	B (1.0)	$F+A$	g_B (2.66)
294	3714.32	14051.31	979945.73	979926.39	490.00 C	0.56	0.13	-20.56	152.03	118.50
295	3714.04	14049.76	979915.89	979926.00	638.00 C	0.53	0.28	-26.73	197.68	118.60
297	3712.60	14051.36	979893.25	979923.91	730.00 C	1.22	0.07	-30.56	226.06	117.50
298	3712.95	14050.17	979905.78	979924.41	660.00 C	0.76	0.09	-27.65	204.47	114.54
299	3713.38	14053.41	979944.15	979925.03	530.00 C	0.89	0.72	-22.23	164.37	128.63
300	3715.70	14101.11	980022.44	979928.40	38.80 SH	0.23	0.38	-1.63	12.84	104.11
301	3718.55	14045.07	979873.79	979932.55	820.00 SH	1.48	0.50	-34.30	253.81	109.07
401	3705.45	14034.07	979965.68	979913.53	313.00 SH	0.72	0.06	-13.15	97.43	116.65
402	3705.87	14034.10	979963.06	979914.13	323.00 SH	0.77	0.33	-13.57	100.52	116.28
403	3706.61	14034.30	979959.82	979915.21	346.00 SH	0.69	0.29	-14.53	107.61	116.17
404	3707.33	14034.52	979953.50	979916.26	381.00 SH	0.63	0.21	-16.00	118.41	115.32
405	3708.11	14035.43	979923.23	979917.39	528.00 SH	0.23	0.07	-22.14	163.75	111.51
406	3708.12	14035.88	979924.91	979917.40	511.00 SH	0.28	0.25	-21.43	158.51	110.41
407	3707.43	14036.05	979930.99	979916.40	502.00 SH	0.34	0.27	-21.06	155.73	115.93
408	3706.86	14036.49	979910.39	979915.57	619.00 SH	0.36	0.07	-25.94	191.82	118.77
409	3706.36	14036.30	979929.77	979914.84	525.00 SH	0.28	0.24	-22.02	162.83	120.55
411	3706.12	14037.70	979933.19	979914.50	531.00 SH	0.30	0.05	-22.27	164.68	125.07
412	3705.19	14038.10	979949.89	979913.16	459.00 SH	0.55	0.35	-19.26	142.47	130.36
413	3705.21	14039.61	979966.36	979913.19	378.00 SH	0.86	0.70	-15.87	117.48	132.60
414	3705.25	14040.10	979966.27	979913.24	382.00 SH	0.79	0.46	-16.04	118.72	132.39
415	3705.87	14039.85	979958.86	979914.14	418.00 SH	0.70	0.33	-17.55	129.82	130.62
416	3708.68	14038.31	979916.77	979918.22	596.00 SH	0.33	0.11	-24.98	184.73	118.00
417	3708.37	14041.30	979958.22	979917.77	399.00 SH	0.49	0.04	-16.75	123.96	121.27
418	3708.69	14040.20	979950.04	979918.22	444.00 SH	0.45	0.07	-18.63	137.84	121.45
419	3709.05	14039.78	979940.80	979918.75	487.00 SH	0.34	0.05	-20.43	151.11	119.85
420	3707.55	14040.73	979945.31	979916.58	476.00 SH	0.50	0.70	-19.97	147.71	126.52
421	3706.07	14031.84	979956.80	979914.44	339.00 SH	0.50	0.44	-14.24	105.45	112.45
422	3705.40	14031.92	979963.00	979913.45	311.00 SH	0.47	0.09	-13.07	96.81	113.10
423	3705.07	14031.18	979963.70	979912.98	318.00 BM	0.49	0.22	-13.36	98.97	116.03
424	3706.36	14030.39	979956.81	979914.85	331.00 SH	0.57	0.15	-13.90	102.98	109.87
425	3706.09	14030.67	979957.78	979914.46	328.70 BM	0.57	0.10	-13.81	102.28	110.65
426	3707.05	14030.26	979956.84	979915.85	325.00 SH	0.59	0.09	-13.65	101.13	107.62
427	3707.28	14031.21	979935.04	979916.19	445.00 SH	0.29	0.56	-18.68	138.15	109.58
428	3705.66	14030.94	979960.60	979913.83	323.00 SH	0.50	0.26	-13.57	100.52	113.21
429	3704.85	14031.25	979965.47	979912.66	315.00 SH	0.57	0.18	-13.23	98.05	117.67
430	3703.76	14030.90	979956.83	979911.08	346.00 SH	0.57	0.17	-14.53	107.61	116.68
431	3703.09	14030.81	979944.36	979910.10	416.00 SH	0.28	0.10	-17.46	129.21	118.03
432	3702.64	14030.85	979940.97	979909.46	431.00 SH	0.25	0.08	-18.09	133.83	118.09
433	3701.48	14030.20	979938.79	979907.78	443.00 SH	0.20	0.16	-18.59	137.53	120.05
434	3700.96	14031.23	979931.83	979907.02	484.00 SH	0.27	0.08	-20.30	150.18	121.93
435	3701.86	14032.38	979927.69	979908.33	513.00 SH	0.24	0.10	-21.52	159.13	122.13
436	3702.08	14033.00	979923.92	979908.65	529.00 SH	0.27	0.03	-22.18	164.06	121.13
437	3701.87	14034.20	979950.76	979908.34	391.00 SH	0.94	0.41	-16.42	121.49	123.84
438	3702.22	14034.38	979955.46	979908.84	366.00 SH	1.04	0.44	-15.37	113.78	123.44
439	3702.02	14035.90	979908.46	979908.56	640.00 C	0.79	0.19	-26.81	198.30	129.48
440	3701.37	14036.17	979904.98	979907.61	665.00 SH	0.74	0.14	-27.86	206.01	131.61
441	3700.76	14036.27	979899.64	979906.73	697.00 SH	0.74	0.07	-29.19	215.88	133.30
442	3700.29	14035.64	979922.51	979906.05	568.00 SH	0.51	0.33	-23.81	176.09	131.44
443	3704.62	14034.58	979967.13	979912.33	300.00 SH	0.96	0.15	-12.61	93.42	117.66
444	3704.88	14034.01	979965.91	979912.70	309.00 SH	0.72	0.08	-12.98	96.20	117.00

Table A-1 continued (8)

no.	ϕ_0	θ_0	g	γ_0	H_0	T_0	T_i	B	$F+A$	g_B
						(1.0)	(1.0)	(1.0)		(2.66)
445	3703.76	14035.20	979970.95	979911.08	290.00 C	1.07	0.29	-12.19	90.34	121.40
446	3703.11	14035.85	979976.05	979910.14	280.00 SH	1.24	0.34	-11.77	87.25	126.05
447	3703.06	14036.22	979977.98	979910.07	271.00 SH	1.41	0.37	-11.39	84.48	126.82
448	3702.99	14036.68	979980.63	979909.97	266.60 BM	1.50	0.51	-11.21	83.12	129.30
449	3702.71	14037.26	979986.86	979909.56	240.00 SH	1.92	0.97	-10.09	74.91	133.06
450	3701.85	14038.59	980003.90	979908.31	190.00 C	1.79	0.41	-7.99	59.49	139.68
451	3701.46	14039.16	980007.54	979907.75	170.00 C	2.20	0.86	-7.15	53.32	142.20
452	3700.66	14040.56	980017.36	979906.59	143.00 SH	1.92	0.66	-6.02	44.99	146.61
453	3700.26	14041.61	980017.57	979906.00	156.00 SH	1.17	0.77	-6.56	49.00	148.25
454	3700.49	14042.26	980020.35	979906.34	152.00 SH	0.68	0.32	-6.39	47.77	147.43
455	3700.90	14042.53	980028.63	979906.94	101.00 SH	0.91	0.07	-4.25	32.03	145.00
456	3701.47	14042.97	980012.03	979907.76	185.00 SH	0.48	0.24	-7.78	57.95	143.44
457	3701.90	14042.77	980022.83	979908.39	126.00 SH	0.82	0.05	-5.30	39.74	142.39
458	3701.64	14043.75	980017.02	979908.01	135.00 SH	0.70	0.07	-5.68	42.52	138.44
459	3701.14	14044.02	980024.42	979907.29	119.00 SH	0.64	0.09	-5.01	37.58	143.30
460	3701.94	14044.70	980001.33	979908.44	183.00 SH	0.98	0.04	-7.70	57.33	132.45
461	3702.84	14044.47	979975.36	979909.75	337.00 SH	1.12	0.71	-14.16	104.84	137.65
462	3703.15	14044.66	979957.48	979910.19	425.00 SH	1.01	0.41	-17.84	131.98	135.58
463	3703.49	14044.67	979936.04	979910.69	526.00 SH	0.90	0.35	-22.06	163.14	133.14
464	3702.08	14043.17	980017.07	979908.65	142.00 SH	0.76	0.08	-5.97	44.68	139.44
465	3702.47	14043.48	980002.98	979909.20	183.00 SH	0.92	0.08	-7.70	57.33	133.29
466	3702.40	14042.23	980019.79	979909.11	130.00 SH	1.08	0.05	-5.47	40.98	140.11
467	3702.94	14042.06	980015.59	979909.89	140.00 C	1.22	0.04	-5.89	44.06	137.42
468	3703.30	14042.64	979998.77	979910.41	220.00 C	1.19	0.16	-9.25	68.74	136.08
469	3704.09	14044.01	979942.37	979911.55	496.00 SH	0.72	0.17	-20.81	153.88	131.72
470	3704.31	14043.70	979932.77	979911.87	543.00 SH	0.64	0.37	-22.77	168.38	131.38
471	3703.40	14041.69	980006.93	979910.56	171.00 SH	1.30	0.27	-7.19	53.63	135.02
472	3705.16	14040.90	979933.69	979913.11	560.00 C	0.53	0.23	-23.48	173.62	133.73
473	3704.51	14041.45	979967.38	979912.18	381.00 SH	0.82	0.85	-16.00	118.41	135.50
474	3704.41	14042.14	979934.50	979912.02	547.00 SH	0.89	0.75	-22.94	169.61	135.45
475	3702.72	14043.00	979999.49	979909.58	208.00 SH	0.83	0.05	-8.75	65.04	134.01
476	3708.28	14034.46	979919.60	979917.63	550.00 C	0.22	0.18	-23.06	170.54	112.23
477	3707.91	14033.93	979908.77	979917.09	610.00 C	0.54	0.23	-25.56	189.04	114.79
478	3709.08	14034.56	979918.06	979918.79	530.00 C	0.17	0.04	-22.23	164.37	105.07
479	3709.22	14033.29	979927.54	979919.00	480.00 C	0.18	0.08	-20.14	148.95	104.61
480	3708.86	14032.61	979928.13	979918.48	500.00 C	0.15	0.12	-20.97	155.12	109.70
481	3708.79	14033.10	979918.51	979918.37	540.00 C	0.18	0.15	-22.64	167.45	108.23
482	3708.70	14033.32	979911.65	979918.24	590.00 C	0.34	0.09	-24.73	182.88	111.65
483	3708.08	14032.84	979923.01	979917.34	530.00 C	0.18	0.20	-22.23	164.37	111.92
484	3707.87	14032.83	979924.98	979917.03	525.00 C	0.20	0.22	-22.02	162.83	113.32
485	3707.70	14033.31	979932.10	979916.79	485.00 C	0.24	0.08	-20.35	150.49	112.54
486	3707.52	14033.19	979931.67	979916.53	485.00 C	0.26	0.43	-20.35	150.49	113.33
487	3708.82	14031.93	979935.36	979918.41	458.00 SH	0.20	0.26	-19.22	142.16	109.20
488	3709.12	14031.19	979938.75	979918.86	425.00 SH	0.19	0.24	-17.84	131.98	105.56
489	3709.35	14030.93	979941.75	979919.19	410.00 C	0.20	0.23	-17.21	127.35	105.26
490	3709.86	14030.89	979921.56	979919.93	502.00 SH	0.22	0.23	-21.06	155.73	102.54
491	3709.72	14031.21	979937.05	979919.73	428.00 C	0.16	0.24	-17.96	132.91	103.53
492	3709.61	14032.03	979930.00	979919.56	457.00 C	0.13	0.15	-19.18	141.85	102.05
493	3709.83	14032.35	979925.15	979919.89	480.00 C	0.11	0.08	-20.14	148.95	101.15
494	3708.98	14030.92	979932.71	979918.64	450.00 C	0.13	0.07	-18.88	139.69	104.07

Table A-1 continued (9)

no.	ϕ_0	θ_0	g	γ_0	H_0	T_0	T_i	B	$F+A$	g_B	
						(1.0)	(1.0)	(1.0)		(2.66)	
495	3709.21	14030.06	979935.40	979918.99	441.00	C	0.14	0.15	-18.51	136.92	104.86
496	3709.45	14030.39	979932.91	979919.33	451.00	SH	0.13	0.07	-18.93	140.00	103.75
497	3708.57	14030.64	979936.22	979918.06	440.00	C	0.17	0.06	-18.47	136.61	106.26
498	3706.73	14032.00	979942.51	979915.39	408.00	C	0.36	0.58	-17.13	126.74	110.80
499	3706.70	14032.43	979935.90	979915.34	450.00	C	0.30	0.50	-18.88	139.69	112.14
500	3706.31	14032.83	979947.45	979914.77	388.00	C	0.43	0.47	-16.29	120.57	112.31
501	3706.10	14035.01	979929.34	979914.47	515.00	C	0.32	0.33	-21.60	159.74	118.89
502	3705.62	14035.71	979928.35	979913.78	535.00	C	0.23	0.04	-22.43	165.91	121.51
503	3706.11	14035.74	979918.02	979914.49	580.00	C	0.32	0.03	-24.31	179.79	119.56
504	3706.58	14035.80	979932.46	979915.17	499.00	C	0.30	0.26	-20.93	154.81	117.90
505	3706.51	14035.27	979939.25	979915.07	450.00	C	0.38	0.48	-18.88	139.69	115.93
506	3706.21	14036.97	979916.56	979914.63	600.00	C	0.29	0.18	-25.15	185.96	122.25
507	3705.85	14036.71	979915.12	979914.11	609.00	SH	0.33	0.07	-25.52	188.74	122.92
508	3705.43	14037.00	979917.17	979913.50	608.00	C	0.35	0.07	-25.48	188.43	125.44
509	3703.94	14037.22	979921.14	979911.33	600.00	C	0.54	0.05	-25.15	185.96	130.44
510	3704.77	14036.97	979930.22	979912.54	550.00	C	0.27	0.21	-23.06	170.54	128.15
511	3704.65	14036.11	979937.33	979912.38	494.00	SH	0.25	0.09	-20.72	153.26	124.02
512	3707.68	14036.91	979915.62	979916.76	580.00	C	0.29	0.23	-24.31	179.79	115.38
513	3707.94	14036.24	979920.06	979917.14	540.00	C	0.26	0.09	-22.64	167.45	111.07
514	3708.55	14036.91	979904.38	979918.02	614.00	C	0.32	0.13	-25.73	190.28	109.37
515	3708.76	14037.36	979904.38	979918.32	620.00	C	0.41	0.06	-25.98	192.13	110.33
516	3709.30	14036.97	979857.38	979919.11	819.20	TP	2.18	0.65	-34.27	253.57	108.21
517	3709.67	14036.39	979905.20	979919.66	590.00	C	0.29	0.08	-24.73	182.88	103.61
518	3709.50	14035.62	979907.06	979919.40	578.00	SH	0.21	0.04	-24.23	179.18	103.04
519	3709.56	14034.70	979912.36	979919.49	550.00	C	0.17	0.05	-23.06	170.54	102.65
520	3709.80	14034.13	979908.82	979919.84	570.00	C	0.21	0.08	-23.90	176.71	102.89
521	3709.84	14034.51	979908.81	979919.90	570.00	C	0.19	0.04	-23.90	176.71	102.68
522	3710.40	14034.36	979918.91	979920.71	516.00	C	0.14	0.07	-21.64	160.05	101.26
523	3710.26	14033.79	979921.27	979920.51	500.00	C	0.13	0.07	-20.97	155.12	100.62
524	3708.07	14038.60	979922.97	979917.32	565.00	C	0.38	0.26	-23.69	175.16	119.50
525	3707.23	14038.75	979937.50	979916.10	500.00	C	0.43	0.36	-20.97	155.12	122.80
526	3707.43	14037.70	979916.15	979916.40	615.00	C	0.31	0.21	-25.77	190.59	123.16
527	3707.81	14037.65	979900.16	979916.95	680.00	C	0.47	0.07	-28.48	210.64	119.51
528	3708.27	14037.89	979894.53	979917.62	710.00	C	0.70	0.21	-29.73	219.89	120.13
529	3705.36	14033.27	979965.28	979913.39	309.00	SH	0.52	0.05	-12.98	96.20	115.05
530	3705.58	14032.55	979963.93	979913.71	309.00	C	0.48	0.04	-12.98	96.20	113.27
531	3705.98	14038.44	979921.69	979914.30	600.00	C	0.32	0.17	-25.15	185.96	127.78
532	3706.47	14038.90	979924.51	979915.02	575.00	C	0.30	0.20	-24.10	178.25	124.96
533	3706.90	14039.53	979944.98	979915.63	470.00	C	0.49	0.33	-19.72	145.86	124.94
534	3707.61	14039.88	979913.67	979916.66	625.00	C	0.43	0.05	-26.19	193.67	122.31
535	3708.72	14040.98	979955.95	979918.27	407.00	SH	0.50	0.13	-17.09	126.43	120.34
536	3709.25	14040.55	979947.47	979919.04	450.00	C	0.38	0.33	-18.88	139.69	119.76
537	3709.78	14040.62	979938.40	979919.81	498.00	C	0.26	0.29	-20.89	154.50	118.96
538	3709.48	14041.29	979926.04	979919.37	557.00	SH	0.25	0.02	-23.35	172.70	117.97
539	3709.73	14042.60	979935.29	979919.74	509.00	SH	0.21	0.04	-21.35	157.89	117.30
540	3709.39	14042.34	979927.53	979919.25	550.00	C	0.27	0.05	-23.06	170.54	118.33
541	3708.72	14042.22	979940.47	979918.28	486.00	SH	0.23	0.04	-20.39	150.80	119.47
542	3708.18	14042.16	979960.91	979917.49	382.00	SH	0.51	0.24	-16.04	118.72	121.43
543	3707.50	14042.16	979958.23	979916.51	410.00	C	0.47	0.33	-17.21	127.35	125.42
544	3707.70	14043.24	979965.81	979916.79	364.00	SH	0.47	0.07	-15.29	113.16	122.94

Table A-1 continued (10)

no.	ϕ_0	θ_0	g	γ_0	H_0	T_0 (1.0)	T_i (1.0)	B (1.0)	$F+A$	g_B (2.66)
545	3706.88	14043.52	979953.40	979915.60	440.00 C	0.37	0.06	-18.47	136.61	126.42
546	3706.65	14044.36	979964.99	979915.27	370.00 C	0.45	0.06	-15.54	115.02	124.74
547	3707.02	14044.63	979971.69	979915.81	330.00 C	0.54	0.03	-13.86	102.68	123.21
548	3707.35	14044.03	979968.26	979916.29	350.00 C	0.51	0.27	-14.70	108.85	123.79
549	3708.91	14043.67	979960.19	979918.55	382.00 SH	0.48	0.40	-16.04	118.72	120.03
550	3709.24	14044.79	979971.73	979919.03	318.00 SH	0.52	0.04	-13.36	98.97	117.61
551	3708.80	14045.62	979975.19	979918.38	310.00 C	0.34	0.04	-13.02	96.51	119.68
552	3708.53	14044.97	979971.41	979917.99	339.00 C	0.37	0.17	-14.24	105.45	122.41
553	3708.16	14046.09	979977.38	979917.46	302.00 SH	0.34	0.04	-12.69	94.04	121.21
554	3709.51	14045.96	979968.69	979919.42	340.00 C	0.34	0.10	-14.28	105.76	118.19
555	3709.53	14046.88	979967.99	979919.45	350.00 C	0.31	0.15	-14.70	108.85	119.50
556	3708.47	14047.45	979972.60	979917.91	320.00 C	0.32	0.07	-13.44	99.59	119.53
557	3707.51	14046.84	979978.46	979916.52	300.00 SH	0.45	0.23	-12.61	93.42	123.63
558	3707.62	14048.62	979989.58	979916.68	235.00 C	0.73	0.19	-9.88	73.37	122.43
559	3708.33	14048.73	979991.32	979917.71	230.00 C	0.48	0.04	-9.67	71.83	121.10
560	3706.81	14046.95	979961.90	979915.50	380.00 C	0.49	0.07	-15.96	118.10	123.52
561	3705.78	14046.75	979978.65	979914.01	301.00 SH	0.59	0.01	-12.65	93.73	126.32
562	3706.21	14045.99	979975.46	979914.63	315.00 SH	0.49	0.09	-13.23	98.05	125.18
563	3704.36	14031.49	979962.26	979911.94	320.00 C	0.74	0.26	-13.44	99.59	116.82
564	3702.07	14030.87	979940.89	979908.64	430.00 C	0.25	0.04	-18.05	133.52	118.54
565	3702.43	14031.34	979932.53	979909.15	480.00 C	0.22	0.27	-20.14	148.95	120.09
566	3703.02	14031.96	979921.65	979910.01	530.00 C	0.27	0.20	-22.23	164.37	118.12
567	3702.70	14033.37	979908.17	979909.55	615.00 C	0.44	0.21	-25.77	190.59	122.37
568	3701.08	14032.77	979915.72	979907.19	570.00 C	0.25	0.12	-23.90	176.71	122.63
569	3700.68	14032.19	979919.17	979906.61	550.00 C	0.26	0.20	-23.06	170.54	122.96
570	3701.05	14030.46	979935.11	979907.15	460.00 C	0.21	0.06	-19.30	142.78	120.10
571	3700.63	14030.57	979931.66	979906.55	480.00 C	0.25	0.06	-20.14	148.95	121.31
572	3701.70	14033.45	979913.60	979908.10	590.00 C	0.39	0.04	-24.73	182.88	123.72
573	3703.52	14034.28	979940.44	979910.74	443.00 SH	0.43	0.47	-18.59	137.53	120.16
574	3703.09	14034.22	979922.19	979910.10	540.00 C	0.50	0.32	-22.64	167.45	121.49
575	3703.87	14033.82	979932.39	979911.24	485.00 C	0.36	0.32	-20.35	150.49	119.33
576	3704.22	14033.25	979916.77	979911.75	554.00 SH	0.47	0.21	-23.23	171.77	116.84
577	3704.03	14032.75	979908.65	979911.47	605.00 C	0.59	0.06	-25.36	187.50	118.98
578	3701.08	14033.89	979939.72	979907.20	460.00 C	0.53	0.48	-19.30	142.78	126.63
579	3701.30	14034.04	979944.93	979907.52	425.00 C	0.69	0.46	-17.84	131.98	125.00
580	3700.89	14034.50	979940.97	979906.93	450.00 C	0.67	0.36	-18.88	139.69	126.22
581	3700.55	14034.88	979931.30	979906.43	510.00 C	0.52	0.08	-21.39	158.20	127.73
582	3701.39	14036.43	979920.87	979907.65	595.00 C	0.63	0.26	-24.94	184.42	133.67
583	3702.32	14035.07	979925.37	979909.00	535.00 C	0.60	0.49	-22.43	165.91	125.49
584	3703.15	14035.36	979972.86	979910.19	285.00 C	1.13	0.07	-11.98	88.80	122.78
585	3701.18	14040.91	979987.64	979907.34	320.00 C	0.56	0.67	-13.44	99.59	147.42
586	3702.37	14040.51	979962.65	979909.07	425.00 C	0.51	0.66	-17.84	131.98	141.21
587	3702.72	14040.35	979960.38	979909.57	440.00 C	0.50	0.24	-18.47	136.61	140.25
588	3701.92	14041.04	979956.76	979908.41	469.00 SH	0.81	0.12	-19.68	145.55	144.04
589	3701.28	14041.35	979985.83	979907.49	330.00 C	0.54	0.49	-13.86	102.68	146.87
590	3703.61	14041.33	980005.95	979910.86	180.00 C	1.42	0.23	-7.57	56.40	135.74
591	3703.84	14040.94	980003.64	979911.20	180.00 C	1.82	0.73	-7.57	56.40	135.47
592	3703.76	14040.09	979991.20	979911.08	250.00 C	1.45	1.36	-10.51	78.00	137.64
593	3704.06	14040.03	979988.31	979911.52	265.00 C	1.35	1.27	-11.14	82.63	136.76
594	3704.17	14039.45	979984.21	979911.68	286.00 C	1.58	0.62	-12.02	89.10	135.50

Table A-1 continued (11)

no.	ϕ_o	θ_o	g	γ_o	H_o	T_o	T_i	B	$F+A$	g_B	
						(1.0)	(1.0)	(1.0)		(2.66)	
595	3704.92	14038.94	979940.65	979912.77	505.00	SH	0.37	0.47	-21.18	156.66	130.42
596	3704.53	14039.13	979947.60	979912.20	480.00	C	0.41	0.55	-20.14	148.95	133.32
597	3707.24	14040.95	979935.44	979916.13	545.00	C	0.34	0.27	-22.85	169.00	129.12
598	3706.57	14041.30	979912.81	979915.16	660.00	C	0.65	0.05	-27.65	204.47	130.44
599	3705.94	14041.10	979926.09	979914.24	600.00	C	0.44	0.14	-25.15	185.96	132.44
600	3705.89	14040.67	979924.60	979914.16	600.00	C	0.49	0.30	-25.15	185.96	131.61
601	3706.30	14040.73	979912.57	979914.76	670.00	C	0.76	0.04	-28.06	207.55	132.82
602	3706.22	14042.15	979939.90	979914.65	515.00	SH	0.56	0.35	-21.60	159.74	129.95
603	3706.61	14042.63	979952.40	979915.21	460.00	C	0.54	0.27	-19.30	142.78	130.77
604	3705.62	14041.30	979922.99	979913.77	610.00	C	0.53	0.20	-25.56	189.04	132.18
605	3705.26	14042.16	979905.16	979913.26	685.00	C	1.08	0.22	-28.69	212.18	131.22
606	3705.25	14043.74	979887.12	979913.24	767.50	TP	1.93	0.54	-32.12	237.62	132.59
607	3700.28	14043.34	980032.18	979906.04	90.00	C	0.67	0.27	-3.79	28.64	147.20
608	3700.33	14044.50	980028.61	979906.11	90.00	C	0.51	0.03	-3.79	28.64	142.48
609	3700.28	14045.58	980015.89	979906.04	117.00	SH	0.40	0.00	-4.92	36.97	134.78
610	3700.71	14045.46	980011.83	979906.67	132.00	SH	0.47	0.07	-5.55	41.59	133.41
611	3701.39	14045.19	980001.71	979907.64	178.00	SH	0.63	0.02	-7.49	55.79	131.65
612	3701.87	14045.21	979986.95	979908.34	260.00	TP	0.95	0.36	-10.93	81.08	134.08
613	3701.32	14045.63	980002.63	979907.54	172.00	SH	0.78	0.04	-7.24	53.94	131.96
614	3700.65	14046.03	980010.05	979906.58	134.00	SH	0.48	0.03	-5.64	42.21	132.02
615	3700.51	14046.80	980019.81	979906.37	83.00	SH	0.72	0.20	-3.49	26.48	133.06
616	3700.80	14047.40	980002.19	979906.79	197.00	SH	0.94	0.53	-8.29	61.65	138.89
617	3700.61	14048.70	979995.64	979906.52	226.90	TP	0.79	0.54	-9.54	70.87	138.11
618	3701.91	14047.54	979937.67	979908.41	516.90	TP	2.07	0.35	-21.68	160.33	138.34
619	3702.45	14046.73	979948.21	979909.19	490.00	C	1.05	0.04	-20.56	152.03	139.25
620	3702.86	14047.09	979961.97	979909.77	410.00	C	1.05	0.61	-17.21	127.35	138.18
621	3703.49	14047.60	980000.01	979910.68	210.00	C	0.77	0.09	-8.83	65.66	133.76
622	3703.14	14046.36	979932.04	979910.18	555.00	C	1.16	0.09	-23.27	172.08	135.36
623	3703.14	14045.63	979907.16	979910.19	670.00	C	1.80	0.12	-28.06	207.55	134.95
624	3702.94	14045.96	979898.61	979909.89	706.00	SH	2.60	0.37	-29.56	218.66	136.60
625	3703.51	14043.97	979914.30	979910.72	635.00	C	1.70	0.16	-26.61	196.76	134.50
626	3701.11	14048.99	980020.59	979907.24	106.00	SH	0.65	0.13	-4.46	33.57	137.11
627	3701.55	14049.32	980027.76	979907.88	50.00	C	0.64	0.15	-2.11	16.30	132.66
628	3702.38	14048.66	980021.67	979909.09	109.00	SH	0.64	0.10	-4.59	34.50	136.83
629	3702.65	14048.06	980018.37	979909.47	123.00	SH	1.00	0.08	-5.18	38.82	136.81
630	3704.01	14048.54	980015.93	979911.45	136.00	SH	0.56	0.03	-5.72	42.83	133.66
631	3704.34	14048.34	980011.50	979911.93	147.00	SH	0.65	0.02	-6.18	46.22	131.11
632	3704.69	14048.67	980009.70	979912.43	154.00	SH	0.79	0.09	-6.48	48.38	130.73
633	3704.34	14047.59	979995.10	979911.92	224.00	SH	0.60	0.27	-9.42	69.98	130.40
634	3704.03	14045.98	979955.30	979911.47	423.00	SH	0.78	0.22	-17.75	131.37	130.61
635	3704.80	14047.04	979990.96	979912.59	240.00	SH	0.77	0.23	-10.09	74.91	129.09
636	3704.73	14046.01	979965.97	979912.49	368.00	SH	0.69	0.54	-15.45	114.40	130.04
637	3705.77	14048.36	979933.48	979913.99	535.00	C	1.42	0.19	-22.43	165.91	129.99
638	3706.38	14048.07	979890.22	979914.88	735.40	TP	3.35	0.30	-30.79	227.72	130.83
639	3705.51	14049.36	979969.04	979913.61	330.00	C	1.01	0.24	-13.86	102.68	124.52
640	3706.31	14051.63	980024.85	979914.78	63.00	SH	0.43	0.04	-2.65	20.31	124.56
641	3707.42	14051.43	980025.34	979916.39	46.00	SH	0.56	0.03	-1.94	15.06	120.44
642	3707.71	14052.01	980027.62	979916.80	30.50	BM	0.62	0.00	-1.28	10.28	119.33
643	3708.02	14051.35	980025.98	979917.25	39.00	SH	0.73	0.04	-1.64	12.90	119.29
644	3708.27	14050.78	980025.34	979917.62	48.90	BM	0.86	0.03	-2.06	15.96	120.57

Table A-1 continued (12)

no.	ϕ_0	θ_0	g	γ_0	H_0	T_0	T_i	B	$F+A$	g_B
						(1.0)	(1.0)	(1.0)		(2.66)
645	3709.00	14049.96	980020.70	979918.67	65.70 BM	1.22	0.09	-2.77	21.14	119.29
646	3709.88	14049.79	980011.26	979919.95	112.40 BM	1.34	0.45	-4.73	35.55	119.02
647	3710.45	14050.04	980004.79	979920.78	140.00 C	1.55	0.32	-5.89	44.06	117.35
648	3710.75	14049.50	980004.91	979921.21	140.00 C	1.60	0.44	-5.89	44.06	117.51
649	3711.31	14048.10	979987.43	979922.03	227.00 SH	1.38	0.28	-9.54	70.90	115.32
650	3711.82	14046.36	979980.50	979922.78	264.00 BM	1.37	0.45	-11.10	82.32	115.37
651	3712.25	14045.25	979978.15	979923.40	281.90 BM	1.10	0.23	-11.85	87.84	114.61
652	3713.28	14044.74	979942.70	979924.90	470.00 C	0.27	0.09	-19.72	145.86	112.15
653	3714.09	14045.03	979943.59	979926.07	475.00 C	0.36	0.19	-19.93	147.40	113.36
654	3713.54	14045.69	979953.20	979925.26	420.00 C	0.49	0.17	-17.63	130.44	113.22
655	3712.63	14044.05	979971.83	979923.94	310.80 BM	0.94	0.23	-13.06	96.75	113.02
656	3707.33	14035.43	979942.63	979916.25	435.00 C	0.50	0.32	-18.26	135.07	115.06
657	3708.34	14036.16	979918.81	979917.72	535.00 C	0.28	0.07	-22.43	165.91	108.25
658	3709.94	14037.39	979915.79	979920.04	570.00 C	0.26	0.05	-23.90	176.71	109.71
659	3708.97	14038.57	979901.65	979918.63	670.00 C	0.62	0.14	-28.06	207.55	117.95
660	3709.32	14038.56	979911.04	979919.15	630.00 C	0.42	0.10	-26.40	195.21	118.27
661	3709.49	14039.53	979934.43	979919.39	530.00 C	0.30	0.31	-22.23	164.37	121.91
662	3705.66	14044.13	979925.02	979913.83	600.00 C	0.83	0.50	-25.15	185.96	133.79
663	3705.85	14044.27	979935.47	979914.11	547.00 C	0.73	0.21	-22.94	169.61	132.45
664	3706.79	14045.39	979973.34	979915.47	325.00 SH	0.52	0.21	-13.65	101.13	124.63
665	3707.79	14045.87	979975.39	979916.93	310.00 C	0.37	0.11	-13.02	96.51	121.61
666	3707.80	14045.32	979971.51	979916.93	330.00 C	0.40	0.06	-13.86	102.68	121.60
667	3710.05	14046.83	979955.95	979920.20	400.00 C	0.36	0.08	-16.79	124.27	116.52
668	3709.08	14048.72	979987.18	979918.79	240.00 C	0.57	0.36	-10.09	74.91	118.93
669	3708.48	14049.99	980016.46	979917.92	96.00 SH	0.90	0.21	-4.04	30.49	121.20
670	3707.62	14050.09	980008.93	979916.68	140.00 C	0.76	0.21	-5.89	44.06	123.23
671	3700.57	14050.22	980029.72	979906.45	21.00 SH	0.34	0.06	-0.88	7.35	129.32
672	3701.84	14050.41	980031.70	979908.30	22.00 SH	0.42	0.04	-0.93	7.66	129.80
673	3702.32	14050.42	980023.96	979908.99	55.00 SH	0.32	0.06	-2.32	17.84	127.65
674	3702.56	14051.20	980021.20	979909.34	48.70 TP	0.27	0.15	-2.05	15.89	123.40
675	3703.04	14050.65	980009.30	979910.04	115.00 SH	0.34	0.04	-4.84	36.35	123.73
676	3703.70	14051.65	980026.65	979910.99	15.00 SH	0.31	0.01	-0.63	5.50	120.31
677	3704.73	14052.21	980029.70	979912.49	12.00 SH	0.32	0.00	-0.51	4.57	121.29
678	3709.26	14051.87	979996.67	979919.06	202.00 SH	0.91	0.11	-8.49	63.19	120.89
679	3709.82	14051.47	979981.24	979919.87	275.00 C	0.82	0.15	-11.56	85.71	118.91
680	3710.05	14051.28	979985.94	979920.19	250.00 C	0.95	0.32	-10.51	78.00	119.16
681	3710.78	14051.37	979966.13	979921.27	360.00 C	0.77	0.26	-15.12	111.93	119.28
682	3711.90	14051.26	979917.85	979922.89	600.00 C	0.90	0.10	-25.15	185.96	116.65
683	3713.51	14050.88	979933.08	979925.21	540.00 C	0.57	0.18	-22.64	167.45	117.08
684	3710.90	14052.05	979964.33	979921.43	370.00 C	1.19	0.64	-15.54	115.02	121.43
685	3711.29	14052.20	979956.90	979922.00	410.00 C	1.26	0.53	-17.21	127.35	121.23
686	3707.02	14050.34	979997.23	979915.80	200.00 C	0.56	0.24	-8.41	62.57	123.75
687	3706.63	14049.43	979969.09	979915.24	330.00 C	0.85	0.26	-13.86	102.68	122.57
688	3706.40	14050.17	979998.65	979914.90	190.00 C	0.57	0.04	-7.99	59.49	123.57
689	3705.75	14030.20	979938.75	979913.96	430.00 C	0.19	0.23	-18.05	133.52	111.42
690	3707.92	14030.49	979935.11	979917.11	445.00 C	0.27	0.31	-18.68	138.15	108.01
691	3707.90	14031.51	979899.99	979917.08	616.00 TP	0.69	0.20	-25.81	190.90	107.48
692	3708.36	14032.18	979926.73	979917.76	508.00 C	0.18	0.37	-21.31	157.58	111.33
693	3708.89	14034.09	979922.83	979918.52	505.00 C	0.17	0.06	-21.18	156.66	105.24
694	3708.04	14033.96	979911.87	979917.28	597.00 C	0.40	0.15	-25.02	185.04	114.52

Table A-1 continued (13)

no.	ϕ_0	θ_0	g	γ_0	H_0	T_0 (1.0)	T_i (1.0)	B (1.0)	$F+A$	g_B (2.66)	
695	3707.87	14034.44	979935.11	979917.04	482.00	C	0.30	0.49	-20.22	149.56	115.96
696	3707.28	14036.74	979917.81	979916.19	600.00	C	0.32	0.20	-25.15	185.96	122.06
697	3706.88	14037.13	979879.93	979915.61	767.40	TP	1.41	0.49	-32.12	237.59	121.54
698	3707.13	14037.59	979903.97	979915.96	660.00	C	0.42	0.03	-27.65	204.47	120.14
699	3705.29	14036.11	979933.41	979913.30	515.00	C	0.24	0.08	-21.60	159.74	123.23
700	3704.90	14034.92	979952.61	979912.74	390.00	C	0.61	0.35	-16.37	121.19	120.04
701	3703.67	14035.67	979963.51	979910.95	340.00	C	0.74	0.72	-14.28	105.76	124.23
702	3704.34	14036.32	979942.09	979911.93	470.00	C	0.31	0.08	-19.72	145.86	124.59
703	3706.16	14038.69	979907.25	979914.56	665.00	C	0.65	0.19	-27.86	206.01	126.84
704	3705.84	14038.94	979934.99	979914.10	535.00	C	0.37	0.36	-22.43	165.91	129.05
705	3704.36	14033.66	979884.39	979911.95	669.10	TP	2.06	2.34	-28.03	207.27	116.88
706	3700.87	14035.76	979863.20	979906.89	841.80	TP	2.36	0.56	-35.21	260.54	130.98
707	3700.35	14038.98	979965.57	979906.14	407.00	SH	0.63	0.73	-17.09	126.43	144.04
708	3700.99	14037.92	979910.22	979907.07	651.70	TP	1.42	0.51	-27.30	201.91	137.56
709	3700.14	14038.08	979945.40	979905.84	490.00	C	0.43	0.37	-20.56	152.03	139.03
710	3704.95	14037.47	979889.26	979912.80	734.40	TP	1.66	1.03	-30.74	227.41	129.24
711	3700.72	14051.00	980029.26	979906.68	13.60	BM	0.27	0.05	-0.57	5.07	126.96
712	3701.24	14051.29	980025.09	979907.43	28.50	BM	0.28	0.42	-1.20	9.66	125.98
713	3702.15	14051.91	980026.50	979908.75	10.80	BM	0.29	0.01	-0.45	4.20	121.54
714	3701.25	14047.95	979915.46	979907.44	593.60	TP	4.12	0.57	-24.88	183.99	138.27
715	3704.61	14049.25	980010.60	979912.31	143.90	TP	0.56	0.24	-6.05	45.27	129.55
716	3704.14	14049.93	980028.18	979911.63	45.00	SH	0.56	0.06	-1.90	14.75	127.90
717	3703.94	14051.01	980028.86	979911.34	17.00	SH	0.42	0.02	-0.72	6.12	122.87
718	3703.47	14050.17	980028.91	979910.66	39.00	SH	0.47	0.05	-1.64	12.90	128.17
719	3705.42	14050.50	980011.61	979913.48	123.60	TP	0.48	0.29	-5.20	39.00	125.33
720	3705.23	14049.69	979978.29	979913.21	278.90	TP	0.98	0.83	-11.72	86.91	125.60
721	3703.67	14038.08	979955.50	979910.96	445.00	C	0.54	0.52	-18.68	138.15	135.82
1001	3725.48	14032.65	979941.01	979942.61	425.00	C	0.12	0.02	-17.84	131.98	83.28
1002	3724.70	14033.03	979939.10	979941.47	435.00	C	0.12	0.01	-18.26	135.06	84.46
1003	3724.06	14032.56	979938.81	979940.55	426.00	SH	0.14	0.03	-17.88	132.29	83.41
1004	3723.29	14033.30	979934.10	979939.43	444.00	SH	0.21	0.01	-18.63	137.84	83.54
1005	3723.71	14034.27	979936.27	979940.04	452.00	SH	0.16	0.01	-18.97	140.31	86.54
1006	3723.49	14035.32	979942.09	979939.72	442.00	SH	0.18	0.01	-18.55	137.22	90.74
1007	3721.98	14035.14	979920.86	979937.53	530.00	C	0.45	0.09	-22.23	164.37	90.01
1008	3722.28	14032.79	979855.59	979937.96	798.00	SH	2.90	0.99	-33.39	247.03	86.20
1009	3721.80	14033.69	979843.74	979937.26	864.50	TP	2.95	0.76	-36.15	267.54	87.73
1010	3721.08	14035.12	979840.66	979936.22	884.40	TP	3.01	0.47	-36.98	273.68	88.99
1011	3721.67	14031.69	979930.79	979937.08	432.90	BM	0.24	0.02	-18.17	134.42	80.50
1012	3721.12	14030.44	979907.04	979936.27	517.10	TP	0.41	0.33	-21.69	160.39	75.44
1013	3725.50	14031.30	979940.34	979942.65	390.00	C	0.12	0.03	-16.37	121.18	75.71
1014	3725.71	14030.23	979939.34	979942.95	382.00	C	0.13	0.03	-16.04	118.72	72.87
1015	3723.69	14030.28	979948.62	979940.01	323.00	SH	0.21	0.03	-13.57	100.52	73.68
1016	3722.84	14030.17	979941.81	979938.77	350.00	SH	0.21	0.26	-14.70	108.84	74.03
1017	3723.23	14031.58	979934.25	979939.35	425.00	C	0.16	0.03	-17.84	131.98	79.94
1018	3726.74	14030.03	979948.20	979944.44	340.00	C	0.14	0.03	-14.28	105.76	71.97
1019	3727.10	14031.82	979949.73	979944.97	375.00	SH	0.14	0.03	-15.75	116.56	79.88
1020	3728.15	14031.29	979942.63	979946.50	391.00	SH	0.12	0.02	-16.42	121.49	74.33
1021	3728.64	14030.33	979946.86	979947.20	361.00	C	0.13	0.02	-15.16	112.24	71.95
1022	3729.76	14030.14	979954.87	979948.84	319.00	SH	0.17	0.07	-13.40	99.28	70.91
1023	3729.84	14031.36	979941.61	979948.96	384.00	SH	0.15	0.19	-16.12	119.33	70.00

Table A-1 continued (14)

no.	ϕ_0	θ_0	g	γ_0	H_0	T_0	T_i	B	$F+A$	g_B	
						(1.0)	(1.0)	(1.0)		(2.66)	
1024	3729.14	14032.99	979954.54	979947.93	352.00	SH	0.19	0.06	-14.78	109.46	77.41
1025	3728.55	14034.67	979954.20	979947.09	393.00	SH	0.21	0.03	-16.50	122.11	85.96
1026	3729.39	14034.92	979955.49	979948.30	396.00	SH	0.21	0.01	-16.63	123.03	86.61
1028	3728.88	14035.63	979942.67	979947.56	469.00	C	0.34	0.05	-19.68	145.55	89.38
1029	3727.74	14036.20	979947.79	979945.91	443.00	SH	0.43	0.08	-18.59	137.53	91.30
1030	3727.63	14033.37	979943.00	979945.74	436.00	SH	0.13	0.02	-18.30	135.37	84.36
1031	3727.25	14034.87	979940.60	979945.18	452.40	TP	0.15	0.10	-18.98	140.43	86.02
1032	3737.27	14036.70	979948.94	979959.78	440.00	C	0.56	0.52	-18.47	136.61	79.52
1033	3737.01	14034.89	979935.80	979959.40	500.00	C	0.67	0.80	-20.97	155.11	79.64
1034	3735.99	14035.12	979962.19	979957.92	369.00	SH	0.44	0.02	-15.50	114.71	78.98
1035	3735.76	14033.15	979978.64	979957.58	260.00	C	0.37	0.10	-10.93	81.08	74.31
1036	3736.09	14031.88	979969.20	979958.06	295.00	SH	0.28	0.15	-12.40	91.88	71.19
1037	3735.51	14031.09	979988.37	979957.22	180.00	C	0.35	0.02	-7.57	56.40	68.39
1038	3734.39	14031.70	979972.34	979955.58	262.00	SH	0.21	0.09	-11.01	81.70	69.97
1039	3733.93	14030.74	979979.22	979954.91	210.00	SH	0.29	0.07	-8.83	65.66	67.44
1040	3732.35	14030.10	979967.39	979952.61	265.00	C	0.19	0.06	-11.14	82.62	68.45
1041	3733.13	14031.40	979974.52	979953.74	231.00	SH	0.28	0.14	-9.71	72.14	68.19
1042	3732.65	14032.90	979943.78	979953.04	391.30	TP	0.32	0.19	-16.43	121.58	69.97
1043	3733.46	14033.75	979949.44	979954.23	386.80	TP	0.37	0.33	-16.24	120.20	74.07
1044	3734.74	14034.07	979966.05	979956.08	325.00	SH	0.26	0.04	-13.65	101.13	75.58
1045	3731.48	14031.18	979947.81	979951.35	350.00	C	0.18	0.03	-14.70	108.84	66.76
1046	3730.51	14030.11	979955.96	979949.93	310.00	C	0.16	0.02	-13.02	96.51	68.35
1047	3730.66	14031.67	979942.36	979950.15	378.00	C	0.16	0.02	-15.87	117.48	67.96
1048	3730.53	14032.91	979957.85	979949.96	318.00	C	0.21	0.04	-13.36	98.97	72.00
1049	3730.44	14034.80	979948.39	979949.84	422.00	SH	0.16	0.02	-17.71	131.06	82.97
1050	3731.41	14033.47	979957.86	979951.24	328.00	C	0.20	0.05	-13.78	102.06	72.68
1051	3731.65	14034.62	979957.26	979951.59	361.00	SH	0.19	0.08	-15.16	112.24	78.29
1052	3732.08	14035.43	979960.10	979952.22	370.00	SH	0.22	0.11	-15.54	115.01	82.45
1053	3732.72	14035.91	979966.48	979953.15	350.00	SH	0.39	0.06	-14.70	108.84	84.28
1054	3733.13	14036.93	979939.47	979953.75	507.00	SH	0.49	0.09	-21.27	157.27	87.98
1055	3734.30	14036.31	979959.54	979955.45	400.00	C	0.52	0.09	-16.79	124.27	85.29
1056	3731.71	14037.31	979953.09	979951.68	430.00	C	0.26	0.27	-18.05	133.52	88.31
1057	3730.97	14036.60	979951.10	979950.60	430.00	C	0.20	0.02	-18.05	133.52	86.61
1058	3730.96	14038.03	979946.06	979950.58	481.00	C	0.26	0.18	-20.18	149.25	92.23
1059	3731.27	14038.96	979948.74	979951.05	482.00	C	0.34	0.05	-20.22	149.56	94.52
1060	3730.45	14042.53	979931.68	979949.84	580.00	C	0.45	0.08	-24.31	179.79	98.35
1061	3730.24	14043.96	979947.98	979949.54	504.00	SH	0.50	0.03	-21.14	156.35	99.95
1062	3731.25	14044.72	979946.79	979951.01	520.00	C	0.47	0.08	-21.81	161.28	100.51
1063	3731.78	14043.22	979930.89	979951.78	580.00	C	0.65	0.09	-24.31	179.79	96.17
1064	3731.66	14041.97	979909.06	979951.60	680.00	C	0.57	0.32	-28.48	210.63	94.71
1065	3730.89	14040.48	979943.30	979950.48	500.00	C	0.49	0.06	-20.97	155.12	93.60
1066	3733.58	14037.65	979853.30	979954.41	897.10	TP	4.15	1.21	-37.50	277.59	90.99
1067	3732.02	14039.86	979880.73	979952.13	795.00	SH	1.83	0.75	-33.26	246.10	93.07
1068	3732.39	14041.23	979821.02	979952.67	1057.60	TP	4.74	0.88	-44.15	327.09	92.92
1069	3732.65	14038.38	979951.80	979953.05	450.00	C	0.48	0.08	-18.88	139.69	89.68
1070	3733.29	14039.25	979956.65	979953.98	441.00	C	0.56	0.10	-18.51	136.91	92.10
1071	3733.47	14040.70	979945.67	979954.24	520.00	C	0.52	0.05	-21.81	161.28	96.20
1072	3734.18	14042.98	979885.42	979955.27	821.40	TP	1.85	0.33	-34.36	254.24	98.78
1073	3733.55	14042.45	979931.47	979954.35	591.00	SH	0.44	0.04	-24.77	183.18	95.70
1074	3733.04	14043.48	979945.44	979953.62	507.00	SH	0.74	0.11	-21.27	157.27	94.78

Table A-1 continued (15)

no.	ϕ_o	θ_o	g	γ_o	H_o	T_o	T_i	B	$F+A$	g_B	
						(1.0)	(1.0)	(1.0)		(2.66)	
1075	3732.93	14044.38	979960.78	979953.46	450.00	C	0.70	0.05	-18.88	139.69	98.76
1076	3734.15	14044.22	979955.83	979955.23	490.00	SH	0.61	0.21	-20.56	152.03	100.13
1077	3733.40	14045.58	979972.57	979954.14	412.00	SH	0.56	0.05	-17.30	127.97	102.01
1078	3732.86	14045.18	979945.34	979953.35	543.00	SH	0.50	0.23	-22.77	168.38	101.75
1079	3732.67	14046.96	979950.31	979953.08	520.00	C	0.48	0.08	-21.81	161.28	101.99
1080	3732.70	14048.62	979958.20	979953.13	488.00	C	0.37	0.04	-20.47	151.41	103.13
1081	3733.75	14048.36	979985.22	979954.65	353.00	SH	0.54	0.22	-14.83	109.77	102.92
1082	3733.45	14049.45	979993.68	979954.21	320.00	SH	0.73	0.16	-13.44	99.59	105.67
1083	3732.17	14051.03	980009.36	979952.35	246.00	SH	1.02	0.30	-10.34	76.76	109.78
1084	3732.22	14052.10	980021.27	979952.43	200.00	C	0.91	0.59	-8.41	62.57	113.03
1085	3730.61	14053.43	980041.32	979950.08	100.00	C	1.21	0.47	-4.21	31.72	116.22
1086	3730.05	14055.09	980056.61	979949.26	60.00	C	0.92	0.51	-2.53	19.38	123.81
1087	3730.07	14056.40	980061.81	979949.29	40.00	C	0.42	0.01	-1.68	13.21	122.38
1088	3731.26	14045.20	979947.41	979951.03	524.00	SH	0.45	0.06	-21.98	162.52	101.80
1089	3731.33	14046.38	979939.45	979951.13	567.00	SH	0.38	0.06	-23.77	175.78	102.04
1090	3730.28	14046.70	979955.38	979949.60	473.00	SH	0.44	0.22	-19.85	146.79	101.51
1091	3730.51	14048.34	979942.20	979949.94	560.00	C	0.35	0.10	-23.48	173.62	104.60
1092	3731.48	14048.59	979946.77	979951.35	540.00	C	0.34	0.16	-22.64	167.45	103.96
1093	3730.95	14049.72	979956.54	979950.57	505.00	C	0.44	0.07	-21.18	156.66	107.64
1094	3730.80	14051.19	979996.72	979950.36	306.00	SH	0.91	0.31	-12.86	95.27	110.67
1095	3734.22	14047.20	979974.55	979955.34	415.00	SH	0.32	0.15	-17.42	128.90	103.00
1096	3735.68	14045.16	979952.45	979957.45	520.00	C	0.42	0.16	-21.81	161.28	99.81
1097	3735.09	14045.69	979941.97	979956.60	578.00	SH	0.45	0.55	-24.23	179.17	102.74
1098	3734.62	14045.70	979946.78	979955.91	548.00	C	0.37	0.15	-22.98	169.92	101.06
1099	3736.58	14045.16	979958.63	979958.78	492.00	SH	0.47	0.01	-20.64	152.65	98.89
1100	3737.58	14044.59	979931.73	979960.23	626.00	SH	0.49	0.10	-26.23	193.98	97.26
1101	3736.41	14043.81	979941.26	979958.52	550.00	SH	0.60	0.06	-23.06	170.54	93.69
1102	3736.67	14042.84	979930.16	979958.91	605.00	C	0.45	0.03	-25.36	187.50	92.58
1103	3737.63	14043.04	979934.26	979960.30	600.00	C	0.43	0.04	-25.15	185.96	94.30
1104	3738.49	14042.60	979942.79	979961.56	560.00	SH	0.39	0.09	-23.48	173.62	93.67
1105	3736.83	14041.69	979926.49	979959.14	630.00	C	0.38	0.07	-26.40	195.21	93.53
1106	3737.54	14041.61	979929.56	979960.17	615.00	SH	0.39	0.03	-25.77	190.59	92.51
1107	3737.77	14039.86	979930.64	979960.51	590.00	C	0.51	0.18	-24.73	182.87	89.03
1108	3738.60	14039.46	979938.33	979961.71	540.00	C	0.63	0.09	-22.64	167.45	85.76
1109	3737.82	14038.63	979955.82	979960.57	443.00	SH	0.53	0.25	-18.59	137.53	85.39
1110	3736.76	14037.58	979924.29	979959.03	590.00	C	0.62	0.29	-24.73	182.87	84.77
1111	3736.95	14039.12	979936.26	979959.31	552.00	SH	0.33	0.05	-23.14	171.15	87.56
1112	3734.98	14040.98	979953.40	979956.44	500.00	C	0.35	0.09	-20.97	155.11	97.44
1113	3734.92	14043.22	979937.94	979956.35	564.00	SH	0.55	0.09	-23.65	174.85	95.25
1114	3735.32	14042.15	979932.26	979956.94	600.00	C	0.34	0.05	-25.15	185.96	95.44
1115	3736.09	14040.97	979940.47	979958.06	550.00	C	0.35	0.06	-23.06	170.54	92.68
1116	3735.54	14040.04	979942.25	979957.25	548.00	SH	0.30	0.13	-22.98	169.92	94.93
1117	3734.83	14039.28	979939.60	979956.23	550.00	SH	0.35	0.04	-23.06	170.54	93.60
1118	3735.81	14038.35	979933.61	979957.65	566.00	C	0.34	0.04	-23.73	175.47	89.34
1119	3739.41	14038.65	979959.61	979962.90	418.00	SH	0.66	0.06	-17.55	129.82	81.78
1120	3738.61	14041.02	979925.85	979961.74	628.00	SH	0.58	0.05	-26.31	194.59	90.40
1121	3739.38	14041.17	979931.02	979962.85	595.00	C	0.72	0.18	-24.94	184.42	88.65
1122	3739.62	14042.22	979959.72	979963.20	473.00	SH	0.48	0.03	-19.85	146.79	91.86
1123	3739.32	14044.52	979968.47	979962.77	453.00	SH	0.34	0.05	-19.01	140.62	96.79
1124	3739.23	14045.93	979966.78	979962.64	478.00	SH	0.35	0.08	-20.05	148.33	100.26

阿武隈地域の重力異常について (村田 ほか)

Table A-1 continued (16)

no.	ϕ_0	θ_0	g	γ_0	H_0	T_0	T_i	B	$F+A$	g_B	
						(1.0)	(1.0)	(1.0)		(2.66)	
1125	3739.76	14047.30	979979.49	979963.41	433.00	C	0.29	0.02	-18.17	134.45	103.03
1126	3739.56	14048.35	979980.42	979963.11	442.00	C	0.40	0.24	-18.55	137.22	106.89
1127	3739.27	14049.22	979982.15	979962.70	445.00	C	0.43	0.53	-18.68	138.15	110.47
1128	3738.31	14057.61	980080.61	979961.29	26.60	SH	0.16	0.00	-1.12	9.08	125.84
1129	3739.92	14057.88	980076.30	979963.64	41.30	BM	0.13	0.01	-1.74	13.61	122.03
1130	3739.86	14055.58	980079.22	979963.55	40.00	SH	0.27	0.00	-1.68	13.21	125.13
1131	3739.08	14058.53	980083.75	979962.42	17.00	SH	0.13	0.	-0.72	6.12	125.87
1132	3738.82	14059.86	980086.02	979962.04	7.00	SH	0.10	0.	-0.30	3.03	126.48
1133	3738.99	14101.10	980086.07	979962.29	5.00	SH	0.08	0.02	-0.21	2.41	125.88
1134	3738.19	14100.22	980086.34	979961.12	6.00	SH	0.09	0.00	-0.25	2.72	127.51
1135	3737.59	14100.80	980086.19	979960.24	6.00	SH	0.08	0.00	-0.25	2.72	128.21
1136	3736.46	14100.54	980085.30	979958.59	12.90	BM	0.09	0.01	-0.54	4.85	130.36
1137	3735.55	14101.03	980084.52	979957.26	3.00	SH	0.10	0.02	-0.13	1.80	129.01
1138	3735.17	14058.87	980086.66	979956.72	15.00	BM	0.16	0.01	-0.63	5.50	134.20
1139	3736.30	14057.71	980083.21	979958.36	24.00	SH	0.20	0.00	-1.01	8.28	130.95
1140	3736.44	14059.29	980086.28	979958.56	12.00	SH	0.13	0.00	-0.51	4.57	131.29
1141	3737.67	14059.77	980084.92	979960.36	16.00	SH	0.10	0.00	-0.67	5.81	128.84
1142	3737.50	14058.20	980069.90	979960.11	75.20	TP	0.20	0.10	-3.17	24.07	126.23
1143	3739.78	14052.42	980057.60	979963.44	100.00	C	1.12	0.29	-4.21	31.72	118.43
1144	3739.61	14054.01	980071.70	979963.18	58.80	TP	0.55	0.00	-2.48	19.01	122.41
1145	3730.72	14057.34	980064.04	979950.24	47.00	SH	0.25	0.00	-1.98	15.37	124.56
1146	3730.84	14058.77	980059.02	979950.41	65.50	TP	0.20	0.39	-2.76	21.08	123.91
1147	3731.17	14059.70	980074.44	979950.89	4.00	SH	0.17	0.00	-0.17	2.10	125.65
1148	3730.33	14100.08	980064.66	979949.67	28.40	BM	0.14	0.01	-1.20	9.63	121.81
1149	3730.22	14101.64	980062.24	979949.51	24.00	SH	0.11	0.00	-1.01	8.28	118.58
1150	3731.26	14101.44	980071.75	979951.02	0.	SH	0.11	0.00	0.	0.87	121.89
1151	3732.64	14100.86	980077.93	979953.04	4.00	SH	0.11	0.02	-0.17	2.10	126.90
1152	3732.54	14101.82	980075.13	979952.89	4.00	SH	0.09	0.00	-0.17	2.10	124.14
1153	3733.20	14100.19	980081.91	979953.85	5.00	SH	0.13	0.00	-0.21	2.41	130.24
1154	3734.09	14101.61	980079.91	979955.15	1.00	SH	0.09	0.00	-0.04	1.18	126.06
1155	3734.91	14100.73	980083.67	979956.33	8.60	BM	0.10	0.01	-0.36	3.52	130.17
1156	3734.09	14059.15	980085.95	979955.15	11.90	BM	0.16	0.01	-0.50	4.54	134.45
1157	3733.72	14058.36	980085.47	979954.60	9.00	SH	0.20	0.01	-0.38	3.65	134.06
1158	3734.82	14056.90	980076.47	979956.21	43.00	SH	0.26	0.02	-1.81	14.14	130.33
1159	3738.25	14052.48	979955.11	979961.21	584.60	TP	2.60	0.70	-24.50	181.21	118.70
1160	3737.55	14053.21	980042.70	979960.18	162.00	C	1.11	0.72	-6.82	50.85	120.10
1161	3732.47	14056.88	980068.75	979952.79	45.00	SH	0.28	0.00	-1.90	14.75	126.41
1162	3732.60	14058.16	980076.58	979952.98	27.00	SH	0.21	0.00	-1.14	9.20	130.32
1163	3731.99	14058.89	980055.81	979952.09	99.30	TP	0.29	0.34	-4.18	31.51	125.77
1164	3733.71	14056.90	980071.93	979954.59	50.00	C	0.25	0.01	-2.11	16.30	128.72
1165	3737.49	14056.38	980074.80	979960.10	45.00	SH	0.24	0.00	-1.90	14.75	125.04
1166	3738.93	14056.12	980078.63	979962.20	37.00	SH	0.24	0.00	-1.56	12.29	125.20
1167	3738.84	14054.36	980068.53	979962.07	76.00	SH	0.57	0.05	-3.20	24.32	123.90
1168	3738.24	14051.14	980022.81	979961.19	260.00	C	1.04	0.65	-10.93	81.08	118.12
1169	3738.74	14049.90	980011.69	979961.91	278.00	C	1.16	1.64	-11.68	86.63	112.77
1170	3736.70	14050.79	979956.03	979958.94	581.00	C	0.75	0.03	-24.35	180.10	114.47
1171	3737.73	14051.79	980024.99	979960.45	260.00	C	1.09	0.47	-10.93	81.08	120.67
1172	3737.63	14054.50	980065.44	979960.30	83.00	SH	0.58	0.07	-3.49	26.48	124.04
1173	3736.15	14054.99	980060.26	979958.14	102.00	SH	0.46	0.01	-4.29	32.34	124.30
1174	3735.94	14056.22	980073.89	979957.84	45.00	SH	0.32	0.01	-1.90	14.75	126.63

Table A-1 continued (17)

no.	ϕ_0	θ_0	g	γ_0	H_0	T_0	T_i	B	$F+A$	g_B	
						(1.0)	(1.0)	(1.0)		(2.66)	
1175	3734.51	14055.16	980052.75	979955.76	129.00	C	0.57	0.10	-5.43	40.67	124.97
1176	3738.52	14044.13	979959.15	979961.60	495.00	C	0.34	0.06	-20.76	153.57	96.95
1177	3738.21	14045.73	979959.81	979961.15	504.00	SH	0.38	0.05	-21.14	156.35	99.92
1178	3737.47	14046.65	979957.06	979960.07	530.00	C	0.36	0.04	-22.23	164.37	103.31
1179	3738.70	14048.27	979975.90	979961.86	460.00	C	0.29	0.04	-19.30	142.78	106.35
1180	3737.89	14047.83	979981.74	979960.68	423.00	C	0.39	0.24	-17.75	131.36	106.87
1181	3737.31	14048.80	979988.84	979959.83	380.00	C	0.56	0.20	-15.96	118.10	106.67
1182	3736.05	14046.88	979965.84	979958.01	474.00	C	0.33	0.14	-19.89	147.09	103.26
1183	3735.22	14047.53	979971.07	979956.79	442.00	SH	0.40	0.06	-18.55	137.22	103.40
1184	3736.62	14048.45	979977.96	979958.83	428.00	C	0.43	0.09	-17.96	132.91	105.61
1185	3735.75	14049.54	979978.82	979957.57	429.00	C	0.54	0.40	-18.01	133.21	109.05
1186	3735.43	14050.64	979995.19	979957.09	343.00	C	0.68	0.20	-14.41	106.69	108.80
1187	3734.71	14052.34	980022.69	979956.05	210.00	SH	1.08	0.70	-8.83	65.66	113.55
1188	3733.63	14052.85	980026.38	979954.47	204.00	C	0.92	0.25	-8.58	63.81	116.00
1189	3734.55	14053.23	980035.89	979955.81	159.00	C	1.28	0.79	-6.69	49.92	117.71
1190	3735.90	14053.36	980028.42	979957.78	215.00	C	0.98	1.09	-9.04	67.20	119.29
1191	3735.47	14054.35	980046.66	979957.16	150.00	C	0.62	0.27	-6.31	47.15	122.22
1192	3733.50	14055.34	980054.05	979954.29	115.00	SH	0.63	0.16	-4.84	36.35	125.34
1193	3741.48	14045.81	979978.83	979965.91	440.00	SH	0.24	0.02	-18.47	136.61	101.10
1194	3740.69	14045.21	979975.14	979964.76	440.00	C	0.26	0.08	-18.47	136.61	98.77
1195	3742.25	14045.80	979978.43	979967.04	442.00	SH	0.25	0.01	-18.55	137.22	99.94
1196	3743.48	14047.04	979991.21	979968.83	381.00	C	0.46	0.23	-16.00	118.41	100.06
1197	3743.34	14048.29	980005.35	979968.63	332.00	C	0.54	0.28	-13.95	103.29	105.09
1198	3744.44	14048.08	980024.44	979970.22	225.00	C	1.22	0.22	-9.46	70.28	103.17
1199	3742.73	14050.85	980062.99	979967.74	105.00	C	1.79	0.84	-4.42	33.26	123.75
1200	3743.16	14052.19	980076.52	979968.37	72.00	SH	0.83	0.04	-3.03	23.08	125.49
1201	3743.32	14052.89	980076.24	979968.60	57.00	SH	0.62	0.02	-2.40	18.46	121.42
1202	3742.21	14052.82	980053.69	979966.98	160.00	C	0.51	0.38	-6.73	50.23	121.40
1203	3744.35	14052.93	980055.69	979970.09	170.00	C	0.56	0.46	-7.15	53.32	122.59
1204	3744.05	14054.68	980085.27	979969.67	48.00	SH	0.29	0.05	-2.02	15.68	126.81
1205	3743.24	14054.56	980071.45	979968.49	106.00	C	0.27	0.05	-4.46	33.57	125.51
1206	3743.84	14055.86	980085.55	979969.35	27.00	SH	0.18	0.00	-1.14	9.20	122.85
1207	3742.88	14056.35	980084.73	979967.95	18.00	SH	0.18	0.00	-0.76	6.42	121.66
1208	3742.49	14055.66	980082.28	979967.38	40.00	SH	0.23	0.01	-1.68	13.21	124.26
1209	3742.02	14054.57	980066.42	979966.70	110.00	C	0.30	0.05	-4.63	34.81	123.12
1210	3741.13	14055.91	980078.45	979965.40	42.00	SH	0.23	0.00	-1.77	13.83	122.78
1211	3740.49	14053.81	980063.33	979964.47	101.00	SH	0.51	0.16	-4.25	32.03	121.37
1212	3740.54	14051.65	980043.92	979964.54	174.00	SH	1.07	0.19	-7.32	54.55	117.80
1213	3741.09	14050.61	980033.60	979965.35	232.00	SH	1.15	0.20	-9.75	72.44	118.31
1214	3741.13	14048.41	979971.78	979965.40	500.00	C	0.36	0.05	-20.97	155.11	106.78
1215	3741.28	14046.58	979977.65	979965.61	449.00	SH	0.27	0.09	-18.84	139.38	102.25
1216	3740.49	14046.64	979980.07	979964.47	431.00	C	0.27	0.03	-18.09	133.83	102.10
1217	3741.41	14053.56	980064.89	979965.82	93.00	SH	0.57	0.07	-3.91	29.56	119.93
1218	3740.20	14055.76	980076.50	979964.04	49.00	SH	0.24	0.01	-2.06	15.99	123.61
1219	3741.62	14057.52	980081.74	979966.12	20.00	SH	0.13	0.00	-0.84	7.04	120.77
1220	3740.26	14058.08	980078.44	979964.14	35.00	SH	0.13	0.08	-1.47	11.67	122.61
1221	3740.53	14100.84	980089.14	979964.52	2.00	SH	0.07	0.00	-0.08	1.49	126.07
1222	3741.62	14100.79	980090.96	979966.11	3.00	C	0.07	0.00	-0.13	1.80	126.48
1223	3741.29	14058.99	980087.80	979965.64	5.00	C	0.10	0.	-0.21	2.41	124.27
1224	3742.18	14059.61	980089.90	979966.94	6.00	SH	0.08	0.00	-0.25	2.72	125.21

阿武隈地域の重力異常について (村田 ほか)

Table A-1 continued (18)

no.	ϕ_0	θ_0	g	γ_0	H_0	T_0 (1.0)	T_i (1.0)	B (1.0)	$F+A$	g_B (2.66)
1225	3745.02	14100.06	980098.03	979971.08	4.00 C	0.07	0.01	-0.17	2.10	128.82
1226	3743.61	14100.57	980093.75	979969.01	5.00 C	0.07	0.02	-0.21	2.41	126.80
1227	3743.82	14059.52	980095.38	979969.33	2.00 SH	0.08	0.	-0.08	1.49	127.50
1228	3743.72	14058.08	980093.49	979969.18	5.00 SH	0.11	0.01	-0.21	2.41	126.45
1229	3742.72	14057.81	980087.03	979967.73	13.40 BM	0.12	0.00	-0.56	5.00	123.11
1230	3743.72	14056.87	980070.14	979969.17	86.70 TP	0.25	0.23	-3.65	27.62	120.15
1231	3734.40	14045.47	979954.08	979955.59	510.00 C	0.35	0.09	-21.39	158.20	100.95
1232	3741.66	14044.60	979976.08	979966.18	437.00 SH	0.21	0.02	-18.34	135.68	97.40
1233	3740.47	14044.01	979968.31	979964.44	455.00 C	0.22	0.03	-19.09	141.23	94.97
1234	3740.58	14042.24	979956.02	979964.60	490.00 SH	0.47	0.16	-20.56	152.03	90.45
1235	3741.98	14042.01	979958.28	979966.65	474.00 SH	0.38	0.07	-19.89	147.09	87.04
1236	3742.69	14041.66	979956.81	979967.68	477.00 SH	0.33	0.01	-20.01	148.02	84.81
1237	3743.56	14041.30	979950.80	979968.94	504.00 SH	0.42	0.09	-21.14	156.35	83.33
1238	3743.93	14042.96	979971.53	979969.49	429.00 C	0.38	0.06	-18.01	133.21	88.53
1239	3743.97	14044.89	979985.41	979969.54	392.00 SH	0.41	0.07	-16.46	121.80	95.16
1240	3744.03	14045.65	979989.54	979969.64	381.00 SH	0.41	0.08	-16.00	118.41	97.06
1241	3744.51	14046.86	980008.02	979970.33	286.00 SH	1.03	0.36	-12.02	89.10	98.53
1242	3743.07	14043.60	979973.88	979968.23	436.00 SH	0.34	0.06	-18.30	135.37	93.42
1243	3741.34	14041.56	979956.69	979965.70	475.00 SH	0.44	0.09	-19.93	147.40	86.80
1244	3740.21	14039.68	979923.98	979964.06	600.00 C	0.96	0.37	-25.15	185.96	82.51
1245	3740.82	14039.67	979945.66	979964.94	498.00 SH	0.58	0.07	-20.89	154.50	81.39
1246	3740.23	14037.89	979986.84	979964.09	261.00 SH	0.65	0.08	-10.97	81.39	76.89
1247	3741.27	14038.33	979957.07	979965.60	426.00 SH	0.60	0.31	-17.88	132.29	78.63
1248	3742.31	14038.61	979971.40	979967.13	361.00 SH	0.48	0.08	-15.16	112.24	77.68
1249	3743.36	14040.13	979957.18	979968.66	450.00 C	0.60	0.32	-18.88	139.69	80.43
1250	3744.33	14039.00	979992.12	979970.07	265.00 SH	0.63	0.31	-11.14	82.62	77.53
1251	3744.64	14037.93	979975.72	979970.52	334.40 TP	0.67	0.34	-14.05	104.03	74.56
1252	3741.65	14040.44	979948.42	979966.17	496.00 SH	0.35	0.04	-20.81	153.88	81.82
1253	3744.80	14057.47	980088.44	979970.76	30.10 BM	0.10	0.01	-1.27	10.16	124.74
1254	3745.37	14058.42	980095.33	979971.59	12.00 SH	0.09	0.02	-0.51	4.57	127.27
1255	3745.05	14059.97	980098.04	979971.13	4.00 SH	0.07	0.02	-0.17	2.10	128.80
1256	3745.88	14059.46	980098.99	979972.33	2.00 SH	0.07	0.00	-0.08	1.49	128.10
1257	3747.56	14059.32	980100.76	979974.78	4.00 SH	0.06	0.00	-0.17	2.10	127.79
1258	3748.62	14059.33	980101.15	979976.33	8.00 SH	0.06	0.02	-0.34	3.34	127.45
1259	3749.29	14058.89	980094.63	979977.30	31.10 TP	0.10	0.28	-1.31	10.46	125.29
1260	3746.49	14059.01	980099.56	979973.22	4.00 SH	0.07	0.00	-0.17	2.10	128.17
1261	3746.04	14057.12	980095.97	979972.57	4.00 SH	0.11	0.00	-0.17	2.10	125.36
1262	3745.32	14055.89	980087.56	979971.51	18.00 SH	0.16	0.02	-0.76	6.42	120.92
1263	3732.27	14053.38	979958.16	979952.50	507.10 TP	1.67	1.35	-21.27	157.30	114.41
1264	3732.58	14054.68	980032.09	979952.95	200.00 C	0.62	0.66	-8.41	62.57	122.75
1265	3731.67	14055.19	980047.89	979951.62	130.00 C	0.70	0.63	-5.47	40.98	126.23
1266	3745.13	14040.55	979983.48	979971.24	332.00 SH	0.82	0.51	-13.95	103.29	81.98
1267	3746.04	14039.40	979999.48	979972.57	240.00 C	0.63	0.27	-10.09	74.91	77.36
1268	3749.61	14039.96	980009.32	979977.77	220.00 C	0.61	0.08	-9.25	68.74	77.51
1269	3745.24	14043.23	979966.26	979971.39	471.00 SH	0.35	0.07	-19.76	146.17	89.58
1270	3745.71	14044.58	979963.50	979972.08	491.00 SH	0.31	0.03	-20.60	152.34	89.85
1271	3746.00	14043.47	979961.90	979972.51	490.00 SH	0.33	0.02	-20.56	152.03	87.67
1272	3746.83	14042.24	979951.82	979973.72	520.00 C	0.65	0.18	-21.81	161.28	83.57
1273	3747.38	14043.58	979972.28	979974.52	446.00 SH	0.45	0.15	-18.72	138.46	88.02
1274	3747.62	14045.51	979987.98	979974.88	402.00 SH	0.39	0.36	-16.88	124.89	95.07

Table A-1 continued (19)

no.	ϕ_o	θ_o	g	γ_o	H_o	T_o	T_i	B	$F+A$	g_B	
						(1.0)	(1.0)	(1.0)		(2.66)	
1275	3746.70	14047.97	980021.79	979973.53	244.00	SH	1.45	0.58	-10.26	76.14	102.51
1276	3746.80	14049.18	980043.24	979973.68	172.00	SH	1.34	0.28	-7.24	53.93	108.57
1277	3747.12	14050.68	980036.21	979974.14	260.00	C	0.73	0.57	-10.93	81.08	117.54
1278	3746.39	14050.17	980059.19	979973.08	129.00	SH	1.02	0.10	-5.43	40.67	115.30
1279	3749.02	14045.38	979975.15	979976.91	459.00	C	0.40	0.05	-19.26	142.47	90.67
1280	3749.62	14046.24	979994.94	979977.78	392.00	C	0.41	0.07	-16.46	121.80	96.45
1281	3748.33	14046.57	979966.64	979975.91	533.00	SH	0.58	0.01	-22.35	165.29	98.13
1282	3747.84	14047.80	979934.93	979975.19	672.10	TP	1.97	0.41	-28.15	208.20	99.37
1283	3748.99	14047.78	980001.47	979976.87	380.00	C	0.58	0.09	-15.96	118.10	102.02
1284	3749.95	14048.90	980040.27	979978.27	208.00	SH	0.44	0.01	-8.75	65.04	104.96
1285	3749.22	14049.33	980038.59	979977.20	225.00	C	0.67	0.30	-9.46	70.28	109.09
1286	3748.24	14049.69	980022.02	979975.78	314.00	SH	0.63	0.43	-13.19	97.74	111.71
1287	3745.39	14043.71	979965.71	979971.62	479.00	SH	0.33	0.06	-20.10	148.64	90.30
1288	3746.21	14045.05	979967.23	979972.81	480.00	SH	0.31	0.04	-20.14	148.94	90.74
1289	3746.04	14046.48	979975.30	979972.57	460.00	C	0.37	0.09	-19.30	142.78	95.40
1290	3745.96	14050.93	980072.80	979972.45	98.00	SH	0.97	0.08	-4.13	31.11	123.28
1291	3745.82	14052.08	980080.02	979972.24	77.00	SH	0.62	0.03	-3.24	24.63	125.51
1292	3744.96	14051.56	980057.39	979970.99	190.00	C	0.56	0.07	-7.99	59.49	126.30
1293	3746.46	14052.73	980087.50	979973.18	45.00	SH	0.64	0.07	-1.90	14.75	125.91
1294	3745.30	14053.80	980081.82	979971.48	70.00	C	0.33	0.04	-2.95	22.47	125.95
1295	3746.37	14054.93	980089.33	979973.05	22.00	SH	0.20	0.00	-0.93	7.66	122.02
1296	3747.35	14054.89	980092.60	979974.48	10.00	SH	0.20	0.00	-0.42	3.96	121.49
1297	3747.97	14055.67	980095.59	979975.38	6.00	SH	0.14	0.	-0.25	2.72	122.63
1298	3747.14	14057.27	980099.50	979974.17	5.00	SH	0.09	0.	-0.21	2.41	127.43
1299	3747.59	14058.38	980101.26	979974.82	4.00	SH	0.07	0.00	-0.17	2.10	128.27
1300	3747.89	14056.92	980099.37	979975.27	4.00	SH	0.10	0.	-0.17	2.10	126.02
1301	3748.82	14057.70	980095.49	979976.62	24.70	TP	0.08	0.08	-1.04	8.49	125.03
1302	3749.38	14057.74	980098.36	979977.44	18.00	SH	0.07	0.01	-0.76	6.42	125.54
1303	3748.44	14054.17	980088.78	979976.06	20.00	SH	0.20	0.00	-0.84	7.04	118.05
1304	3747.74	14053.11	980077.65	979975.05	80.00	SH	0.40	0.07	-3.37	25.55	120.45
1305	3752.57	14055.40	980094.06	979982.09	5.00	SH	0.08	0.00	-0.21	2.41	114.04
1306	3751.56	14055.24	980086.99	979980.63	29.80	TP	0.09	0.02	-1.25	10.06	113.39
1307	3751.36	14056.74	980096.57	979980.33	8.00	SH	0.07	0.01	-0.34	3.34	118.88
1308	3750.24	14057.65	980101.95	979978.69	5.00	SH	0.06	0.01	-0.21	2.41	125.30
1309	3750.12	14056.43	980097.80	979978.52	3.00	C	0.09	0.	-0.13	1.80	120.97
1310	3749.78	14056.33	980097.90	979978.03	2.10	TP	0.09	0.	-0.09	1.52	121.40
1311	3750.55	14055.68	980093.76	979979.15	9.00	SH	0.10	0.00	-0.38	3.65	117.51
1312	3750.56	14054.99	980090.33	979979.16	13.00	SH	0.11	0.00	-0.55	4.88	114.90
1313	3751.26	14053.89	980078.25	979980.18	46.00	SH	0.15	0.00	-1.94	15.06	108.36
1314	3750.33	14053.78	980081.34	979978.83	35.00	SH	0.18	0.00	-1.47	11.67	110.74
1315	3750.26	14052.23	980076.45	979978.73	100.00	C	0.39	0.22	-4.21	31.72	119.85
1316	3742.28	14047.69	979982.22	979967.08	435.00	C	0.43	0.35	-18.26	135.06	103.71
1317	3743.87	14049.91	980040.71	979969.40	200.00	C	1.05	0.32	-8.41	62.57	115.15
1318	3745.04	14045.50	979953.16	979971.10	560.00	C	0.53	0.08	-23.48	173.62	94.83
1319	3745.31	14048.36	979957.02	979971.50	562.00	C	1.04	0.08	-23.56	174.24	100.04
1320	3744.88	14049.25	979955.89	979970.87	578.00	C	1.59	0.12	-24.23	179.17	104.30
1321	3745.34	14048.11	979961.95	979971.54	543.00	C	0.85	0.04	-22.77	168.38	100.56
1322	3744.89	14052.20	980060.21	979970.88	160.00	C	0.59	0.23	-6.73	50.23	123.84
1323	3741.17	14049.17	979975.35	979965.47	500.00	C	0.47	0.03	-20.97	155.11	110.55
1324	3741.08	14047.99	979965.87	979965.32	525.00	C	0.36	0.03	-22.02	162.82	105.84

Table A-1 continued (20)

no.	ϕ_0	θ_0	g	γ_0	H_0	T_0	T_i	B	$F+A$	g_B	
						(1.0)	(1.0)	(1.0)		(2.66)	
1325	3741.88	14049.58	979960.01	979966.50	592.60	TP	1.52	0.38	-24.84	183.68	116.14
1326	3746.93	14041.68	979940.43	979973.87	565.00	SH	0.86	0.14	-23.69	175.16	81.36
1327	3747.68	14041.83	979891.74	979974.96	782.50	TP	2.93	0.68	-32.74	242.25	81.51
1328	3746.72	14040.89	979881.58	979973.56	791.90	TP	3.77	1.22	-33.14	245.15	78.30
1329	3746.05	14041.24	979880.06	979972.57	806.00	SH	3.58	1.16	-33.72	249.49	79.90
1330	3745.94	14041.43	979876.97	979972.42	824.00	C	3.80	0.78	-34.47	255.04	80.09
1331	3745.85	14041.65	979881.95	979972.29	804.70	TP	3.34	1.13	-33.67	249.09	81.07
1332	3747.54	14051.26	979986.44	979974.76	487.90	TP	1.58	0.50	-20.47	151.38	114.14
1333	3748.23	14051.42	980015.37	979975.76	380.00	C	0.95	0.14	-15.96	118.10	118.13
1334	3748.69	14051.83	980022.26	979976.44	345.80	TP	1.25	0.95	-14.52	107.55	120.59
1335	3749.33	14050.98	980045.83	979977.36	219.50	TP	0.35	0.28	-9.23	68.59	114.15
1336	3750.09	14051.51	980055.11	979978.47	210.00	C	0.32	0.22	-8.83	65.66	120.23
1337	3750.31	14052.84	980073.29	979978.80	70.00	SH	0.31	0.08	-2.95	22.47	110.17
1338	3749.75	14053.96	980085.74	979977.97	20.00	SH	0.20	0.00	-0.84	7.04	113.10
1339	3749.00	14053.53	980082.71	979976.89	32.00	SH	0.27	0.00	-1.35	10.74	113.70
1340	3748.99	14052.75	980082.06	979976.88	60.00	SH	0.43	0.08	-2.53	19.38	119.19
1341	3749.26	14054.94	980090.41	979977.26	17.00	SH	0.14	0.01	-0.72	6.12	117.74
1342	3748.71	14055.52	980093.53	979976.46	10.80	BM	0.13	0.01	-0.45	4.20	120.43
1343	3744.55	14100.31	980087.09	979970.39	40.00	C	0.10	0.03	-1.68	13.21	125.75
1349	3726.94	14048.51	979986.51	979944.73	347.00	C	0.43	0.07	-14.57	107.92	112.27
1350	3727.29	14048.80	979989.21	979945.24	329.00	C	0.54	0.48	-13.82	102.37	112.27
1351	3727.70	14049.36	979998.89	979945.85	281.00	C	0.80	0.47	-11.81	87.56	112.55
1352	3727.58	14050.35	980006.28	979945.67	238.00	C	1.40	0.66	-10.01	74.30	113.77
1353	3727.76	14051.10	980011.53	979945.93	205.00	C	1.73	1.27	-8.62	64.11	114.75
1354	3726.44	14050.18	979972.18	979944.01	418.00	C	0.47	0.21	-17.55	129.82	113.12
1355	3724.89	14051.07	979944.35	979941.76	558.00	C	0.47	0.17	-23.39	173.00	115.04
1356	3724.10	14052.32	979957.67	979940.60	502.00	SH	0.46	0.12	-21.06	155.73	118.31
1358	3725.17	14052.82	979944.46	979942.16	570.00	C	0.77	0.13	-23.90	176.71	117.81
1359	3724.58	14052.51	979955.75	979941.30	520.00	C	0.49	0.04	-21.81	161.28	119.11
1360	3723.68	14054.31	979981.48	979939.99	390.00	C	0.68	0.66	-16.37	121.18	122.64
1361	3723.64	14052.55	979958.35	979939.93	506.00	C	0.46	0.06	-21.22	156.97	120.29
1362	3725.31	14057.36	980046.27	979942.36	74.00	SH	0.43	0.05	-3.12	23.70	120.57
1363	3726.26	14056.87	980038.51	979943.75	117.00	SH	0.35	0.06	-4.92	36.97	119.70
1364	3726.28	14055.55	980029.60	979943.78	170.00	C	0.71	0.54	-7.15	53.32	123.41
1365	3727.92	14056.77	980061.56	979946.16	30.00	SH	0.44	0.01	-1.26	10.13	123.37
1366	3728.91	14056.82	980053.02	979947.61	76.00	SH	0.30	0.01	-3.20	24.32	122.02
1367	3718.44	14058.33	980037.47	979932.39	94.00	SH	0.53	0.05	-3.96	29.87	125.96
1368	3718.64	14057.22	980041.52	979932.67	120.00	C	1.08	0.52	-5.05	37.89	137.56
1369	3724.46	14053.23	979982.63	979941.13	378.00	C	0.79	0.55	-15.87	117.48	120.32
2001	3657.83	14024.84	979967.14	979902.49	209.00	C	0.35	0.03	-8.79	65.35	107.64
2002	3658.73	14024.26	979962.83	979903.80	221.00	C	0.30	0.03	-9.29	69.05	104.25
2003	3659.45	14024.63	979951.54	979904.84	259.00	C	0.23	0.02	-10.89	80.77	99.16
2004	3659.62	14025.52	979961.92	979905.08	239.00	C	0.34	0.03	-10.05	74.60	105.70
2005	3658.78	14026.28	979968.55	979903.87	230.00	SH	0.45	0.01	-9.67	71.83	112.01
2006	3659.39	14027.43	979943.11	979904.74	395.00	C	0.48	0.35	-16.58	122.73	119.22
2007	3659.98	14028.01	979919.76	979905.61	515.00	C	0.36	0.10	-21.60	159.74	117.65
2008	3658.75	14028.35	979932.87	979903.83	449.00	C	0.38	0.17	-18.84	139.38	119.77
2009	3659.07	14029.37	979933.28	979904.29	461.00	SH	0.40	0.05	-19.34	143.09	121.82
2010	3659.78	14029.39	979927.97	979905.31	500.00	C	0.26	0.04	-20.97	155.12	122.78
2011	3658.08	14028.70	979926.09	979902.85	470.00	C	0.43	0.07	-19.72	145.86	118.00

Table A-1 continued (21)

no.	ϕ_0	θ_0	g	γ_0	H_0	T_0	T_i	B	$F+A$	g_B	
						(1.0)	(1.0)	(1.0)		(2.66)	
2012	3659.35	14030.86	979917.79	979904.69	548.00	C	0.30	0.08	-22.98	169.92	122.92
2013	3658.15	14031.06	979913.57	979902.95	568.00	C	0.41	0.23	-23.81	176.09	125.07
2014	3657.29	14032.62	979897.94	979901.71	631.00	C	0.30	0.05	-26.44	195.52	122.35
2015	3658.25	14032.79	979900.59	979903.10	641.00	C	0.32	0.09	-26.86	198.61	125.74
2016	3659.72	14033.10	979895.43	979905.23	670.00	C	0.38	0.03	-28.06	207.55	124.17
2017	3657.41	14034.02	979894.80	979901.89	670.00	C	0.33	0.03	-28.06	207.55	126.78
2018	3656.99	14035.53	979890.52	979901.27	680.00	C	0.42	0.04	-28.48	210.64	125.34
2019	3657.73	14036.00	979883.01	979902.35	740.00	C	0.61	0.03	-30.98	229.14	129.09
2020	3657.13	14037.66	979939.20	979901.48	470.00	SH	0.75	0.60	-19.72	145.86	134.72
2021	3656.48	14039.50	979967.29	979900.54	321.00	C	0.76	0.36	-13.49	99.90	133.74
2022	3657.01	14040.07	979949.05	979901.31	432.00	C	0.41	0.02	-18.13	134.14	134.78
2023	3657.61	14040.67	979957.78	979902.18	415.00	C	0.47	0.39	-17.42	128.90	140.42
2024	3658.64	14039.52	979932.95	979903.66	553.00	C	0.57	0.26	-23.19	171.47	141.29
2025	3657.76	14026.06	979971.29	979902.39	202.00	SH	0.44	0.00	-8.49	63.19	110.67
2026	3657.12	14025.71	979971.72	979901.46	200.00	C	0.53	0.18	-8.41	62.57	112.33
2027	3656.81	14026.78	979972.38	979901.01	214.00	SH	0.69	0.07	-9.00	66.89	116.34
2028	3655.91	14026.96	979970.15	979899.72	227.00	SH	0.75	0.06	-9.54	70.90	118.12
2029	3655.34	14028.43	979937.25	979898.88	400.00	C	0.49	0.20	-16.79	124.27	119.81
2030	3655.21	14030.80	979907.93	979898.70	570.00	C	0.44	0.29	-23.90	176.71	124.30
2031	3655.62	14032.68	979899.65	979899.30	621.00	C	0.29	0.06	-26.02	192.44	124.50
2032	3655.70	14034.00	979892.88	979899.41	660.00	C	0.32	0.01	-27.65	204.47	125.28
2033	3654.74	14035.17	979917.04	979898.02	555.00	SH	0.57	0.15	-23.27	172.08	131.11
2034	3653.83	14035.83	979881.78	979896.71	721.00	C	0.59	0.40	-30.19	223.28	130.71
2035	3653.26	14036.48	979870.15	979895.87	770.00	C	0.78	0.03	-32.23	238.40	129.07
2036	3653.81	14037.46	979864.87	979896.68	783.70	TP	1.30	0.43	-32.80	242.62	128.16
2037	3653.00	14037.82	979915.75	979895.50	530.00	C	0.92	0.44	-22.23	164.37	129.10
2038	3652.13	14038.25	979941.64	979894.24	390.00	C	1.17	0.43	-16.37	121.19	129.27
2039	3651.61	14039.66	979954.88	979893.49	311.00	C	0.80	0.07	-13.07	96.82	125.73
2040	3650.54	14040.62	979955.73	979891.94	300.00	C	0.67	0.06	-12.61	93.42	125.59
2041	3649.93	14041.51	979958.05	979891.07	301.00	C	0.74	0.34	-12.65	93.73	129.92
2042	3648.67	14041.78	979995.88	979889.24	92.00	SH	0.90	0.08	-3.87	29.25	128.17
2043	3647.59	14039.31	979957.66	979887.67	252.00	SH	0.85	0.19	-10.59	78.61	123.16
2044	3647.29	14034.57	979913.94	979887.24	489.00	C	0.48	0.04	-20.51	151.72	125.22
2045	3649.31	14034.59	979904.40	979890.16	586.00	SH	0.48	0.01	-24.56	181.64	131.84
2046	3655.10	14027.11	979955.18	979898.54	301.00	C	0.51	0.08	-12.65	93.73	118.28
2047	3654.18	14027.41	979941.54	979897.21	370.00	C	0.34	0.04	-15.54	115.02	119.02
2048	3653.03	14027.45	979931.02	979895.54	402.20	TP	0.50	0.45	-16.89	124.95	118.05
2049	3652.20	14027.30	979954.34	979894.34	247.00	SH	0.91	0.10	-10.38	77.07	112.13
2050	3650.68	14027.72	979946.52	979892.14	311.00	C	0.83	0.15	-13.07	96.82	119.07
2051	3650.04	14027.12	979967.54	979891.22	202.00	C	0.73	0.02	-8.49	63.19	118.89
2052	3649.47	14027.56	979964.19	979890.40	220.00	SH	0.84	0.03	-9.25	68.74	120.23
2053	3648.64	14027.97	979958.86	979889.20	260.00	SH	0.84	0.06	-10.93	81.08	124.09
2054	3648.52	14029.41	979903.64	979889.02	550.00	C	0.61	0.07	-23.06	170.54	125.63
2055	3649.33	14029.78	979898.03	979890.19	580.00	C	0.52	0.03	-24.31	179.79	124.42
2056	3650.20	14029.32	979887.41	979891.45	621.00	C	0.67	0.03	-26.02	192.44	121.04
2057	3650.85	14030.99	979880.97	979892.39	700.00	C	0.59	0.04	-29.31	216.81	129.07
2058	3651.81	14030.82	979890.42	979893.78	621.00	C	0.53	0.19	-26.02	192.44	121.77
2059	3652.99	14032.08	979882.95	979895.49	703.00	SH	0.49	0.59	-29.44	217.73	129.75
2060	3652.29	14032.94	979879.26	979894.48	715.00	C	0.49	0.13	-29.94	221.43	128.22
2061	3652.96	14033.66	979887.36	979895.44	683.00	SH	0.44	0.27	-28.61	211.56	129.28

Table A-1 continued (22)

no.	ϕ_0	θ_0	g	γ_0	H_0	T_0	T_i	B	$F+A$	g_B	
						(1.0)	(1.0)	(1.0)		(2.66)	
2062	3652.10	14034.23	979878.31	979894.20	730.00	C	0.50	0.02	-30.56	226.06	130.25
2063	3653.93	14033.96	979897.56	979896.85	635.00	C	0.38	0.09	-26.61	196.76	127.94
2064	3654.21	14032.03	979887.95	979897.25	651.00	C	0.37	0.19	-27.27	201.69	121.34
2065	3653.92	14030.86	979903.49	979896.83	570.00	C	0.40	0.08	-23.90	176.71	121.07
2066	3654.43	14029.26	979915.05	979897.57	500.00	C	0.37	0.07	-20.97	155.12	117.95
2067	3651.74	14028.54	979897.85	979893.68	560.70	TP	0.63	0.26	-23.51	173.84	117.85
2068	3653.22	14029.89	979904.11	979895.82	550.00	C	0.35	0.04	-23.06	170.54	118.50
2069	3653.03	14028.91	979909.91	979895.55	520.00	C	0.39	0.01	-21.81	161.29	118.71
2070	3652.66	14028.55	979908.84	979895.01	510.00	C	0.46	0.22	-21.39	158.20	116.93
2071	3704.73	14015.83	979908.00	979912.49	351.00	SH	0.21	0.02	-14.74	109.15	66.07
2072	3704.36	14017.07	979915.95	979911.96	332.00	SH	0.15	0.01	-13.95	103.29	70.61
2073	3705.76	14017.12	979906.55	979913.98	380.00	C	0.12	0.04	-15.96	118.10	68.65
2074	3703.21	14018.11	979919.74	979910.29	347.00	C	0.15	0.00	-14.57	107.92	79.01
2075	3702.91	14017.58	979916.02	979909.85	356.00	SH	0.22	0.00	-14.95	110.70	77.67
2076	3701.40	14016.39	979901.06	979907.67	437.00	SH	0.51	0.22	-18.34	135.68	82.23
2077	3700.99	14016.00	979895.67	979907.06	468.00	C	0.53	0.66	-19.64	145.25	84.78
2078	3702.06	14016.96	979908.77	979908.61	387.00	SH	0.51	0.48	-16.25	120.26	79.82
2079	3702.53	14015.98	979901.73	979909.30	415.00	SH	0.48	0.21	-17.42	128.90	76.84
2080	3703.90	14016.65	979913.27	979911.29	341.00	SH	0.18	0.00	-14.32	106.07	70.44
2081	3703.70	14019.60	979927.87	979910.99	348.80	TP	0.11	0.36	-14.65	108.48	87.62
2082	3704.02	14018.53	979923.36	979911.45	332.00	SH	0.12	0.01	-13.95	103.29	78.43
2083	3704.76	14018.39	979921.40	979912.52	340.00	C	0.12	0.03	-14.28	105.76	77.05
2084	3704.64	14019.53	979932.58	979912.35	340.00	C	0.10	0.06	-14.28	105.76	88.41
2085	3703.66	14021.10	979938.90	979910.94	318.30	TP	0.09	0.00	-13.37	99.07	91.70
2086	3704.68	14021.08	979939.30	979912.42	305.00	SH	0.10	0.00	-12.81	94.96	88.03
2087	3705.73	14022.96	979943.36	979913.94	300.00	C	0.08	0.01	-12.61	93.42	89.53
2088	3706.39	14023.37	979947.55	979914.89	294.00	SH	0.07	0.00	-12.35	91.57	91.57
2089	3705.34	14023.89	979938.07	979913.37	330.00	C	0.07	0.01	-13.86	102.68	90.74
2090	3704.30	14023.15	979937.80	979911.86	311.00	SH	0.07	0.00	-13.07	96.81	88.20
2091	3649.18	14032.24	979903.67	979889.98	563.20	TP	0.80	0.18	-23.61	174.61	128.10
2092	3649.73	14033.77	979881.51	979890.78	690.00	C	0.57	0.07	-28.90	213.72	129.27
2093	3648.18	14034.81	979911.58	979888.53	510.00	C	0.49	0.08	-21.39	158.20	125.87
2094	3648.29	14039.95	979932.02	979888.69	415.00	C	0.62	0.27	-17.42	128.90	128.26
2095	3648.86	14038.57	979941.95	979889.52	358.00	C	0.78	0.19	-15.04	111.31	126.29
2096	3648.85	14037.42	979940.20	979889.50	365.00	C	0.79	0.24	-15.33	113.47	126.12
2097	3648.63	14036.38	979898.44	979889.18	577.00	SH	0.81	0.31	-24.19	178.87	126.75
2098	3650.27	14036.70	979911.48	979891.56	531.00	SH	0.90	0.23	-22.27	164.68	128.37
2099	3650.31	14037.72	979893.56	979891.61	630.00	C	0.78	0.07	-26.40	195.22	129.19
2101	3650.43	14035.14	979884.48	979891.79	685.00	C	0.54	0.08	-28.69	212.18	130.20
2102	3651.41	14035.23	979884.98	979893.21	688.00	C	0.59	0.08	-28.81	213.10	130.00
2103	3651.88	14036.19	979851.53	979893.88	840.00	C	1.19	0.05	-35.13	259.99	127.46
2104	3649.69	14035.27	979906.02	979890.71	561.00	SH	0.68	0.40	-23.52	173.93	129.54
2105	3648.42	14030.27	979915.08	979888.87	470.00	C	0.84	0.51	-19.72	145.86	123.20
2106	3648.93	14031.33	979909.07	979889.61	528.00	C	0.79	0.23	-22.14	163.75	127.01
2107	3650.22	14031.92	979838.44	979891.47	870.60	TP	1.69	0.48	-36.40	269.42	125.31
2108	3650.64	14033.20	979876.58	979892.08	724.00	C	0.58	0.17	-30.31	224.21	130.08
2109	3651.13	14033.92	979882.30	979892.80	701.00	C	0.51	0.05	-29.36	217.11	130.00
2110	3647.52	14029.38	979941.09	979887.58	350.00	C	0.80	0.48	-14.70	108.85	126.66
2111	3650.24	14025.80	979966.29	979891.52	175.00	SH	0.59	0.08	-7.36	54.86	111.83
2112	3651.70	14025.69	979972.66	979893.63	163.00	SH	0.48	0.02	-6.86	51.16	113.28

Table A-1 continued (23)

no.	ϕ_0	θ_0	g	γ_0	H_0		T_0	T_i	B	$F+A$	g_B
							(1.0)	(1.0)	(1.0)		(2.66)
2113	3652.91	14025.42	979971.38	979895.36	175.00	C	0.42	0.01	-7.36	54.86	112.44
2114	3654.11	14024.54	979966.45	979897.11	179.00	C	0.52	0.09	-7.53	56.09	107.03
2115	3656.11	14024.51	979967.70	979900.00	187.00	SH	0.56	0.02	-7.87	58.56	106.89
2116	3657.02	14024.52	979965.35	979901.32	211.00	SH	0.40	0.01	-8.87	65.97	107.48
2117	3659.70	14022.69	979951.19	979905.20	249.00	C	0.33	0.06	-10.47	77.69	96.88
2118	3700.61	14022.63	979947.69	979906.51	280.00	C	0.20	0.06	-11.77	87.25	97.82
2119	3700.99	14021.34	979938.35	979907.07	274.00	SH	0.34	0.05	-11.52	85.40	87.08
2120	3700.30	14020.00	979932.70	979906.07	304.00	SH	0.53	0.03	-12.77	94.66	88.80
2121	3659.61	14020.63	979929.32	979905.07	321.00	C	0.40	0.07	-13.49	99.90	89.53
2122	3658.82	14021.06	979933.79	979903.92	300.00	C	0.77	0.27	-12.61	93.42	92.52
2123	3659.01	14022.20	979945.10	979904.20	255.00	C	0.46	0.03	-10.72	79.54	93.22
2124	3658.16	14021.81	979935.25	979902.97	290.00	C	0.83	0.52	-12.19	90.34	93.79
2125	3659.09	14022.66	979949.26	979904.31	254.00	C	0.39	0.05	-10.68	79.23	96.93
2126	3703.18	14022.67	979933.15	979910.24	318.00	C	0.09	0.00	-13.36	98.97	86.58
2127	3703.67	14023.46	979938.04	979910.95	311.00	SH	0.08	0.00	-13.07	96.81	89.37
2128	3704.24	14024.40	979945.11	979911.78	309.80	TP	0.08	0.	-13.02	96.44	95.37
2129	3704.62	14024.05	979944.68	979912.32	302.00	SH	0.08	0.00	-12.69	94.04	92.86
2130	3704.71	14025.59	979954.76	979912.46	309.00	SH	0.15	0.04	-12.98	96.20	104.46
2131	3705.28	14026.24	979950.41	979913.28	332.00	SH	0.15	0.09	-13.95	103.29	103.97
2132	3705.84	14027.45	979943.20	979914.09	384.00	SH	0.13	0.05	-16.12	119.33	106.04
2133	3706.41	14028.52	979936.33	979914.92	431.00	SH	0.12	0.04	-18.09	133.83	107.55
2134	3705.87	14029.76	979926.45	979914.14	492.00	SH	0.22	0.06	-20.64	152.65	110.81
2135	3705.90	14028.89	979934.44	979914.18	443.00	SH	0.13	0.03	-18.59	137.53	108.75
2136	3705.42	14029.14	979930.74	979913.49	468.00	SH	0.13	0.07	-19.64	145.25	110.81
2137	3704.41	14029.36	979920.71	979912.02	514.00	SH	0.24	0.36	-21.56	159.44	112.37
2138	3704.13	14027.90	979930.10	979911.61	464.00	SH	0.17	0.15	-19.47	144.01	111.58
2139	3704.45	14026.77	979943.98	979912.09	370.00	C	0.18	0.09	-15.54	115.02	106.30
2140	3705.00	14028.15	979937.40	979912.87	430.00	C	0.16	0.06	-18.05	133.52	110.62
2141	3703.89	14025.95	979952.06	979911.27	319.00	SH	0.20	0.01	-13.40	99.28	105.00
2142	3703.34	14027.70	979933.07	979910.47	444.00	SH	0.16	0.05	-18.63	137.84	111.43
2143	3702.79	14028.21	979931.63	979909.67	459.00	SH	0.16	0.05	-19.26	142.47	113.75
2144	3702.64	14029.45	979937.71	979909.46	440.00	C	0.19	0.36	-18.47	136.61	117.22
2145	3701.98	14028.68	979926.86	979908.50	485.00	SH	0.18	0.07	-20.35	150.49	115.40
2146	3700.96	14029.40	979932.73	979907.03	464.00	SH	0.22	0.04	-19.47	144.01	118.62
2147	3700.93	14028.66	979917.89	979906.98	530.00	C	0.24	0.04	-22.23	164.37	116.90
2148	3701.22	14027.72	979917.91	979907.41	522.00	C	0.30	0.32	-21.89	161.90	115.80
2149	3702.24	14027.25	979929.20	979908.88	463.00	SH	0.20	0.06	-19.43	143.70	113.03
2150	3703.05	14027.15	979941.07	979910.05	392.00	SH	0.25	0.51	-16.46	121.80	111.05
2151	3701.71	14026.73	979939.10	979908.11	400.00	C	0.27	0.09	-16.79	124.27	111.55
2152	3701.71	14026.05	979945.53	979908.11	344.00	SH	0.21	0.02	-14.45	107.00	106.61
2153	3700.75	14026.31	979951.80	979906.72	320.00	C	0.42	0.06	-13.44	99.59	110.18
2154	3700.22	14025.80	979958.71	979905.95	272.00	C	0.35	0.05	-11.43	84.78	108.19
2155	3658.92	14024.90	979959.14	979904.07	230.00	C	0.28	0.04	-9.67	71.83	102.01
2156	3657.07	14042.47	980011.28	979901.39	156.00	SH	0.66	0.33	-6.56	49.00	144.05
2157	3657.19	14043.49	980020.55	979901.56	100.00	C	0.67	0.81	-4.21	31.72	143.44
2158	3658.27	14043.12	980021.06	979903.13	130.00	C	0.54	0.23	-5.47	40.98	146.40
2159	3659.33	14042.77	980023.55	979904.67	136.00	SH	0.70	0.26	-5.72	42.83	149.02
2160	3659.45	14041.69	979995.84	979904.83	280.00	C	0.56	0.51	-11.77	87.25	149.78
2161	3659.57	14039.83	979914.12	979905.01	649.20	TP	1.73	0.55	-27.20	201.14	143.97
2162	3658.66	14041.26	979961.38	979903.69	431.00	SH	0.72	0.44	-18.09	133.83	146.47

Table A-1 continued (24)

no.	ϕ_0	θ_0	g	γ_0	H_0	T_0	T_i	B	$F+A$	g_B	
						(1.0)	(1.0)	(1.0)		(2.66)	
2163	3656.61	14042.07	980008.21	979900.73	152.00	C	0.89	0.08	-6.39	47.77	140.80
2164	3655.90	14042.78	979950.71	979899.69	417.40	TP	1.90	1.04	-17.52	129.64	141.85
2165	3656.20	14044.00	980034.45	979900.13	25.00	C	0.73	0.10	-1.05	8.58	142.29
2166	3655.13	14044.57	980033.96	979898.58	15.00	C	0.50	0.04	-0.63	5.50	140.64
2167	3654.64	14044.18	980031.89	979897.87	22.00	SH	0.62	0.02	-0.93	7.66	140.91
2168	3654.99	14041.95	979963.97	979898.37	340.00	C	0.99	0.28	-14.28	105.76	136.73
2169	3654.87	14041.11	979890.32	979898.20	670.50	TP	2.85	0.51	-28.09	207.71	134.01
2170	3655.66	14041.60	979994.65	979899.34	193.00	SH	1.06	0.09	-8.12	60.41	137.16
2171	3655.64	14038.89	979959.88	979899.31	340.00	SH	1.04	0.41	-14.28	105.76	132.18
2172	3655.30	14038.21	979949.06	979898.82	390.00	C	1.15	0.43	-16.37	121.19	132.06
2173	3654.83	14037.25	979934.69	979898.15	441.00	SH	1.38	0.70	-18.51	136.92	129.75
2174	3656.34	14036.13	979900.10	979900.33	642.00	C	0.42	0.09	-26.90	198.92	128.50
2176	3654.41	14038.85	979932.26	979897.54	470.00	C	0.74	0.51	-19.72	145.86	131.46
2177	3654.88	14039.99	979954.51	979898.21	360.00	C	0.85	0.20	-15.12	111.93	130.81
2178	3653.75	14040.92	979956.15	979896.58	350.00	C	0.94	0.36	-14.70	108.85	132.75
2179	3653.72	14041.33	979964.49	979896.55	313.00	SH	0.88	0.40	-13.15	97.43	133.80
2180	3653.64	14043.38	980018.40	979896.43	77.00	SH	0.82	0.08	-3.24	24.63	140.36
2181	3652.96	14043.47	980021.67	979895.44	47.00	SH	1.04	0.40	-1.98	15.37	140.15
2182	3651.29	14044.17	980016.12	979893.03	53.00	C	0.46	0.05	-2.23	17.22	135.72
2183	3652.88	14041.26	979960.27	979895.33	324.00	SH	0.67	0.09	-13.61	100.83	131.55
2184	3652.59	14039.50	979943.63	979894.92	387.00	C	0.61	0.03	-16.25	120.26	127.44
2185	3703.52	14024.25	979930.96	979910.74	357.50	TP	0.12	0.19	-15.01	111.16	92.27
2186	3703.60	14024.62	979943.06	979910.85	320.00	C	0.09	0.01	-13.44	99.59	96.30
2187	3703.05	14025.37	979947.82	979910.05	329.00	SH	0.14	0.01	-13.82	102.37	103.77
2188	3702.39	14026.34	979948.63	979909.09	343.00	SH	0.31	0.09	-14.41	106.69	108.96
2189	3701.48	14024.51	979952.09	979907.78	260.00	SH	0.25	0.03	-10.93	81.08	97.05
2190	3701.76	14023.58	979948.58	979908.19	258.00	SH	0.18	0.01	-10.84	80.47	92.51
2191	3701.63	14022.83	979951.56	979907.99	255.00	SH	0.21	0.01	-10.72	79.54	95.17
2193	3701.59	14020.79	979932.60	979907.94	320.00	C	0.29	0.35	-13.44	99.59	90.19
2196	3702.92	14019.01	979923.96	979909.87	343.00	C	0.16	0.00	-14.41	106.69	82.89
2197	3702.10	14018.77	979914.20	979908.67	385.00	SH	0.30	0.06	-16.17	119.64	83.12
2198	3702.60	14021.97	979938.79	979909.40	320.00	C	0.12	0.13	-13.44	99.59	93.87
2199	3700.42	14024.71	979923.61	979906.24	387.00	SH	0.36	0.42	-16.25	120.26	96.47
2200	3658.56	14037.79	979929.98	979903.55	540.00	C	0.41	0.32	-22.64	167.46	135.58
2201	3658.00	14039.16	979951.31	979902.73	440.00	C	0.63	0.08	-18.47	136.61	137.96
2202	3659.05	14037.25	979942.51	979904.25	472.00	SH	0.60	0.41	-19.80	146.48	134.72
2203	3659.43	14037.31	979948.22	979904.81	448.00	SH	0.64	0.28	-18.80	139.08	134.93
2204	3659.69	14037.99	979958.70	979905.19	416.00	SH	0.71	0.22	-17.46	129.21	138.75
2205	3658.79	14036.21	979905.59	979903.88	640.00	C	0.42	0.32	-26.81	198.30	130.64
2206	3659.47	14035.33	979916.02	979904.87	583.00	SH	0.37	0.09	-24.44	180.72	128.09
2207	3658.77	14033.98	979891.90	979903.85	690.00	C	0.37	0.08	-28.90	213.72	126.10
2208	3658.96	14031.88	979883.87	979904.13	714.00	SH	0.61	0.45	-29.90	221.12	124.16
2209	3657.60	14030.37	979898.08	979902.16	630.00	C	0.42	0.29	-26.40	195.22	122.81
2210	3656.65	14031.11	979888.08	979900.78	678.00	C	0.42	0.03	-28.40	210.02	122.98
2211	3656.70	14030.14	979881.33	979900.86	690.00	C	0.63	0.06	-28.90	213.72	119.17
2212	3657.31	14029.85	979891.67	979901.74	655.00	C	0.52	0.08	-27.44	202.93	121.45
2213	3655.89	14029.33	979909.34	979899.68	550.00	C	0.39	0.09	-23.06	170.54	120.13
2214	3656.75	14029.05	979918.17	979900.93	509.00	C	0.48	0.07	-21.35	157.89	119.79
2215	3656.37	14027.92	979934.42	979900.38	419.00	C	0.46	0.09	-17.59	130.13	118.84
2216	3657.09	14027.64	979944.32	979901.41	370.00	C	0.47	0.18	-15.54	115.02	118.33

Table A-1 continued (25)

no.	ϕ_0	θ_0	g	γ_0	H_0	T_0	T_i	B	$F+A$	g_B	
						(1.0)	(1.0)	(1.0)		(2.66)	
2217	3656.09	14025.54	979961.57	979899.98	241.00	C	0.52	0.12	-10.13	75.22	111.56
2219	3653.64	14026.42	979963.75	979896.42	219.00	C	0.66	0.41	-9.21	68.43	114.11
2220	3652.33	14029.89	979895.60	979894.54	600.00	C	0.43	0.05	-25.15	185.96	121.40
2221	3652.73	14029.90	979900.76	979895.11	587.00	C	0.39	0.02	-24.61	181.95	123.23
2222	3651.62	14037.47	979914.09	979893.50	510.00	C	1.23	0.39	-21.39	158.20	126.20
2223	3649.73	14039.36	979929.67	979890.78	440.00	C	0.62	0.09	-18.47	136.61	128.26
2224	3650.52	14038.77	979903.78	979891.91	580.00	C	0.72	0.09	-24.31	179.79	129.13
2225	3652.09	14040.45	979928.02	979894.18	460.00	C	0.58	0.29	-19.30	142.78	127.56
2226	3651.72	14041.79	979966.74	979893.65	275.00	SH	0.56	0.32	-11.56	85.71	130.36
2227	3650.22	14042.43	979992.53	979891.48	145.00	C	0.62	0.07	-6.10	45.60	132.22
2228	3649.01	14041.08	979954.42	979889.74	300.00	C	0.80	0.23	-12.61	93.42	127.29
2229	3646.66	14042.02	980001.12	979886.34	40.00	C	0.57	0.01	-1.68	13.21	125.05
2230	3645.70	14039.88	979961.81	979884.94	221.00	C	0.72	0.30	-9.29	69.05	123.90
2231	3646.27	14039.98	979955.45	979885.77	258.00	C	0.61	0.22	-10.84	80.47	123.49
2232	3646.17	14038.22	979920.84	979885.63	430.00	C	0.50	0.19	-18.05	133.53	122.54
2233	3646.93	14036.13	979901.31	979886.72	536.00	SH	0.46	0.04	-22.48	166.22	122.33
2234	3640.66	14032.53	979961.90	979877.66	250.00	C	0.43	0.32	-10.51	78.00	136.27
2235	3640.19	14032.68	979959.44	979876.99	270.00	C	0.32	0.36	-11.35	84.17	138.24
2236	3640.56	14035.38	979955.04	979877.52	300.00	C	0.30	0.22	-12.61	93.42	138.77
2237	3641.62	14037.92	979955.28	979879.06	289.00	C	0.35	0.11	-12.14	90.03	135.15
2238	3642.35	14039.45	979976.67	979880.11	171.00	C	0.70	0.33	-7.19	53.63	133.78
2239	3642.28	14036.43	979927.38	979880.01	404.00	SH	0.39	0.07	-16.96	125.50	128.94
2240	3643.86	14037.22	979939.03	979882.29	327.00	SH	0.59	0.34	-13.74	101.75	124.41
2241	3645.09	14039.38	979959.26	979884.07	230.00	C	0.77	0.31	-9.67	71.83	124.12
2242	3646.34	14037.59	979913.42	979885.87	470.00	C	0.47	0.06	-19.72	145.86	122.31
2243	3647.27	14036.99	979921.16	979887.21	443.00	C	0.43	0.07	-18.59	137.53	123.34
2244	3646.13	14036.48	979900.89	979885.57	530.00	C	0.42	0.04	-22.23	164.37	121.76
2245	3645.40	14036.57	979906.63	979884.52	498.00	C	0.42	0.18	-20.89	154.50	122.64
2246	3644.16	14033.79	979900.02	979882.72	539.00	C	0.46	0.07	-22.60	167.15	125.71
2247	3643.28	14032.23	979933.78	979881.44	370.00	C	0.60	0.38	-15.54	115.02	128.61
2248	3642.92	14032.72	979924.39	979880.93	430.00	C	0.52	0.58	-18.05	133.53	131.91
2249	3642.37	14032.56	979891.49	979880.14	566.50	TP	1.13	0.18	-23.75	175.63	127.30
2250	3643.42	14032.83	979882.15	979881.66	614.00	SH	1.18	0.63	-25.73	190.28	127.13
2251	3644.73	14031.63	979887.82	979883.55	618.00	SH	0.99	0.28	-25.90	191.51	130.27
2252	3645.31	14032.47	979888.93	979884.39	620.00	C	0.59	0.03	-25.98	192.13	129.19
2253	3645.90	14032.17	979873.33	979885.24	695.00	C	0.83	0.03	-29.11	215.26	128.21
2254	3646.31	14033.16	979890.90	979885.83	602.00	C	0.54	0.04	-25.23	186.58	126.07
2255	3646.91	14034.26	979908.85	979886.69	508.00	C	0.50	0.08	-21.31	157.59	124.60
2256	3647.44	14033.42	979899.98	979887.46	575.00	C	0.67	0.25	-24.10	178.25	129.09
2257	3648.06	14033.21	979882.91	979888.36	690.00	C	0.66	0.05	-28.90	213.72	133.27
2258	3647.05	14031.50	979886.48	979886.89	640.00	C	0.58	0.06	-26.81	198.30	128.23
2259	3648.04	14031.83	979888.01	979888.33	640.00	C	0.56	0.04	-26.81	198.30	128.25
2260	3647.57	14031.10	979884.06	979887.65	649.00	C	0.63	0.07	-27.19	201.08	127.02
2261	3646.84	14030.46	979901.46	979886.59	561.00	SH	0.59	0.24	-23.52	173.93	128.43
2262	3652.13	14023.21	979958.78	979894.24	190.00	C	0.48	0.10	-7.99	59.49	104.29
2263	3653.01	14023.22	979957.28	979895.52	210.00	C	0.44	0.28	-8.83	65.66	105.86
2264	3653.96	14023.31	979951.50	979896.88	240.00	C	0.45	0.08	-10.09	74.91	104.08
2265	3654.13	14022.34	979943.90	979897.13	269.00	C	0.60	0.10	-11.31	83.86	102.41
2266	3655.45	14021.57	979907.77	979899.04	445.00	C	0.74	0.74	-18.68	138.15	101.15
2267	3655.14	14021.90	979922.12	979898.59	370.00	C	0.81	0.87	-15.54	115.02	101.68

Table A-1 continued (26)

no.	ϕ_0	θ_0	g	γ_0	H_0	T_0 (1.0)	T_i (1.0)	B (1.0)	$F+A$	g_B (2.66)
2268	3654.63	14022.82	979941.99	979897.86	272.00 C	0.67	0.47	-11.43	84.78	101.53
2269	3652.51	14020.79	979938.75	979894.80	300.00 C	0.58	0.13	-12.61	93.42	105.74
2270	3653.17	14021.42	979944.07	979895.74	280.00 C	0.66	0.10	-11.77	87.25	106.30
2271	3653.03	14016.99	979929.16	979895.55	325.00 SH	0.97	0.86	-13.65	101.13	103.31
2272	3655.63	14016.58	979778.43	979899.30	1022.20 TP	4.07	0.80	-42.69	316.17	94.69
2273	3655.56	14011.48	979920.16	979899.21	320.00 C	0.36	0.09	-13.44	99.59	85.98
2274	3655.35	14010.42	979929.28	979898.90	263.00 SH	0.27	0.03	-11.05	82.01	83.79
2275	3655.23	14009.64	979932.27	979898.72	240.00 SH	0.23	0.01	-10.09	74.91	82.26
2276	3656.20	14010.28	979924.90	979900.13	280.00 C	0.21	0.01	-11.77	87.25	81.30
2277	3656.29	14012.13	979914.74	979900.26	350.00 C	0.41	0.14	-14.70	108.85	85.68
2278	3656.30	14011.03	979922.40	979900.28	298.00 C	0.27	0.09	-12.52	92.81	82.59
2280	3656.49	14009.20	979924.14	979900.55	262.00 C	0.21	0.04	-11.01	81.70	76.64
2281	3656.14	14009.54	979929.49	979900.05	240.00 C	0.23	0.03	-10.09	74.91	78.22
2282	3656.42	14008.54	979932.95	979900.45	210.00 C	0.26	0.01	-8.83	65.66	75.36
2283	3657.04	14007.90	979923.20	979901.35	228.00 C	0.24	0.02	-9.59	71.21	68.25
2284	3657.72	14008.35	979920.47	979902.33	250.00 C	0.21	0.01	-10.51	78.00	68.78
2285	3658.13	14009.76	979924.73	979902.93	243.00 SH	0.28	0.02	-10.22	75.84	71.29
2286	3659.23	14010.01	979927.58	979904.52	257.00 C	0.31	0.04	-10.80	80.16	75.40
2287	3658.97	14010.96	979907.58	979904.15	365.00 C	0.21	0.16	-15.33	113.47	77.13
2288	3659.02	14011.83	979919.10	979904.21	315.00 C	0.35	0.10	-13.23	98.05	78.93
2289	3658.55	14012.21	979924.78	979903.54	293.00 SH	0.41	0.06	-12.31	91.26	81.01
2290	3657.24	14012.27	979922.19	979901.63	310.00 C	0.43	0.09	-13.02	96.51	83.80
2291	3656.64	14013.23	979898.57	979900.77	440.00 C	0.44	0.19	-18.47	136.61	86.96
2292	3657.32	14013.26	979911.99	979901.75	370.00 C	0.57	0.29	-15.54	115.02	86.24
2293	3657.33	14013.71	979905.88	979901.77	400.00 C	0.62	0.65	-16.79	124.27	87.10
2294	3657.22	14011.28	979928.00	979901.60	270.00 C	0.32	0.02	-11.35	84.17	81.30
2300	3657.56	14010.75	979931.63	979902.10	245.00 C	0.36	0.04	-10.30	76.45	79.66
2301	3658.51	14011.16	979919.12	979903.48	320.00 C	0.24	0.53	-13.44	99.59	81.52
2302	3658.37	14010.99	979920.37	979903.27	300.00 C	0.28	0.38	-12.61	93.42	78.74
2303	3657.99	14010.21	979924.82	979902.73	277.00 C	0.24	0.09	-11.64	86.33	78.33
2304	3658.63	14010.43	979917.80	979903.65	310.00 C	0.23	0.46	-13.02	96.51	77.84
2305	3659.60	14011.71	979911.75	979905.05	350.00 C	0.29	0.31	-14.70	108.85	78.03
2306	3658.18	14012.90	979922.21	979902.99	310.00 SH	0.54	0.34	-13.02	96.51	83.41
2307	3657.96	14013.87	979910.11	979902.68	380.00 C	0.73	0.43	-15.96	118.10	86.15
2308	3658.66	14013.54	979913.64	979903.69	360.00 C	0.58	0.33	-15.12	111.93	84.06
2309	3659.07	14014.47	979894.44	979904.29	460.00 C	0.63	1.08	-19.30	142.78	86.13
2310	3658.93	14015.10	979879.34	979904.08	555.00 C	0.36	0.31	-23.27	172.08	87.24
2311	3658.98	14016.05	979894.30	979904.16	483.00 SH	0.51	0.36	-20.26	149.87	88.43
2312	3659.84	14015.38	979880.15	979905.40	550.00 C	0.42	0.27	-23.06	170.54	85.80
2313	3700.64	14019.15	979905.73	979906.56	429.00 C	0.48	1.09	-18.01	133.22	88.67
2314	3659.67	14018.81	979922.87	979905.15	349.00 C	0.66	0.35	-14.66	108.54	89.96
2315	3659.73	14017.89	979911.36	979905.24	401.00 C	0.56	0.27	-16.84	124.58	88.12
2316	3700.30	14017.13	979887.77	979906.06	495.00 C	0.51	0.76	-20.76	153.57	83.41
2317	3658.31	14015.48	979883.11	979903.19	539.00 C	0.45	0.23	-22.60	167.15	88.75
2318	3657.81	14015.54	979863.47	979902.46	640.00 C	0.49	0.43	-26.81	198.30	90.42
2319	3658.26	14017.17	979900.36	979903.11	460.00 C	0.94	0.54	-19.30	142.78	92.63
2320	3657.45	14016.99	979890.23	979901.94	509.00 C	1.12	1.00	-21.35	157.89	95.04
2321	3656.59	14016.96	979876.39	979900.70	585.00 C	1.23	0.87	-24.52	181.34	97.39
2322	3658.51	14018.86	979914.90	979903.47	386.00 SH	1.05	0.51	-16.21	119.95	92.43
2323	3659.34	14020.21	979922.67	979904.68	360.00 C	0.41	0.26	-15.12	111.93	91.49

Table A-1 continued (27)

no.	ϕ_0	θ_0	g	γ_0	H_0	T_0 (1.0)	T_i (1.0)	B (1.0)	$F+A$	g_B (2.66)	
2325	3657.88	14020.05	979917.38	979902.56	368.00	C	1.31	0.92	-15.45	114.40	94.05
2326	3656.93	14019.56	979886.21	979901.19	525.00	C	0.94	1.06	-22.02	162.83	94.59
2327	3659.64	14022.12	979926.56	979905.12	320.00	C	0.28	0.06	-13.44	99.59	86.17
2328	3700.54	14021.95	979938.79	979906.41	309.00	C	0.22	0.06	-12.98	96.20	94.77
2329	3659.76	14021.37	979880.86	979905.29	528.30	TP	1.31	1.25	-22.16	163.85	87.26
2331	3658.59	14022.79	979907.39	979903.59	441.00	TP	0.82	0.76	-18.51	136.92	95.67
2332	3657.92	14023.35	979950.62	979902.62	249.00	C	0.49	0.21	-10.47	77.69	99.70
2333	3658.17	14022.78	979936.94	979902.98	308.00	C	0.38	0.20	-12.94	95.89	96.97
2334	3655.44	14024.85	979970.25	979899.03	180.00	SH	0.60	0.00	-7.57	56.40	109.08
2335	3654.64	14024.81	979970.53	979897.88	171.00	C	0.59	0.01	-7.19	53.63	108.73
2336	3654.20	14024.04	979955.68	979897.23	213.00	C	0.53	0.34	-8.96	66.58	103.52
2337	3653.63	14023.88	979924.96	979896.42	364.90	TP	0.58	0.79	-15.32	113.44	104.87
2338	3652.32	14025.11	979970.05	979894.52	165.00	C	0.46	0.07	-6.94	51.77	110.27
2339	3651.31	14024.88	979967.31	979893.06	156.00	SH	0.49	0.03	-6.56	49.00	107.19
2340	3651.45	14024.02	979962.13	979893.27	180.00	C	0.52	0.32	-7.57	56.40	107.35
2341	3651.13	14023.09	979966.58	979892.80	160.00	SH	0.67	0.09	-6.73	50.23	108.13
2342	3651.10	14023.82	979915.49	979892.75	382.70	TP	1.15	1.62	-16.07	118.93	106.28
2343	3650.51	14025.21	979967.06	979891.89	162.00	SH	0.70	0.41	-6.82	50.85	110.83
2344	3654.76	14009.33	979933.29	979898.05	240.00	SH	0.21	0.01	-10.09	74.91	83.91
2345	3655.61	14008.62	979933.69	979899.28	220.00	C	0.23	0.02	-9.25	68.74	79.21
2346	3656.18	14007.66	979921.56	979900.11	230.00	C	0.21	0.05	-9.67	71.83	68.23
2347	3657.39	14008.84	979928.29	979901.85	226.00	SH	0.25	0.01	-9.50	70.59	72.46
2348	3659.36	14007.90	979906.44	979904.70	324.00	SH	0.21	0.03	-13.61	100.83	67.00
2349	3659.39	14008.47	979912.38	979904.75	306.00	SH	0.19	0.06	-12.86	95.27	69.35
2350	3700.17	14007.90	979908.20	979905.88	322.00	SH	0.19	0.00	-13.53	100.21	67.07
2351	3700.36	14008.53	979915.07	979906.15	290.00	SH	0.22	0.01	-12.19	90.34	67.45
2352	3701.29	14008.28	979901.25	979907.50	343.80	TP	0.21	0.23	-14.44	106.93	63.44
2353	3701.91	14008.10	979903.27	979908.39	340.00	SH	0.21	0.01	-14.28	105.76	63.24
2354	3703.09	14008.57	979895.14	979910.11	379.00	SH	0.20	0.01	-15.91	117.79	61.05
2355	3702.94	14007.85	979895.87	979909.89	371.00	SH	0.23	0.01	-15.58	115.32	60.50
2356	3703.66	14009.15	979894.03	979910.94	381.00	SH	0.18	0.02	-16.00	118.41	59.48
2357	3704.31	14008.47	979876.27	979911.88	437.00	SH	0.21	0.05	-18.34	135.68	52.00
2358	3704.62	14007.98	979877.04	979912.33	432.00	SH	0.23	0.00	-18.13	134.14	51.24
2359	3704.67	14008.70	979869.12	979912.40	450.50	TP	0.22	0.26	-18.91	139.85	47.58
2360	3704.65	14010.32	979903.03	979912.37	364.00	C	0.20	0.03	-15.29	113.17	63.80
2361	3704.25	14010.01	979891.20	979911.80	420.00	C	0.19	0.05	-17.63	130.44	63.58
2362	3703.54	14010.16	979905.74	979910.77	338.00	SH	0.26	0.03	-14.20	105.14	63.13
2363	3702.56	14009.55	979910.72	979909.34	318.00	SH	0.26	0.02	-13.36	98.97	65.56
2364	3701.63	14009.41	979905.50	979907.99	341.00	SH	0.18	0.05	-14.32	106.07	66.11
2365	3700.66	14009.25	979916.06	979906.58	300.00	SH	0.20	0.04	-12.61	93.42	70.02
2366	3659.89	14009.40	979921.53	979905.47	280.00	C	0.22	0.06	-11.77	87.25	72.74
2367	3700.04	14010.21	979923.21	979905.69	280.00	C	0.26	0.06	-11.77	87.25	74.33
2368	3700.61	14010.40	979920.22	979906.51	300.00	C	0.24	0.06	-12.61	93.42	74.40
2369	3701.22	14010.20	979904.47	979907.40	357.00	SH	0.20	0.23	-14.99	111.00	69.31
2370	3701.59	14011.24	979911.69	979907.94	340.00	C	0.39	0.09	-14.28	105.76	72.82
2371	3702.03	14011.08	979903.54	979908.57	387.00	C	0.24	0.05	-16.25	120.26	72.78
2372	3700.97	14011.48	979914.01	979907.03	338.00	C	0.40	0.20	-14.20	105.14	75.96
2373	3701.20	14011.60	979907.82	979907.38	370.00	C	0.36	0.34	-15.54	115.02	75.99
2374	3700.20	14010.92	979923.06	979905.92	287.00	SH	0.34	0.03	-12.06	89.41	75.46
2375	3700.07	14011.62	979914.46	979905.73	338.00	C	0.35	0.38	-14.20	105.14	78.06

Table A-1 continued (28)

no.	ϕ_0	θ_0	g	γ_0	H_0	T_0 (1.0)	T_i (1.0)	B (1.0)	$F+A$	g_B (2.66)
2376	3659.89	14012.10	979904.29	979905.48	395.00 C	0.30	0.94	-16.58	122.73	80.71
2377	3703.88	14012.00	979891.77	979911.26	420.00 C	0.16	0.01	-17.63	130.44	64.51
2378	3703.46	14012.86	979898.39	979910.65	400.00 C	0.22	0.24	-16.79	124.27	68.55
2379	3704.47	14012.88	979894.46	979912.10	390.00 C	0.15	0.03	-16.37	121.19	60.47
2380	3704.69	14013.65	979896.71	979912.43	380.00 C	0.16	0.08	-15.96	118.10	60.59
2381	3704.29	14014.67	979900.35	979911.85	382.00 SH	0.24	0.23	-16.04	118.72	65.80
2382	3703.28	14014.93	979904.75	979910.39	400.00 C	0.36	0.31	-16.79	124.27	75.74
2383	3703.21	14014.29	979907.04	979910.29	380.00 C	0.28	0.02	-15.96	118.10	73.22
2384	3702.68	14014.36	979900.45	979909.52	430.00 C	0.30	0.32	-18.05	133.52	78.09
2385	3701.95	14014.20	979898.78	979908.46	430.00 C	0.33	0.21	-18.05	133.52	77.28
2386	3702.75	14013.04	979897.84	979909.61	420.00 C	0.20	0.09	-17.63	130.44	72.54
2387	3702.59	14012.21	979885.86	979909.39	471.00 SH	0.20	0.03	-19.76	146.17	70.68
2388	3702.66	14011.66	979892.19	979909.48	418.00 C	0.23	0.27	-17.55	129.82	67.20
2389	3701.84	14012.76	979892.29	979908.29	450.00 C	0.24	0.47	-18.88	139.69	75.36
2390	3701.53	14013.13	979894.67	979907.85	445.00 C	0.24	0.09	-18.68	138.15	76.16
2391	3701.68	14013.87	979898.31	979908.07	430.00 C	0.28	0.18	-18.05	133.52	76.99
2392	3701.06	14014.01	979895.85	979907.17	450.00 C	0.32	0.20	-18.88	139.69	79.52
2393	3700.99	14014.75	979885.32	979907.07	510.00 C	0.40	0.46	-21.39	158.20	81.84
2395	3700.21	14012.94	979907.20	979905.94	380.00 C	0.45	0.45	-15.96	118.10	79.32
2396	3700.84	14013.14	979893.36	979906.84	455.00 C	0.23	0.30	-19.09	141.24	78.37
2397	3700.74	14012.55	979896.45	979906.71	430.00 C	0.29	0.38	-18.05	133.52	77.02
2398	3659.57	14013.74	979902.42	979905.01	408.00 C	0.54	0.83	-17.13	126.74	82.21
2399	3703.28	14016.71	979910.95	979910.39	365.00 C	0.25	0.01	-15.33	113.47	73.93
2401	3702.59	14018.25	979915.01	979909.39	370.00 C	0.23	0.01	-15.54	115.02	79.95
2402	3701.43	14021.82	979948.32	979907.70	260.00 SH	0.31	0.08	-10.93	81.08	93.66
2403	3702.11	14021.11	979942.10	979908.69	284.00 SH	0.30	0.18	-11.94	88.49	91.42
2404	3702.89	14020.61	979937.31	979909.82	320.00 C	0.13	0.36	-13.44	99.59	92.64
2405	3657.25	14015.79	979884.16	979901.66	538.00 SH	0.81	0.51	-22.56	166.84	92.85
2406	3656.24	14015.63	979848.41	979900.19	710.00 C	0.78	0.25	-29.73	219.89	91.76
2407	3656.13	14015.50	979842.67	979900.02	736.00 C	0.94	0.35	-30.81	227.91	92.04
2408	3656.42	14014.80	979831.68	979900.45	771.20 TP	1.55	0.86	-32.27	238.76	90.55
2409	3655.94	14014.13	979881.27	979899.76	540.00 C	0.46	0.56	-22.64	167.46	91.44
2410	3653.93	14013.98	979911.96	979896.85	391.00 SH	0.64	0.25	-16.42	121.49	95.32
2411	3653.25	14013.38	979919.96	979895.86	350.00 C	0.57	0.15	-14.70	108.85	95.75
2412	3654.06	14013.36	979906.66	979897.04	410.00 C	0.46	0.39	-17.21	127.36	93.44
2413	3654.72	14013.42	979895.98	979897.99	470.00 C	0.35	0.33	-19.72	145.86	93.21
2414	3652.18	14013.66	979923.98	979894.31	343.00 C	0.51	0.21	-14.41	106.69	99.93
2415	3653.29	14014.74	979894.66	979895.92	488.00 C	0.53	0.34	-20.47	151.41	98.00
2416	3654.00	14014.81	979857.08	979896.95	673.00 SH	1.16	1.01	-28.19	208.48	99.41
2418	3653.55	14012.75	979911.81	979896.30	388.00 C	0.38	0.29	-16.29	120.57	94.55
2419	3653.72	14012.15	979873.97	979896.55	550.00 C	0.86	0.71	-23.06	170.54	90.80
2420	3654.41	14011.24	979926.62	979897.54	296.00 SH	0.44	0.24	-12.44	92.19	89.97
2421	3654.17	14010.66	979930.49	979897.20	269.00 SH	0.37	0.05	-11.31	83.86	88.19
2422	3653.76	14011.27	979920.80	979896.60	325.00 C	0.42	0.26	-13.65	101.13	90.82
2423	3653.36	14010.70	979912.87	979896.02	360.00 C	0.27	0.30	-15.12	111.93	90.08
2424	3652.60	14010.85	979927.71	979894.93	290.00 C	0.46	0.21	-12.19	90.34	92.48
2425	3652.88	14011.78	979911.75	979895.33	390.00 C	0.39	0.34	-16.37	121.19	95.97
2426	3701.85	14020.32	979926.92	979908.32	350.00 C	0.27	0.36	-14.70	108.85	90.03
2427	3702.56	14020.17	979927.98	979909.34	343.00 C	0.15	0.01	-14.41	106.69	87.44
2428	3702.06	14019.51	979917.13	979908.62	389.00 C	0.22	0.05	-16.33	120.88	86.66

Table A-1 continued (29)

no.	ϕ_0	θ_0	g	γ_0	H_0	T_0	T_i	B	$F+A$	g_B	
						(1.0)	(1.0)	(1.0)		(2.66)	
2429	3701.76	14019.35	979912.18	979908.18	410.00	C	0.29	0.32	-17.21	127.36	87.18
2430	3701.24	14018.73	979903.66	979907.44	461.00	C	0.40	0.48	-19.34	143.09	90.19
2431	3701.65	14018.35	979904.81	979908.03	433.00	C	0.39	0.19	-18.17	134.45	84.45
2432	3701.39	14017.13	979901.72	979907.64	434.00	C	0.54	0.36	-18.21	134.76	82.77
2433	3700.64	14016.39	979878.09	979906.56	556.00	C	0.36	0.77	-23.31	172.39	84.92
2434	3703.73	14022.40	979933.93	979911.03	311.00	C	0.08	0.00	-13.07	96.81	85.17
2435	3704.21	14021.73	979929.00	979911.73	340.00	C	0.08	0.01	-14.28	105.76	85.28
2436	3704.75	14022.13	979933.66	979912.51	314.00	SH	0.08	0.01	-13.19	97.74	84.04
2437	3702.40	14023.65	979944.70	979909.11	275.00	C	0.17	0.02	-11.56	85.71	91.04
2438	3702.68	14024.75	979947.43	979909.51	300.00	C	0.14	0.14	-12.61	93.42	98.57
2439	3703.63	14028.77	979930.51	979910.90	480.00	C	0.13	0.02	-20.14	148.95	115.41
2440	3703.47	14029.99	979943.81	979910.66	410.00	C	0.22	0.31	-17.21	127.35	116.13
2441	3700.33	14027.35	979915.37	979906.11	520.00	C	0.48	0.05	-21.81	161.28	113.93
2442	3700.44	14026.69	979937.79	979906.27	400.00	C	0.37	0.14	-16.79	124.27	112.49
2443	3659.37	14026.56	979967.66	979904.72	250.00	C	0.62	0.11	-10.51	78.00	114.92
2444	3658.37	14025.89	979970.16	979903.28	209.00	C	0.40	0.01	-8.79	65.35	109.94
2445	3657.87	14025.14	979958.50	979902.55	240.00	C	0.28	0.04	-10.09	74.91	104.85
2446	3657.79	14012.18	979919.98	979902.43	330.00	C	0.30	0.05	-13.86	102.68	84.28
2448	3655.12	14011.44	979924.50	979898.57	300.00	C	0.43	0.26	-12.61	93.42	87.67
2449	3655.18	14012.75	979909.15	979898.66	390.00	C	0.58	0.61	-16.37	121.19	91.26
2450	3655.50	14013.51	979897.12	979899.12	455.00	C	0.56	0.47	-19.09	141.24	91.19
2451	3654.78	14007.88	979938.45	979898.08	196.00	SH	0.26	0.01	-8.24	61.34	80.50
2452	3654.04	14008.30	979930.99	979897.01	240.00	C	0.21	0.13	-10.09	74.91	82.96
2453	3653.30	14007.72	979942.74	979895.94	180.00	SH	0.26	0.06	-7.57	56.40	83.92
2454	3652.74	14009.28	979939.85	979895.12	220.00	C	0.31	0.13	-9.25	68.74	90.04
2455	3652.36	14009.73	979936.59	979894.58	240.00	C	0.34	0.36	-10.09	74.91	91.95
2456	3651.79	14008.29	979942.17	979893.75	200.00	C	0.24	0.03	-8.41	62.57	89.34
2457	3651.05	14007.88	979944.11	979892.68	190.00	C	0.25	0.04	-7.99	59.49	90.44
2458	3651.04	14008.58	979931.55	979892.66	270.00	C	0.27	0.05	-11.35	84.17	93.74
2459	3650.18	14007.78	979948.89	979891.42	146.00	SH	0.29	0.01	-6.14	45.91	87.83
2460	3651.37	14009.63	979935.81	979893.15	260.00	C	0.33	0.30	-10.93	81.08	96.36
2461	3650.87	14009.55	979890.01	979892.42	462.00	SH	1.02	0.77	-19.39	143.40	94.20
2462	3654.34	14021.29	979930.10	979897.43	336.00	SH	0.96	0.57	-14.11	104.53	103.72
2463	3655.11	14020.57	979918.56	979898.56	391.00	C	0.99	0.46	-16.42	121.49	101.68
2464	3656.09	14019.30	979897.99	979899.97	490.00	C	1.06	0.76	-20.56	152.03	100.22
2465	3656.25	14017.58	979801.49	979900.20	931.00	SH	2.60	1.12	-38.91	288.05	95.73
2466	3655.07	14017.11	979850.53	979898.50	708.00	C	0.90	1.15	-29.65	219.27	97.88
2467	3654.01	14017.22	979910.49	979896.96	410.00	C	1.21	1.02	-17.21	127.36	101.04
2468	3653.96	14016.22	979902.77	979896.89	450.00	C	0.76	0.48	-18.88	139.69	98.65
2470	3651.58	14014.31	979921.20	979893.45	358.00	C	0.53	0.38	-15.04	111.31	101.50
2471	3652.24	14014.67	979903.92	979894.41	447.00	C	0.40	0.60	-18.76	138.77	101.05
2472	3652.55	14014.71	979898.16	979894.85	468.00	C	0.41	0.57	-19.64	145.25	98.93
2473	3650.97	14014.77	979926.14	979892.57	345.00	C	0.54	0.69	-14.49	107.30	105.58
2474	3651.56	14014.98	979910.68	979893.42	418.00	C	0.48	0.37	-17.55	129.82	102.68
2476	3650.88	14015.76	979915.55	979892.44	410.00	C	0.50	0.63	-17.21	127.36	107.68
2477	3651.79	14015.84	979895.33	979893.76	499.00	C	0.47	0.50	-20.93	154.81	103.29
2478	3652.74	14015.75	979869.81	979895.12	635.00	C	0.88	0.28	-26.61	196.76	103.76
2479	3651.82	14016.81	979856.98	979893.80	679.10	TP	1.73	1.12	-28.44	210.36	105.46
2480	3651.82	14016.51	979864.46	979893.79	662.00	C	1.32	0.39	-27.73	205.09	106.53
2483	3655.53	14024.04	979957.03	979899.16	225.00	C	0.69	0.40	-9.46	70.28	105.89

阿武隈地域の重力異常について (村田 ほか)

Table A-1 continued (30)

no.	ϕ_0	θ_0	g	γ_0	H_0	T_0	T_i	B	$F+A$	g_B	
						(1.0)	(1.0)	(1.0)		(2.66)	
2484	3655.60	14023.25	979932.77	979899.26	330.00	B	0.55	0.63	-13.86	102.68	102.44
2486	3655.32	14023.16	979935.29	979898.85	318.00	C	0.59	0.87	-13.36	98.97	103.75
2487	3656.13	14021.15	979825.94	979900.03	811.00	C	2.74	1.46	-33.93	251.04	97.88
2488	3656.62	14020.68	979810.97	979900.74	875.00	TP	3.32	1.20	-36.59	270.78	95.71
2489	3656.84	14023.61	979941.86	979901.05	295.00	C	0.42	0.20	-12.40	91.88	101.36
2490	3658.12	14030.14	979896.23	979902.92	640.00	C	0.46	0.05	-26.81	198.30	121.66
2491	3658.15	14029.89	979906.49	979902.96	589.00	C	0.38	0.30	-24.69	182.57	122.23
2492	3657.46	14029.27	979905.66	979901.95	579.00	C	0.46	0.18	-24.27	179.48	120.34
2493	3657.54	14023.95	979959.88	979902.07	225.00	C	0.43	0.19	-9.46	70.28	104.58
2494	3652.03	14020.22	979927.23	979894.09	353.00	C	0.42	0.21	-14.83	109.77	105.15
2495	3652.32	14019.79	979938.19	979894.52	295.00	C	0.81	0.64	-12.40	91.88	106.44
2496	3653.65	14019.02	979900.75	979896.45	474.00	C	0.84	1.27	-19.89	147.10	104.12
2497	3654.41	14018.70	979852.84	979897.54	720.00	C	1.31	0.50	-30.15	222.97	102.92
2498	3652.93	14019.47	979922.72	979895.40	355.00	C	1.18	1.16	-14.91	110.39	104.26
2499	3652.53	14018.70	979938.10	979894.82	278.00	C	1.20	0.76	-11.68	86.64	104.05
2500	3653.37	14018.61	979921.89	979896.03	350.00	C	1.37	1.58	-14.70	108.85	103.46
2501	3655.18	14017.77	979884.32	979898.65	542.00	C	1.25	0.94	-22.73	168.07	99.10
2502	3654.86	14018.20	979894.79	979898.19	489.00	SH	1.30	0.77	-20.51	151.72	99.28
2503	3652.74	14016.70	979923.40	979895.13	352.00	C	0.93	0.92	-14.78	109.46	103.33
2504	3653.24	14016.13	979906.83	979895.84	440.00	C	0.55	0.36	-18.47	136.61	100.89
2505	3654.28	14015.91	979901.77	979897.36	446.00	SH	1.14	0.52	-18.72	138.46	97.50
2506	3655.04	14015.48	979879.65	979898.45	560.00	C	0.70	0.48	-23.48	173.62	95.53
2507	3651.89	14017.37	979901.82	979893.90	485.00	B	0.53	0.57	-20.35	150.49	107.21
2508	3651.41	14018.10	979926.37	979893.20	355.00	C	0.52	0.61	-14.91	110.39	106.90
2509	3657.25	14022.22	979924.40	979901.65	356.00	C	0.66	0.63	-14.95	110.70	97.10
2510	3657.82	14021.77	979932.26	979902.47	308.00	C	0.90	0.51	-12.94	95.89	95.00
2511	3645.70	14019.52	979967.60	979884.95	182.00	C	0.45	0.19	-7.66	57.02	121.01
2512	3645.14	14019.58	979941.81	979884.13	325.00	B	0.31	0.37	-13.65	101.14	124.30
2513	3646.60	14019.01	979971.71	979886.25	128.00	SH	0.27	0.00	-5.39	40.36	112.21
2514	3645.94	14018.36	979966.33	979885.30	175.00	C	0.33	0.02	-7.36	54.86	117.24
2515	3644.20	14017.78	979934.36	979882.78	352.00	SH	0.23	0.33	-14.78	109.46	123.21
2516	3644.57	14017.10	979946.13	979883.31	288.00	C	0.35	0.62	-12.10	89.72	122.92
2517	3645.11	14016.29	979958.43	979884.09	225.00	C	0.32	0.57	-9.46	70.29	121.82
2518	3645.51	14017.05	979958.06	979884.68	225.00	C	0.31	0.66	-9.46	70.29	121.09
2519	3646.31	14015.06	979958.24	979885.83	199.00	C	0.17	0.03	-8.37	62.27	112.95
2520	3647.58	14015.32	979957.69	979887.66	211.00	C	0.27	0.06	-8.87	65.97	113.27
2521	3648.47	14015.18	979955.67	979888.95	219.00	SH	0.29	0.05	-9.21	68.44	111.58
2522	3649.34	14015.26	979942.80	979890.21	278.00	C	0.22	0.33	-11.68	86.64	109.61
2523	3648.51	14018.74	979967.07	979889.01	168.00	C	0.36	0.05	-7.07	52.70	113.07
2524	3648.18	14020.15	979968.32	979888.53	138.00	C	0.26	0.04	-5.81	43.45	108.58
2525	3649.48	14020.78	979955.53	979890.41	189.00	C	0.22	0.05	-7.95	59.18	103.88
2526	3648.64	14021.72	979963.15	979889.20	143.00	C	0.29	0.10	-6.02	44.99	103.96
2527	3648.32	14021.07	979963.41	979888.73	150.00	C	0.24	0.05	-6.31	47.15	105.82
2528	3648.28	14023.76	979951.80	979888.67	220.00	C	0.33	0.05	-9.25	68.74	108.28
2529	3647.20	14024.43	979931.55	979887.12	294.00	C	0.17	0.16	-12.35	91.57	104.03
2530	3647.70	14026.42	979931.20	979887.84	324.00	C	0.25	0.02	-13.61	100.83	108.68
2531	3649.23	14025.98	979944.08	979890.05	280.00	C	0.35	0.14	-11.77	87.25	111.29
2532	3649.47	14024.78	979927.40	979890.40	354.00	C	0.29	0.28	-14.87	110.08	109.07
2533	3646.91	14022.75	979965.91	979886.69	150.00	C	0.31	0.24	-6.31	47.15	111.04
2534	3644.49	14021.18	979914.01	979883.19	443.30	TP	1.27	1.04	-18.60	137.63	125.08

Table A-1 continued (31)

no.	ϕ_0	θ_0	g	γ_0	H_0	T_0	T_i	B	$F+A$	g_B	
						(1.0)	(1.0)	(1.0)		(2.66)	
2535	3647.76	14022.02	979970.87	979887.92	119.00	C	0.32	0.07	-5.01	37.58	108.27
2536	3646.68	14022.00	979973.85	979886.36	128.00	C	0.27	0.02	-5.39	40.36	114.28
2537	3644.42	14007.53	979941.78	979883.10	127.00	C	0.13	0.01	-5.34	40.05	84.91
2538	3643.43	14006.89	979927.92	979881.67	180.00	C	0.09	0.01	-7.57	56.40	82.78
2539	3642.31	14006.89	979937.49	979880.05	147.00	SH	0.09	0.07	-6.18	46.22	87.63
2540	3641.51	14006.79	979944.34	979878.89	128.00	C	0.09	0.03	-5.39	40.36	91.82
2541	3640.46	14003.96	979921.07	979877.38	147.00	C	0.09	0.02	-6.18	46.22	73.76
2542	3641.25	14002.57	979909.45	979878.52	170.00	C	0.10	0.01	-7.15	53.32	65.53
2543	3644.08	14002.78	979908.99	979882.61	157.00	SH	0.13	0.03	-6.61	49.31	58.56
2544	3645.38	14005.08	979911.76	979884.48	192.00	C	0.11	0.01	-8.07	60.10	66.20
2545	3641.59	14011.62	979975.32	979879.02	118.00	C	0.36	0.20	-4.97	37.28	121.86
2546	3642.42	14013.18	979956.15	979880.21	224.00	SH	0.30	0.20	-9.42	69.98	122.18
2547	3643.56	14013.33	979955.47	979881.85	227.00	C	0.28	0.32	-9.54	70.90	120.72
2548	3640.45	14024.35	979964.23	979877.37	200.00	C	0.22	0.32	-8.41	62.57	128.50
2549	3640.51	14026.37	979951.29	979877.46	210.00	C	0.35	0.79	-8.83	65.66	119.03
2550	3640.37	14029.85	979936.14	979877.25	350.00	C	0.50	0.69	-14.70	108.85	131.78
2551	3641.95	14033.93	979929.04	979879.54	408.00	C	0.50	0.19	-17.13	126.74	132.50
2552	3653.28	14045.94	980028.30	979895.91	12.00	C	0.28	0.00	-0.51	4.57	136.36
2553	3653.01	14047.77	980018.11	979895.51	3.00	C	0.17	0.00	-0.13	1.80	124.51
2554	3653.78	14047.32	980023.53	979896.63	5.00	C	0.20	0.00	-0.21	2.41	129.26
2555	3654.45	14047.02	980028.10	979897.60	6.00	C	0.21	0.00	-0.25	2.72	133.10
2556	3654.87	14046.56	980029.93	979898.20	4.00	C	0.25	0.00	-0.17	2.10	134.06
2557	3639.24	14042.20	980009.62	979875.63	3.00	C	0.28	0.00	-0.13	1.80	136.19
2558	3638.93	14041.61	980010.91	979875.17	24.00	C	0.23	0.01	-1.01	8.28	141.92
2559	3639.50	14040.93	980018.28	979875.99	30.00	C	0.34	0.05	-1.26	10.13	150.07
2560	3640.40	14041.46	980012.36	979877.29	32.00	C	0.25	0.02	-1.35	10.74	142.93
2561	3640.30	14041.77	980008.72	979877.14	30.00	SH	0.22	0.01	-1.26	10.13	138.95
2562	3640.45	14042.32	980005.36	979877.37	20.00	C	0.21	0.01	-0.84	7.04	133.32
2563	3641.52	14035.10	979938.46	979878.91	360.00	C	0.38	0.14	-15.12	111.93	132.63
2564	3656.61	14051.74	980015.40	979900.72	7.00	C	0.12	0.00	-0.30	3.03	117.23
2565	3657.39	14050.19	980020.02	979901.85	7.00	C	0.18	0.01	-0.30	3.03	120.90
2566	3656.50	14049.74	980010.49	979900.57	35.00	C	0.14	0.05	-1.47	11.67	118.15
2567	3657.08	14051.89	980015.84	979901.41	4.00	C	0.13	0.	-0.17	2.10	116.42
2568	3657.27	14049.45	980018.67	979901.68	13.00	SH	0.21	0.11	-0.55	4.88	121.24
2569	3658.29	14049.27	979998.82	979903.15	130.00	C	0.32	0.62	-5.47	40.98	124.58
2570	3658.93	14050.28	980023.48	979904.09	13.00	C	0.22	0.03	-0.55	4.88	123.48
2572	3659.81	14046.57	980011.56	979905.35	119.00	C	0.31	0.02	-5.01	37.58	131.33
2573	3658.52	14047.23	980022.74	979903.49	49.00	C	0.29	0.12	-2.06	15.99	130.84
2574	3657.04	14048.59	980015.69	979901.35	39.00	C	0.18	0.05	-1.64	12.90	123.45
2575	3656.16	14048.54	980020.06	979900.07	12.00	C	0.19	0.01	-0.51	4.57	123.76
2576	3656.12	14047.22	980020.93	979900.01	20.00	C	0.23	0.06	-0.84	7.04	126.49
2577	3656.67	14045.25	980028.22	979900.82	28.00	C	0.37	0.04	-1.18	9.51	134.87
2578	3704.30	14057.95	980017.13	979911.86	3.00	C	0.12	0.	-0.13	1.80	107.04
2579	3705.29	14058.60	980020.68	979913.29	5.00	C	0.13	0.00	-0.21	2.41	109.56
2580	3705.51	14057.75	980027.09	979913.62	7.00	C	0.16	0.00	-0.30	3.03	116.13
2581	3706.61	14057.83	980031.94	979915.21	9.00	C	0.22	0.02	-0.38	3.65	119.99
2582	3706.58	14056.54	980036.24	979915.17	14.00	C	0.26	0.02	-0.59	5.19	125.41
2583	3710.31	14058.62	980015.88	979920.57	100.00	C	0.32	0.08	-4.21	31.72	116.87
2584	3710.41	14057.49	980033.31	979920.73	60.00	C	0.53	0.02	-2.53	19.38	126.70
2585	3711.10	14057.25	980023.96	979921.72	112.00	SH	0.58	0.04	-4.71	35.42	126.75

Table A-1 continued (32)

no.	ϕ_0	θ_0	g	γ_0	H_0	T_0	T_i	B	$F+A$	g_B
						(1.0)	(1.0)	(1.0)		(2.66)
2586	3711.17	14056.14	980011.50	979921.82	168.00 C	1.15	0.90	-7.07	52.70	129.00
2587	3712.06	14054.26	979967.19	979923.11	403.00 C	1.25	0.96	-16.92	125.19	130.12
2588	3711.72	14055.03	979979.94	979922.63	330.00 C	1.20	1.15	-13.86	102.68	129.34
2589	3709.27	14056.85	980028.84	979919.07	90.00 C	0.51	0.03	-3.79	28.64	129.73
2590	3709.70	14056.45	980018.89	979919.69	140.00 C	0.77	0.12	-5.89	44.06	129.94
2591	3708.12	14056.06	980032.54	979917.41	70.00 C	0.50	0.18	-2.95	22.47	131.56
2592	3709.35	14055.30	979994.15	979919.19	268.00 C	0.69	0.33	-11.26	83.55	131.22
2593	3710.61	14054.71	979978.60	979921.02	340.00 C	0.82	0.47	-14.28	105.76	128.77
2594	3708.36	14054.43	980009.29	979917.75	160.00 C	0.85	0.47	-6.73	50.23	127.36
2595	3708.24	14052.98	980021.35	979917.57	89.00 SH	0.73	0.07	-3.75	28.33	124.26
2596	3712.60	14051.36	979893.15	979923.91	730.00 C	1.22	0.07	-30.56	226.06	117.40
2597	3713.71	14050.94	979935.78	979925.51	525.00 C	0.58	0.20	-22.02	162.83	116.59
2598	3708.99	14047.26	979970.19	979918.66	340.00 C	0.30	0.15	-14.28	105.76	120.49
2599	3710.71	14045.27	979943.65	979921.15	468.00 C	0.29	0.23	-19.64	145.25	116.87
2600	3710.14	14045.89	979963.36	979920.33	378.00 C	0.44	0.10	-15.87	117.48	119.71
2601	3712.63	14044.05	979972.00	979923.94	310.80 BM	0.94	0.23	-13.06	96.75	113.21
2602	3719.54	14036.86	979940.81	979933.98	455.00 C	0.22	0.01	-19.09	141.24	97.90
2603	3717.77	14037.34	979945.93	979931.41	438.20 BM	0.19	0.09	-18.39	136.05	102.40
2604	3715.85	14039.27	979949.81	979928.63	429.00 C	0.23	0.18	-18.01	133.22	107.59
2605	3715.09	14041.22	979947.13	979927.52	457.00 C	0.27	0.17	-19.18	141.85	111.61
2606	3714.19	14041.45	979953.06	979926.21	413.00 C	0.26	0.03	-17.34	128.28	109.77
2607	3713.41	14042.72	979963.26	979925.08	345.00 C	0.75	0.54	-14.49	107.30	110.38
2608	3731.92	14044.97	979929.15	979951.99	620.00 C	0.43	0.32	-25.98	192.13	102.15
2609	3732.36	14044.59	979943.95	979952.63	538.00 C	0.58	0.26	-22.56	166.84	100.38
2610	3733.94	14041.80	979937.21	979954.92	580.00 C	0.37	0.05	-24.31	179.79	98.51
2611	3734.58	14041.52	979947.84	979955.86	540.00 C	0.34	0.04	-22.64	167.45	100.19
2612	3735.88	14042.27	979915.00	979957.75	678.00 C	0.51	0.09	-28.40	210.02	93.31
2613	3734.86	14040.31	979939.23	979956.26	570.00 C	0.27	0.07	-23.90	176.71	97.01
2614	3734.53	14043.68	979939.30	979955.78	560.00 SH	0.54	0.06	-23.48	173.62	96.28
2615	3733.45	14044.68	979968.89	979954.22	420.00 C	0.63	0.01	-17.63	130.44	99.92
2616	3734.63	14045.22	979945.87	979955.93	550.00 C	0.39	0.08	-23.06	170.54	100.40
2617	3735.50	14044.67	979934.48	979957.20	607.00 SH	0.43	0.05	-25.44	188.12	99.03
2618	3736.24	14046.03	979962.73	979958.28	480.00 C	0.37	0.09	-20.14	148.94	101.04
2619	3705.65	14046.91	979978.35	979913.82	298.00 C	0.63	0.04	-12.52	92.81	125.79
2620	3705.43	14047.35	979974.23	979913.49	320.00 C	0.65	0.08	-13.44	99.59	126.49
2621	3705.18	14047.65	979981.60	979913.14	287.00 C	0.72	0.24	-12.06	89.41	128.34
2622	3705.07	14047.75	979987.94	979912.98	259.64 C	0.75	0.23	-10.91	80.97	129.50
2623	3704.72	14047.84	979986.97	979912.47	267.00 C	0.56	0.15	-11.22	83.24	129.77
2624	3704.64	14048.16	980002.31	979912.35	188.00 C	0.70	0.26	-7.91	58.87	130.33
2625	3705.71	14047.37	979962.15	979913.91	390.00 C	0.73	0.31	-16.37	121.19	128.63
2626	3705.52	14047.91	979947.48	979913.64	455.00 C	1.02	0.88	-19.09	141.24	129.35
2627	3705.68	14048.18	979939.54	979913.86	503.00 C	1.24	0.49	-21.10	156.04	130.20
2628	3705.53	14048.82	979941.93	979913.65	470.00 C	1.53	0.31	-19.72	145.86	126.53
2629	3705.62	14049.14	979955.67	979913.78	400.00 C	1.21	0.34	-16.79	124.27	125.59
2630	3705.35	14049.23	979975.65	979913.39	300.00 C	0.95	0.28	-12.61	93.42	125.40
2631	3706.01	14048.10	979913.43	979914.33	630.00 C	2.00	0.20	-26.40	195.21	129.94
2632	3706.02	14047.70	979912.31	979914.35	635.00 C	2.20	0.73	-26.61	196.76	131.74
2633	3706.39	14047.41	979935.49	979914.90	527.00 C	1.08	0.48	-22.10	163.44	129.36
2634	3706.19	14047.16	979958.71	979914.61	402.00 C	0.68	0.20	-16.88	124.89	126.42
2635	3705.88	14048.63	979929.20	979914.15	548.00 C	1.65	0.31	-22.98	169.92	129.05

Table A-1 continued (33)

no.	ϕ_0	θ_0	g	γ_0	H_0	T_0 (1.0)	T_i (1.0)	B (1.0)	$F+A$	g_B (2.66)
2636	3706.11	14048.98	979937.06	979914.49	485.00 C	1.44	0.51	-20.35	150.49	124.10
4226	3719.80	14035.00	979921.28	979934.36	503.89 BM	0.36	0.10	-21.14	156.31	88.23
4232	3721.30	14028.60	979938.24	979936.54	331.85 BM	0.18	0.15	-13.94	103.25	68.76
4234	3722.10	14026.40	979956.91	979937.70	245.23 BM	0.19	0.03	-10.31	76.53	68.90
4235	3722.30	14025.00	979960.47	979937.99	236.66 BM	0.13	0.02	-9.95	73.88	70.30
4236	3723.30	14023.70	979960.21	979939.44	236.66 BM	0.12	0.02	-9.95	73.88	68.54

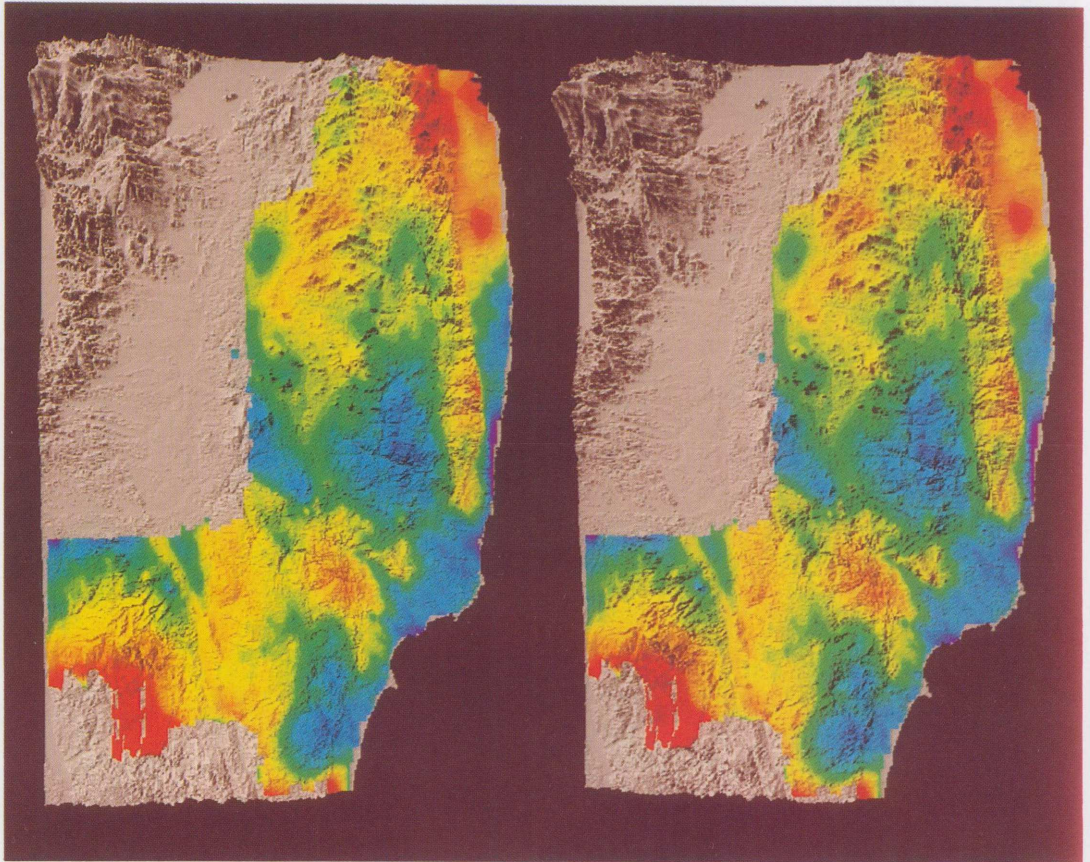


Plate 1 Stereo pair of shaded relief residual gravity anomaly map in the Abukuma mountains and the surrounding area, with the help of KS-110-1 topographic mesh data developed by Geographical Survey Institute. Gravity values are color coded on the topographic shading.

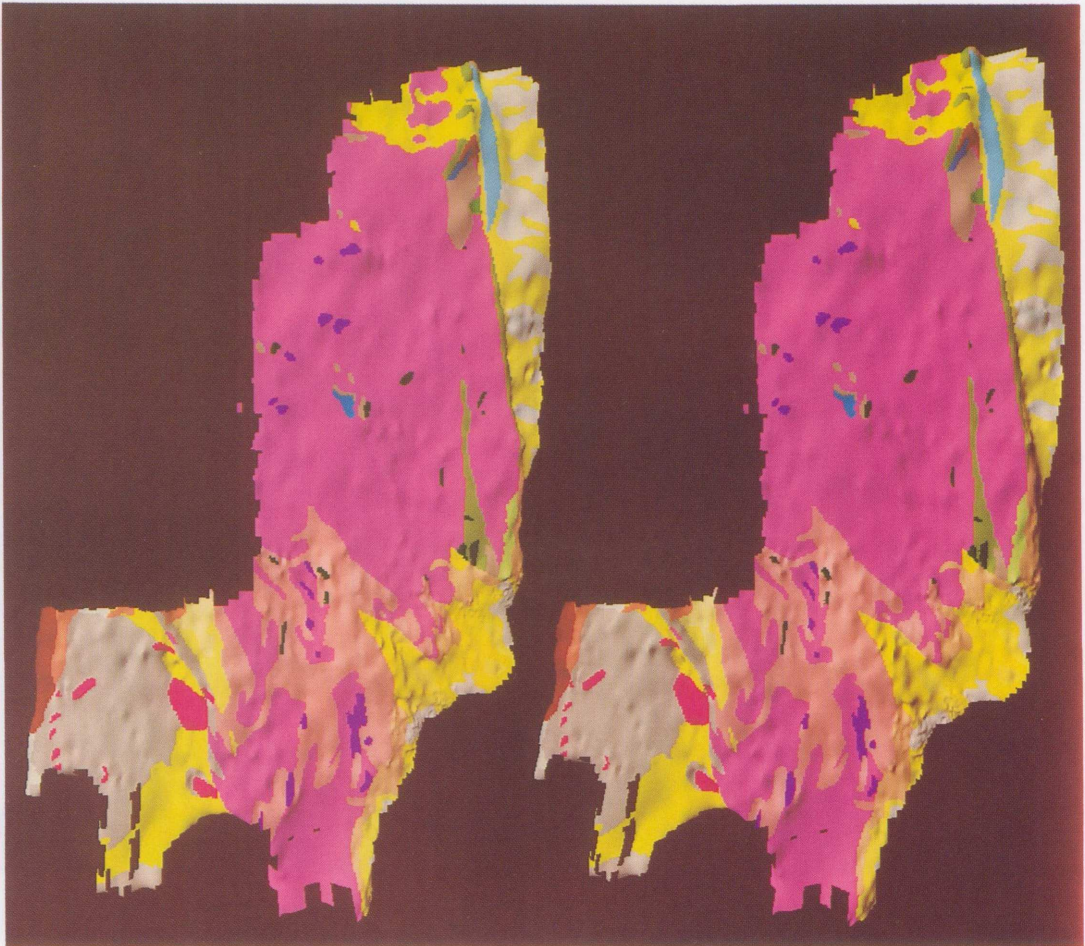


Plate 2 Stereo pair of shaded relief geologic map in the Abukuma mountains, constructed using 1/1,000,000 geology file (Yamada *et al.*, 1990) and residual gravity anomalies. Geologic units are color coded on the shaded representation of gravity anomalies.